

İZMİR ATATÜRK EĞİTİM HASTANESİ

TIP DERGİSİ

The Medical Journal of Izmir Atatürk Training Hospital

EDİTÖR

Dr. Atilla ÇÖKMEZ

EDİTÖR YARDIMCISI

Dr. Mehmet HACIYANLI

YAYIN KURULU

Dr. Serhat GÜR

Dr. Cüneyt AKAOĞLU

Dr. Berna ÇÖKMEZ

Atika KARADENİZ

Dr. Özcan UĞUR

Aslı KÜÇÜKYILMAZ

DANIŞMA KURULU

Dr. Tayfun ADANIR
Dr. Ulus Salih AKARCA
Dr. Ayhan AKÇAY
Dr. Erhan AKGÜN
Dr. Galip AKHAN
Dr. Cezmi AKKIN
Dr. Gazanfer AKSAKOĞLU
Dr. Emin Alp ALAYUNT
Dr. Mehmet ALPER
Dr. Serap ALPER
Dr. Fazıl APAYDİN
Dr. Gülcin ARAN
Dr. Leyla ASLAN
Dr. Özgür ASLAN
Dr. Fatma AŞKAR
Dr. Niyazi AŞKAR
Dr. Neşe ATABEY
Dr. Yüksel ATAY
Dr. Ömer AYANOĞLU
Dr. Hasan AYDEDE
Dr. Ali BALOĞLU
Dr. Oya BAYINDIR
Dr. Mustafa BAŞOĞLU
Dr. Pınar BALCI
Dr. Taner S. BALCIOĞLU
Dr. Feyyaz BALTACIOĞLU
Dr. Aysen BAYKARA
Dr. İlgül ZEREN BİLGİN
Dr. Ahmet BÖLKÜBAŞI
Dr. Şükri CANGAR
Dr. Murat CELİLOĞLU
Dr. N. Ali COŞKUN
Dr. Seçkin ÇAGIRGAN
Dr. Mehmet CELEBİSOY
Dr. Ahmet ÇELİK
Dr. Ahmet ÇOKER
Dr. Canan ÇOKER

Dr. Çetin DİNÇER
Dr. Ayhan EĞİLMEZ
Dr. Zahide ELAR
Dr. Yakup ERATA
Dr. Füsun ERCİYAS
Dr. Serpil ERERMİŞ
Dr. Oktay ERGENE
Dr. Mehmet H. ERGÜN
Dr. Biltan ERSÖZ
Dr. Adil ESEN
Dr. Hüdai GENÇ
Dr. Turan GENÇ
Dr. Erdem GÖKER
Dr. Yiğit GÖKTAY
Dr. Metin GÖRGÜ
Dr. Zeynep GÜLAY
Dr. Ali GÜRBÜZ
Dr. İzge GÜNAL
Dr. Gürhan GÜNAYDİN
Dr. Rezzan GÜNAYDİN
Dr. Sertaç İŞLEKEL
Dr. İsmail İTİL
Dr. Yasemin KABASAKAL
Dr. Murat KAPKAÇ
Dr. Sinan KARA
Dr. Nagehan KARAHAN
Dr. Hüseyin KATILMIŞ
Dr. Kaan KATIRCIOĞLU
Dr. Mümin KINAY
Dr. Atilla KÖKSAL
Dr. Mehmet KÖSEOĞLU
Dr. Savaş KÜLTÜR
Dr. Asuman MEMİŞ
Dr. Jale MENTEŞ
Dr. Nesrin MOĞULKOÇ
Dr. A. Reşat MORAL

Dr. Okay NAZLI
Dr. Mehmet Ali ÖNAL
Dr. Semih ÖNCEL
Dr. Fatoş ÖNEN
Dr. Cengiz ÖZBEK
Dr. İsmail ÖZDEMİR
Dr. Gökhane ÖZGEN
Dr. Serdar ÖZŞENER
Dr. Yücel ÖZTAN
Dr. Cihat ÖZTÜRK
Dr. Günseli ÖZTÜRK
Dr. Aydin ÖZSARAR
Dr. Sülen SARİOĞLU
Dr. Nejat SARIOSMANOĞLU
Dr. Tuncay SOYAK
Dr. Ferit SOYLU
Dr. Tuğrul TANSUĞ
Dr. Ercüment TARCAN
Dr. Fatma TATAR
Dr. Şevket TEKTAŞ
Dr. Mine TUNAKAN
Dr. Mehmet TUNCA
Dr. Metin TÜRKER
Dr. Mehmet TÜZÜN
Dr. Eyüp Sabri UÇAN
Dr. M. Zafer UĞUZ
Dr. Engin ULUÇ
Dr. Recep Gür USTAOĞLU
Dr. Belkis ÜNSAL
Dr. Bülent ÜNDAR
Dr. Simavi VAHİP
Dr. Ali YEMİŞÇİGİL
Dr. Murat YEŞİL
Dr. Kemal YÜCESOY
Dr. Mine YÜCESOY
Dr. Nilgün YÜNTEN
Dr. Rahmi ZEYBEK

Sahibi

İzmir Hastanelerine Yardım ve
Bilimsel Araştırmaları Teşvik
Derneği adına,
İlgül ZEREN BİLGİN
Dernek Başkanı

Sorumlu Müdür

Dr. Atilla ÇÖKMEZ

Yönetim Yeri

İzmir Atatürk Eğt. ve Arş. Hastanesi
Tel: 0.232 244 56 24

3 AYDA BİR
OLMAK ÜZERE
YILDA 4 SAYI
YAYINLANIR

YAZARLARIN DİKKATİNE

1. İzmir Atatürk Eğitim Hastanesi Tıp Dergisi, İDH'ne Yardım ve İlmi Araştırmaları Teşvik Derneği'nin süreli yayın organıdır. Dergide: Temel ya da uygulamalı tıp dallarında, deneysel ve klinik araştırma, olgu sunumu, editöre mektuplar ve konu hakkında deneyim sahibi yazarlarca hazırlanmış derlemeler yayınlanır.
2. Metin uzunluğu kaynaklar dahil, deneysel ve klinik araştırmalar için 10, olgu sunumları için 8, derlemeler için 12, editöre mektup için 1 sayfayı geçmemelidir.
3. Metin, A4 kağıda kenarlarından 2.5 cm boşluk bırakılarak Microsoft Word ile 12 punto ve 1.5 satır araklı olarak yazılmalı, şema, fotoğraf, tablo ve şekiller dahil olmak üzere bir asıl, iki fotokopi olarak üç kopya halinde yazının bulunduğu 3.5 inçlik bir disket ile birlikte gönderilmelidir. Disketten üzerinde makalenin, yazarın, dosyanın adı bulunmalıdır.
4. Makalenin ilk sayfası kapak sayfası şeklinde düzenlenmeli, bu sayfaya en üstte büyük harflerle makalenin başlığı, onun altına parantez içinde küçük harflerle makalenin ingilizce adı, daha aşağıya çalışmaya yapanların ad ve soyadları ile halen görevli bulundukları ve çalışmayı hazırladıkları yer yazılmalıdır. Yazar sayısı altıya geçmemelidir. Makalenin başlığı metindeki bilginin özellikleri tanıtıcı nitelikte ve kısa olmalıdır. Çalışmayı yapanların ad ve soyadları, doktor ünvanı ile yazılmalı ve aşağıdaki açıklamalarda akademik ünvan ve görevleri belirtilmelidir. Sayfanın en altında dergiyle yazar arasındaki haberleşmede kullanılacak adres (varsayıcep tel. ve e-mail) yer almmalıdır.
5. **Özet:** Biri Türkçe, diğeri İngilizce olmak üzere 150 kelimeyi geçmeyecek şekilde yazılmalıdır. Çalışmanın amacı, kullanılan gereç ve yöntemler, önemli bulgular ile sonuç belirtilmelidir. Türkçe özetin sonuna Türkçe, İngilizce özetin sonuna İngilizce olmak üzere en çok beş adet anahtar kelime yazılır.
6. **Giriş ve Amaç:** Bu bölümde çalışmanın amacı literatür bilgisine ve gözlemlere dayanarak açıklanır. Elde edilecek sonuçların ne derece yararlı olacağı anlatılır.
7. **Gereç ve Yöntem:** Çalışmaya konu olan gereç ve yöntemler detaylı olarak açıklanır. İstatistiksel değerlendirmelerin hangi testlerle yapıldığı belirtilir.
8. **Bulgular:** Çalışmanın orijinal bulguları ön planda olmak üzere istatistiksel önemleri belirterek yazılır.
9. Olgu sunumlarında gereç ve yöntem ile bulgular bölümlerinin yerini olgu özeti almaktadır. Bu tür yazınlarda yazı planı: başlık sayfasının arkasından Türkçe özet, İngilizce Özeti, giriş ve amaç, olgu özeti, tartışma ve kaynaklar şeklinde olmalıdır.
10. **Tartışma:** Bulgular başka araştırmacıların bulgular ile karşılaştırılmalı, farklar mümkünse nedenleri ile belirtilmeli ve tümü gerek teorik, gerekse pratik yönder tartışılmalıdır.
11. **Şekil, resim ve grafikler:** Resimlerin arkalarını yumuşak kurşun kalem ile sıraları ve yazının başlığı yazılarak gönderilmelidir. Resim alt yazıları ayrı bir sayfaya yazılarak metne eklenmelidir. Mikroskopik resimlerde büyütme oranı ve kullanılan boyama tekniği açık şekilde belirtilmelidir. Klişesi yapılacak grafik, şema ve kimyasal formül gibi şekillerin çin murekkebi ile aydinger veya beyaz resim kağıdına çizilmiş, fotoğraflar parlak kağıda kontrastlı olarak basılmış olmaları gereklidir. Renkli resim ve şekiller masrafı yazar tarafından ödenmek şartı ile basılabilir.
12. **Kaynaklar:** Metinde geçiş sırasına göre numaralandırılmalı ve her cümlenin sonunda parantez içerisinde belirtilmelidir. Metinde numarası geçmeyen kaynak yazılmamalıdır. Yazar sayısı beşten fazla olan makalelerde, ilk beş yazarın adından sonra İngilizce yayınları için "et al.", Türkçe yayınlar için "ve ark." ibaresi konulur.

Örnekler

Makale için örnek

1. Sigel B, Machi J, Beitler JC, Justin JR. Red cell aggregation as a cause of blood-flow echogenicity. Radiology 1983; 148: 799-802.

Kitap için örnek

1. Weinstein L, Swartz MN. Pathogenic properties of invading microorganisms. In: Sodeman WA Jr. Sodeman VA. Eds. Pathologic physiology: Mechanisms of disease. Philadelphia: WB Saunders, 1974: 457-471.
13. **Aynı Baskı:** Her makale için 50 adet ayrı baskı ücreti karşılığında sağlanabilir.
14. **Haberleşme:** Dergi ile yazarlar arasında gerekli haberleşme aksi belirtildikçe ilk isim ile yapılacaktır. Yazıların dergiye sunuluşu sırasında haberleşmeden sorumlu yazar; ayrı baskı talebinin yazınır sadece dergimize gönderilmiş olduğunu ve tüm yazarların yazıya ilişkin onayının bulunduğu belirten kısa bir yazıyı da göndermelidir.
15. Yazıların gönderileceği adres:

Dr. Atilla ÇÖKMEZ
Tip Dergisi Editörlüğü
İzmir Devlet Hastanesi'ne Yardım ve İlmi Araştırmaları Teşvik Derneği
Basın Sitesi 35360, İZMİR
Tel: 0 232 244 56 24
e-Mail: idhdergi@yahoo.com

İÇİNDEKİLER (Contents)

DERLEME

Head Up Tilt Testi Farmakolojik Provakasyon Ajanları

Pharmacologic Provocation Agents For Head Up Tilt Test

Mustafa KARACA, Serdar BİÇEROĞLU, Murat YEŞİL.....67

KLİNİK ÇALIŞMA

Farklı Hormon Replasman Tedavilerinin Sol Ventrikül Diastolik Fonksiyonu

Üzerindeki Etkisinin Ekokardiografik Değerlendirilmesi

Echocardiographic Evaluation of the Effects of Different Hormon Replacement

Therapies on Left Ventricular Diastolic Function

Özer ÖZTEKİN, Gündüz DEMİR, Sanem ÇİMEN, Atila KESKİN, Ferit SOYLU..... 73

Üst Torakal Omurga Gövde Lezyonlarında Anterolateral Yaklaşımla

Biopsi Alınması(Teknik Not)

Anterolateral Approach for the Biopsy Sampling of the Upper Thoracic Vertebral Body Lesions (Technical Note)

Hasan Kamil SUCU, Canan ÇİÇEK, Hamdi BEZİRCİOĞLU, Şevket TEKTAŞ

81

Serviksin Prekanseröz ve Kanseröz Lezyonlarının Değerlendirilmesinde Servikovajinal

Pap Smear, Kolposkopi ve Biopsi Sonuçlarının Randomize Kontrollü Karşılaştırılması

The Randomized-Controlled Comparison of the Results of Cervicovaginal Pap Smear,

Colposcopy and Biopsy in Discrimination of Premalign and Malign Lesions of Cervix

Levent KARCI, Leylant OVA DEMİRTAŞ, Ali BALOĞLU, Umur YENSEL, Zeynep KIRIŞ..... 85

Cerrahi Öncesi Epidural Yoldan Uygulanan Morfin HCL'ün Postoperatif Analjezi

Üzerine Etkileri

The Effects of Epidural Morphin HCL Administration Before Surgery on Postoperative Analgesia

Kaan KATIRCIOĞLU, Tayfun ADANIR, Atilla ŞENCAN, Firdevs ÇETİN, Serdar SAVACI..... 93

Subileuslarda Operasyon Kararı

Operational Decision on Subileus Cases

Mustafa PESKERSOY, Turgut ÖZZEYBEK, Taner AKGÜNER,

Yalçın KARAHAN, Mehmet Ali ÖNAL..... 99

Detection of Minor Myocardial Injury By Cardiac Troponin I Levels During Successful

Percutaneous Transluminal Coronary Angioplasty with Stenting

Stent Uygulanan Perkütanöz Transluminal Koroner Anjiopati Uygulamasında Minör

Myokardiyal Hasarın Kardiak Troponin I İle Saptanması

Buket ŞENTOP, Fatma TANELİ, Serdar BİÇEROĞLU, Fisun ERCİYAS..... 103

Postoperatif İntravenöz PCA ile Tramadol Uygulanan Hastalarda Bulanı - Kusmanın

Önlentimesinde Dexametazon, Metoklopramid ve Tropisetron'un Karşılaştırılması

The Comparison of Dexamethasone, Metoclopramide and Tropisetron for Preventing

Nausea-Vomiting in Patients Whom Administering IV Tramadol Postoperatively

Muharrem ÇOCUK, Yavuz ONAY, Tayfun ADANIR, Kaan KATIRCIOĞLU, Serdar SAVACI..... 109

İÇİNDEKİLER (Contents)

Memenin Paget Hastalığı

Paget Disease of the Breast

Elif SELEK, Sevil SAYHAN, Emel DİKİCİOĞLU.....117

Memenin Taşlı Yüzük Hücreli Karsinomu

Signet Ring Cell Carcinoma of the Breast

Elif SELEK, Sevil SAYHAN, Hasan SAYHAN, Emel SELVİOĞLU.....123

Hipertansif Hastalarda Verapamilin Miyokard Performans İndексine Etkisi

The Effect of Verapamil on Myocard Performance Index in Hypertensive Patients

Atilla KESKİN, Mustafa KARACA, Canan KUŞ, Yusuf ALTINKAYNAK,

Murat YEŞİL, Oktay ERGENE.....129

OLGU SUNUMU

Akkız Kanama Diyatezli Bir Olgı Sunumu

The Presentation of an Acquired Bleeding Diathesis Case

Aybige PİLANCI, Dilek SOYSAL, Bahriye PAYZİN, Mehmet Ali ÖZCAN.....135

Subklavyan Steal Sendromu: 3 Olgı Nedeniyle

Subclavian Steal Syndrome: Three Cases Reports

Ömer TETİK, Haydar YAŞA, Türkan DEMİR, Ali GÜRBÜZ.....139



Rubens, Self Portrait, 1638-1640 oil on canvas

Kunsthistorisches Museum, Vienna

KAPAK RESMİ

Rubens, Self Portrait, 1638-1640 oil on canvas

Kunsthistorisches Museum, Vienna

Rubens, Peter Paul (d. 28 Haziran 1577, Siegen, Nassau, Almanya – 30 Mayıs 1640, Anvers, Flandre Barok resmin duygusal özelliklerini en iyi işleyen Flaman ressam. Babasının ölümünden sonra 10 yaşında Latin okulunda eğitimine başladı ancak kısa bir süre sonra maddi olanaksızlıklar nedeniyle okuldan ayrıldı ve ressam Tobias Verhaecht'in yanında çıraklığa başladı. Bu atölyede maniyerist manzara tekniklerini öğrendi Daha sonra da ünlü Rönesans ustalarının yapıtlarını iyi tanıyan Van Veen'in yanında çalıştı. 1600 yılında İtalya'ya gitti. Daha sonraki 30 yıl boyunca çeşitli diplomatik görevler de üstlenen Rubens bu görev nedeniyle gittiği yerlerde Rönesans sanatını ve eserlerini yakından inceleme olağlığı buldu ve hizmetine girdiği soylu ve yöneticilerin ismarladığı sayısız eserini oluşturdu. 1609 da Anvers'li bir hümanist olan Jar Brandt'ın kızıyla evlendi. Birçok kiliseye hazırladığı altar panolarının yanı sıra dini resimler de yapıyordu. Artık ünlü bir ressamdı ve yanında çırak olarak çalışabilmek dahi bir ayrıcalık olmuştu. 1630 da ülkesine dönen Rubens bundan sonra diplomatik görev üstlenmedi. Yaşamının son yıllarda yaptığı manzara resimlerinde duygusal romantizm dikkat çekidir. Sayısız eserinin arasında; Sta. Croce in Gerusalemme Kilisesindeki St.Helena Şapeli için üç altar panosu, Fermo'daki oratoryenler için yaptığı "Çobanlar Tapınması" adlı altar panosu. Luxemburg Sarayı için Fransa Kraliçesinin ismarladığı ve Marie de Médicis'ir yaşamından shneleri canlandırdığı 21 resim (Louvre Müzesi, Paris) ilk akla gelenlerdir.

DERLEME

İZMİR ATATÜRK EĞİTİM HASTANESİ TIP DERGİSİ 2004, 42 (2): 67-71

Mustafa KARACA
Serdar BİÇEROĞLU
Murat YEŞİL

İzmir Atatürk Eğitim ve Araştırma
Hastanesi, Kardiyoloji Kliniği, İZMİR

HEAD UP TILT TESTİ FARMAKOLOJİK PROVAKASYON AJANLARI

Pharmacologic Provocation Agents For Head Up Tilt
Test

ÖZET

Günümüzde Head Up Tilt (HUT) testi senkop etiyolojisini aydınlatmak için yaygın kullanılan bir testtir. Bu testin duyarlılığı konusunda farklı veriler vardır (%40'dan %85'lere kadar). Testin duyarlılığı sebebi bilinmeyen senkop hastalarında düşük bulunurken dikkatli anemneze seçilen vazovagal kökenli olabileceğinin düşünülen hastalarda daha yüksektir. Özgüllüğü %90, tekrarlanabilirliği %80 civarındadır. Duyarlılığı artırmak için bazı farmakolojik ajanlar temel HUT testi bitiminde uygulanmaya başlanmıştır. Bu ajanlar duyarlılığı artırırken, özgürlükte azalmaya sebep olurlar. Bir çok merkez artık temel HUT sonrası bu farmakolojik ajanları kullanmaktadır. Senkop atağı ortaya çıkarmak için bir çok farmakolojik ajan kullanılmaktadır (isoproterenol, nitroglycerin, edrofonyum, adenozin, epinefrin....v.b.). Isoproterenol ve nitroglycerin en sık kullanıldır. Bu yazında HUT testi, farmakolojik provokasyon ajanları literatur incelemesiyle sunulacaktır.

SUMMARY

Head up tilt test (HUT) is used frequently in order to explain the reason of syncope. There are many different data about the sensitivity of HUT test (40% - 70%). The test sensitivity is found low for unexplained syncope but it is found very high in vasovagal originated syncope. The passive HUT test specificity is 90% and its reproducibility is almost 80%. To increase the sensitivity of HUT test some pharmacological agents have began to use at the end of the test. These agents cause an increase in sensitivity but they reduce the specificity. Many clinics now begin to use these pharmacological agents after passive HUT test. A number of provocative agents have been used during HUT test to trigger a syncopal episode (isoproterenol, nitroglycerin, edrophonium, adenozin, epinephrine, ..etc). Isoproterenol and nitroglycerin are the most common pharmacological agents. This article provides an overview of pharmacologic provocation agent for tilt table testing.

Key Words:

Tilt table testing,
pharmacologic provocation

Yazışma Adresi: Dr. Mustafa KARACA
İzmir Atatürk Eğitim Hastanesi
Kardiyoloji Kliniği, İZMİR
GSM: (0.542) 526 78 69
E-mail: mustafakaraca99@hotmail.com

GİRİŞ

Head up tilt testi basit, ucuz ve güvenli kullanımlı nedeniyle kardiyoloji kliniklerinde senkop etiyolojisini aydınlatmak üzere sıkça başvurulan bir yöntemdir. Daha önceden fizyoloji laboratuarlarında postüre bağlı hemodinamik yanıtın incelenmesi (1) için kullanılan HUT testi masasını ilk kez Kenney ve ark. 1980'de klinikte kullanmışlar (2). Halen kliniğimizde Benditt ve ark. önerdiği aşağıda Şekil 1'de gösterilen protokolle test yapılmaktadır. Test nadirde olsa komplikasyonlara neden olabileceğiinden CPR yapılabilecek bir merkezde yapılmalıdır.

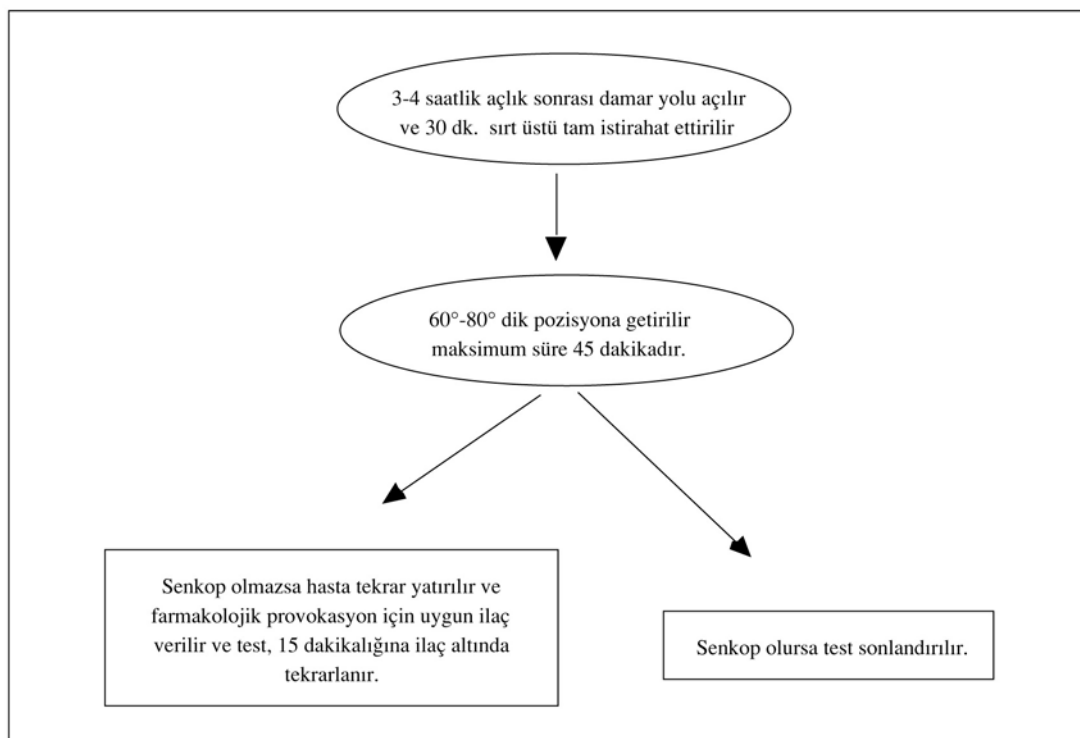
Olgu 15 dk. istiraheti sağlandıktan sonra 80° 45 dk. senkop olana kadar gözlenir. Bu dönemde farmakolojik ajan verilmez bu yüzden bu evreye pasif tilt testi denir. Eğer bu dönemde sonucunda test negatif olarak değerlendirilirse daha kısa olan ikinci bölüme geçilir. Hastaya bu dönemde farmakolojik ajanlar verilerek senkoptan sorumlu mekanizma tetiklenmek istenir.

Kliniğimizde toplam 330 HUT testi yapıldı. 87 olguda pozitif sonuç alındı. Bir olguya test sırasında CPR yapıldı. Halen kliniğimiz tarafından yürütülen Serta lin'in vazovagal senkoplu hastalarda tedavideki yerinin (3) araştırıldığı çalışmada 61 hasta aylık HUT kontrollerinde takip edilmektedir.

Head up tilt testinde provokasyon sebebiyle bir çok ajan kullanılabilir. Sıklıkla kullanılanlar isoproterenol, nitrogliserin, edrofonyum, adenozin, epinefrin vb Kliniğimizde bu amaçla isoproterenol kullanılmaktadır.

Patofizyoloji

HUT testi sırasında karın ve alt ekstremitelere yaklaşık 500-800 ml kan göllenmektedir. Karotik sinus (glossofarengial sinir aracılığı ile) ve aort arkusundaki bulunan baroreseptörler (vagus siniri aracılığı ile) volüm azalmasını algılarlar ve vasküler kan akımının regülasyonunu sağlayan serebral bulbusda lokalize merkezlere (büyük ölçüde nukleus tractus solitarius) iletirlerler (4). Buradan kalkan uyarılarla sempatik tonusta artma, parasempatik tonusta ise azalma-



Şekil 1. Benditt Protokolü.

oluşturur. Ayağa kalkmaya bağlı ilk reaksiyon olarak kalp hızında ve tansiyonda hafif bir artma meydana gelir (5). Bir süre sonra sol ventrikül ve sol atriumda bolca bulunan miyelinize olmamış C tipi sinir liflerinin aktive olması ile nükleus traktus solitarius'a bu son durum yeniden aktarılır. Buradan kalın uyarılar ile sempatik tonusta ani bir çekilme, parasempatik tonusta da artma oluşturulur (6). Sonuçta bradikardi ve hipotansiyonun eşlik ettiği bir dizi hemodinamik reaksiyon oluşur. Beyinde meydana gelen kan akımı azalmasının şiddeti ile orantılı olarak çeşitli derecelerde biliç bozukluğu olabilmektedir. Bu biliç bozukluğu spektrumunun bir ucunda hafif baş dönmesi atağı varken, diğer ucunda ölümle sonuçlanabilecek ağır hipoksiler görülebilir (7).

İsoproterenol

Senkop öncesi katekolaminlerin arttığı belirlenmesinden sonra buna benzer ajanların (isoproterenol gibi) testin duyarlılığın artırılabileceği düşünülmüşdür. Şu anda en sık kullanılan medikal provokasyon ajanıdır. İlk kez Waxman ve ark. (8). 1989'da kullanılmışlardır. Halen kliniğimizde provokasyon ajanı olarak kullanılıyor. Kliniğimizde şu ana kadar 28 hastaya isoproterenol provokasyon yapıldı, hiçbirinde komplikasyon olmadı 8 hastada pozitif sonuç alındı. Isoproterenol ile yapılan provokasyonda pasif test bittikten sonra olgu tekrar yatar duruma getirilir ve 1-3 μ gr/dk infüzyona başlanır doz çeşitli protokollere göre kademeli olarak artırılır. Kalp hızı %20-30 artırılana kadar infüzyona devam edilip hedef kalp hızına ulaşınca olgu tekrar 60-70° kaldırılıp 10-15 dk izlenir ritim ve tansiyon takiplerinde değişiklik olmazsa test negatif olarak değerlendirilir. Grubb ve ark. (9) senkop etiyolojisi bilinmeyen 24 hastaya HUT testi yapıldığında ancak 5 hastada pozitif cevap alınmış isoproterenol infüzyonuyla pozitif grubu 9 hasta daha dahil edilmiş. Morillo ve ark. (10). etiyolojisi bilinmeyen tekrarlayan senkopları olan 120 hasta, 30 sağlıklı kontrol grubuna 15 dk. 60° HUT testi uygulanmış, takibinde kalp hızını %25 artırıacak dozda isoproterenol infüzyonu yapılmış ve sonuçlar istatistik olarak değerlendirildiğinde yanlış pozitiflik oranı hem kontrol grubunda hem de dökümente senkopu olan grupta %6.6 bulunmuş. Duyarlılık, özgüllük ve tekrarlanabilirliği sırasıyla %61, %93,

%86 olduğunu göstermiştir. Yapılan bir çalışmada HUT test masasının açısının artırılması veya isoproterenol dozunun artırılmasının testin özgüllüğünü düşürdüğünü göstermişler (11).

Kapoor Wn ve ark. (12) yaptıkları literatür incelemelerinde isoproterenolun provokasyon testi olarak kullanımının hem pahalı hem de testi karmaşık hale getirdiğini, yüksek kalp hızlarında yanlış pozitiflik oranını artırdığını, komplikasyonlara neden olabişeceğini gözlemlemiş bu nedenle yapılmasını uygun olmadığını belirtmiş.

Koroner arter hastalığı ve sol ventrikül çıkış yol obstrüksiyonu olan olgularda isoproterenol kullanımı dikkatli olunması gerektiği unutulmamalıdır. Buna rağmen provokasyon testleri içinde en çok kullanıldır. Standart provokasyon ajanı olarak kabul edilir. Diğer ajanlar isoproterenol ile kıyaslandırılır. Isoproterenol infüzyonu genel olarak iyi tolere edilir nadir yan etkiler bildirilmiştir. Duyarlılığı artırmakla beraber özgüllüğü %75 kadar düşürür (12).

Nitrogliserin

HUT sonrası provokasyon ajanlarından ucuz ve kolay elde edilebilir olanıdır. Sebebi bilinmeyen senkop hikayesi olan 40 hastaya ve 25 sağlıklı kontrol grubuna negatif temel HUT testi sonrası farklı zamanlarda isoproterenol ve nitrogliserin infüzyonu (0.86 μ g/kg/dk 5 dk. doz artırılarak 5 basamak) yapılmış. Nitrogliserin verilen grupta; 21 (%53) hasta pozitif, 10 (%25) hasta abartılı semptomlar, 9 (%22) hastada test negatif tespit edilmiş, ilaç intoleransi izlenmemiştir (%0). Isoproterenol grubunda bu oranlar sırasıyla, %25, %25 %32, %18 bulunmuştur. Kontrol grubunda hem isoproterenol hem de nitrogliserin verilen grupta yalnızca 2 (%8) hastada pozitif sonuç bulunmuştur. Çalışmanın (13) sonunda nitrogliserin infüzyonunun vasovagal senkop tanısında faydalı alternatif provokasyon test ilaç olduğu ve özgüllüğünün isoproterenole eşit duyarlılık ve uygulanabilirliğinin daha fazla olduğu belirtilmiştir. Bu çalışma sonrası dikkatler nitrogliserin üzerine toplanmış bu testin kolay uygulanır şekli olan sublingual nitrat preparatları üzerine yoğunlaşmıştır (20). Sebebi bilinmeyen senkoplu 235 hastaya ve 35 asemptomatik kontrol grubu 60° 45 dk. HUT testi yapılmış testin sonunda 300 μ g sublingual (SL) nitrogliserin

verilmiş, 20 dk daha izlenmiş; ilk 45 dk ilaç verilmeyen sürede 59 (%25) hastada test pozitif sonuçlanmışken kontrol grubunda pozitif sonuç saptanmamıştır. Temel HUT sonrası 300 µgr SL nitrogliserin verildikten sonra hasta grubunun 60'ında (%26), kontrol grubunun 2'sinde (%6) senkop gözlenmiştir. Aşırı cevap veya yanlış pozitif cevap hasta grubunun 33'ünde (%14), kontrol grubunun 5'inde (%14) tespit edilmiştir. Sonuç olarak sublingual nitrogliserin medikal provokasyon aracı olarak tavsiye edilmiş testin pozitiflik oranını ikiye katlamıştır, özgüllüğünü %94'ten %10 (14) çıkarmıştır.

Nitrat sublingual verilmesiyle yapılan çalışmalarla çeşitli dozlar denemmiş yüksek dozlarda derin hipotansiyon ve bradikardi gözlenmiştir. Yapılan bir çok çalışmada 1-5 mgr arasında dozlar denenmiştir.

Aslan Ö. ve ark. (15) yaptıkları çalışmada açıklanamayan senkopu olan 25 hastaya pasif tilt testi sonrası provokasyon ajanı olarak aynı hastalara 3 hafta arayla 2.5 mg izosorbit dinitrat (ISDN) SL veya isoproterol infüzyonu yapmışlardır. Standart test olarak isoproterol ile karşılaşıldığında, SL-ISDN hem testin duyarlığını aynı oranda artırdığını hem de kolay uygulanır, güvenli olması düşük dozda rahat tolere edilebildiği bildirmiştir. ISDN ile testin duyarlılığı %85, özgüllüğü %90 olarak belirtimizdir.

Edrofonyum

Provokasyon testi için nadir kullanılan bir ajandır. Senkop şikayetiyle takip edilen hastaların heterojen bir grup olması farklı provokasyon ajanlarının aranmasına neden olmuştur.

Fitzpatrick ve ark. (16) yaptıkları çalışmada bir veya daha fazla sebebi bilinmeyen senkop atağı geçiren 145 hastaya HUT testi temel olarak 60° 45 dk uygulanmış. Sonra semptomatik olmayan hastalara; tilt testi öncesi rastgele belirlenerek; bazlarına isoproterenol bazılısına da edrofonyum (10 mg bolus) verilmiştir. Sonuçta 145 hastanın 39'u (%27) temel hut testi, 12'si provokasyon ajanı kullanıldıktan sonra 5'i (%13) isoproterenol infüzyonu, 7'si (%18) edrofonyum bolus sonrası pozitif bulunmuştur. Çalışmanın sonuç önergesi olarak isoproterenol ve edrofonyumun provokasyon testlerinde benzer özelliklerinden dolayı kullanılabilecegi

belirtilmiştir. Edrofonyumun v azovagal senkoplu hastalarda oldukça etkili olduğunu belirtimizdir (17).

Adenozin

Adenozin sempatomimetik ajandır, yapılan çalışmaları kalpteki uyarılabilir sinirlerin afferent yollarında düzenleyici rol aldığı göstermiştir. Bu nedenle head up tilt testi sırasında maskelenmiş senkopu ortaya çıkarabileceği düşünülmüştür.

Perez-Paredes M ve ark. (18) açıklanamayan senkopu olan 30 hasta ve kontrol grubundan 11 olguya negatif sonuçlanan pasif HUT testi sonrası adenozin (3, 6 ve 9 mg, olmak üzere bolus şeklinde 5 dk. arayla) veya isoproterenol infüzyonu (2, 4 ve 6 mg/dk) yapmış ilk provokasyon testi sonrası negatif çıkanlara 15 dk. sonrasında diğer ajan ile üçüncü testi uygulamışlar. 7(%23) hastada adenozin sonrası, 9 (%30) hastada isoproterenol sonrası pozitif cevap alınmış. Sadece 2 (%6) hastada iki ajanla birlikte pozitif yanıt alınmış, kontrol grubundan 1 (%9) olguda adenozin sonrası vasovagal senkop olmuş. Başka bir çalışmada adenozin bolusu ve ardından isoproterenol infüzyonunun provokasyon testi olarak kullanılabileceği; başlangıçta adenozin verilmesi ve testin sonunda isoproterenol ile provoke edilmesi ile testin süresini azaltıp, başarısının artırılabileceği bildirilmiştir (19).

Diger

Kardiyak mekano reseptörleri uyararak kontraktiliteyi artıran ajanlarla (epinefrin, dopamin infüzyonu vb. HUT testi provoke edilebileceği düşünülmüş ve nadir olarak kullanılmıştır. Bu konuda yeterli çalışma yoktur.

Sonuç

Sonuç olarak HUT testi açıklanamayan senkopu olan hastalarda alternatif olmayan bir testir. Duyarlılığı konusunda farklı rakamlar bildirilmiştir. Provokasyon testleri yardımıyla vakaların çoğuna tanı konmaktadır ve testin duyarlılığı artırmaktadır. Son zamanlarda bir çok klinikte standart tilt testi, provokasyon periyodunu içermektedir. Ülkemizde provokasyon ajanlarının çoğuna ulaşmakta sıkıntılardır. Bu sebepten oral nitratların uygun dozlarda kullanılması ilerde daha yaygın olarak kullanılacağını düşünebiliriz.

KAYNAKLAR

1. Blair P, Grubb, D, Kosinski. Tilt table testing: Concepts and limitations. PACE 1997; 20(pt. II): 781-787.
2. Kenny RA, Ingram A, Bayliss J, et al. Head up tilt: A useful test for investigating unexplained syncope. Lancet 1989; 1: 1352-1355.
3. Pınar A, Yeşil M, Yücel Ö, Karaca M, Postacı N. Long Term Sertraline Treatment for Patients with Neurocardiogenic Syncope. XCI. European Cardiology Congress Abstract Book 2032, 1999.
4. Savage DD, Corwin L Mc Gee DL, et al. Epidemiologic features of isolated syncope: The Framingham Study. Stroke 1985; 16: 626-629.
5. Blair P, Grubb, D, Kosinski. Tilt table testing: Concepts and limitations. PACE 1997; 20(pt. II): 781-787.
6. Stevens H, Fazekas J. Experimentally induced hypotension. Arch Neurol Psych 1955; 73: 416-424.
7. Kenny RA, Ingram A, Bayliss J, et al. Head up tilt: A useful test for investigating unexplained syncope. Lancet 1989; 1: 1352-1355.
8. Waxman MB, Yao L Cameron DA, et al. Isoproterenol induction of vasodepresor-type reaction in vasodepressor prone person. Am J Cardiol 1989; 63: 58-65.
9. Grubb BP, Temes-Armos P, Hahn H, Elliott L. Utility of upright tilt table testing in the evaluation and management of syncope of unknown origin. Am J Med 1991; 90: 6-10.
10. Morillo CA, Klein G, Zandri S, Yee R. Diagnostic accuracy of a low dose isoproterenol head up tilt protocol. Am Heart J 1995; 129: 901-906.
11. Natala A, Akhtar M, Jazayeri M, et al. Provocation of hypotension during heat up tilt testing in subjects with no history of seneope or presenope. Circulation 1995; 92: 54-58.
12. Kapoor WN, Smith MA, Miller NL. Upright tilt testing in evaluating syncope:a comprehensive literature review. Am J Med 1994; 97(1): 78.
13. Raviele A, Gasparini G, Di Pede F, Menozzi C, Dinelli M, Alboni P, Piccolo E. Nitroglycerin infusion during upright tilt: a new test for the diagnosis of vasovagal syncope.
14. Raviele A, Menozzi C, Brignole M, Gasparini Alboni P, Musso G, Lolli G, Oddone D, Dinelli M, Mureddu R. Value of head up tilt testing potentiated with sublingual nitroglycerin to assess the origin of unexplained syncope. Am J Cardiol 1995; 76(4): 267-72.
15. Aslan Ö, Güneri S, Badak Ö, Kırımlı Ö, Göldeli Ö, Keskin V, Akdeniz B, Tekin Ü. Açıklanamayan senkop olgularının değerlendirilmesinde dil-altı düşük doz izosorbid dinitrat ile yapılan "head up" tilt masası testi: isoproterenol infüzyonu ile karşılaştırma. MN Kardiyoloji 2001; 8/4: 281-86.
16. Fitzpatrick AP, Lee RJ, Epstein LM, Eisenberg S, Sheinman MM. Heart 1996; 76(5): 406-11.
17. Voice RA, Lurie KG, Sakaguchi S, Rector TS, Benditt DG. Am J Cardiol 1998; 81(3): 346-51.
18. Perez-paredes M, Pico Aracil F, Sanchez Villanueva JC. Role of ATP in head up tilt induced syncope. Rev Esp Cardiol 1998; 51(2): 129-35.
19. Mittal S, Steine KM, Markowitz SM, Slotwiner DJ, Rohatgi S, Lerman BB. Induction of neurally mediated syncope with adenosin. Circulation 1999; 10: 1318-24.
20. Kurban SA, Franzen A, Bowker TJ, Williams TR, Kaddoura S, Petersen EV, Sutton R. Usefulness of tilt test-induced patterns of heart rate and blood pressure using a two-stage protocol with glyceryl trinitrate provocation in patients with syncope of unknown origin Am J Cardiol 1999; 84: 665-670.

KLİNİK ÇALIŞMA

İZMİR ATATÜRK EĞİTİM HASTANESİ TIP DERGİSİ 2004, 42 (2): 73-80

Özer ÖZTEKİN*

Gündüz DEMİR*

Sanem ÇİMEN*

Atila KESKİN**

Ferit SOYLU*

Atatürk Eğitim ve Araştırma
Hastanesi, İZMİR

* 2. Kadın Hastalıkları ve Doğum
Kliniği

** Kardiyoloji Kliniği

FARKLI HORMON REPLASMAN TEDAVİLERİİNİN SOL VENTRİKÜL DİASTOLİK FONSİYONU ÜZERİNDEKİ ETKİSİNİN EKOKARDİOGRAFİK DEĞERLENDİRİLMESİ

Echocardiographic Evaluation of the Effects of
Different Hormon Replacement Therapies on Left
Ventricular Diastolic Function

ÖZET

Bu çalışmada; İzmir Atatürk Eğitim ve Araştırma Hastanesi II. Kadın Hastalıkları ve Doğum Polikliniği'ne başvuran doğal menopoz hastalarına uygulanan farklı hormon replasman tedavisi yöntemlerinden Tibolone ve KEE (Konjuge equine estrogen) + MPA (Medroksiprogesteron asetat)'nın sol ventrikül diastolik fonksiyonları üzerindeki etkilerini inceledik.

Hastalarla HRT(Hormon replasman tedavisi) başlamadan önce EKO ile diastolik fonksiyonu değerlendirmek için IVRT (izovolumetrik relaksasyon zamanı), DT (Akım hızı yavaşlama zamanı) ve E/A (Erken dolum dalga akım hızının geç dolum dalgası akım hızına oranı) parametrelerini kullandık. Başlangıç verileri üç ay sonra EKO bulguları ile karşılaştırıldı.

Heriki grupta da kriterlerde artış olmasına rağmen farklılıklar istatistiksel olarak anlamsız olarak değerlendirildi.

Sonuçlarımıza göre HRT, yaşla ilgili olarak diastolik disfonksiyonu geciktirmekte, hatta tersine çevirebilmektedir. HRT'nin bu olumlu etkileri metabolik ve kardiovasküler sisteme gözlenen direkt ve indirekt etkilerine bağlı olabilir. Ancak HRT'nin kardioprotektif etkileri konusunda daha fazla randomize çalışmaya ihtiyaç vardır.

SUMMARY

We investigated the effects of different hormon replacement therapies (Tibolone and conjugated equine estrogen + medroxyprogesterone acetate) on left ventricular diastolic functions of patients who admitted to Obstetrics and Gynecology clinics of our hospital.

Before starting hormone replacement therapy (HRT) we measured IVRT (isovolumetric relaxation time), DT (flow rate slowing time), E/A (proportion of early filling wave flow rate to late filling wave flow rate) echocardiographically. Initial data were compared with that of three months later's.

Key Words:

Diastolic function, hormon replacement therapy, echocardiographi

Yazışma Adresi: Dr. Özer ÖZTEKİN

170 sokak No: 23/4 35360 Basın Sitesi / İZMİR

Tel: (Ev): (0.232) 232 96 11 (İş): 0-532-436 14 99

E-mail: ozeroz55@hotmail.com

Although increments were observed in some parameters these were statistically insignificant.

According to our results dependent on the age HRT delays or sometimes reverses the diastolic dysfunction. These positive effects of HRT may be related with the direct and indirect effects on metabolic and cardiovascular system. But more randomised studies are needed on the cardioprotective effects of HRT.

GİRİŞ

Yaşam standartlarının yükselmesi ve Tıp Bilimin-deki gelişmelerin etkisi ile özellikle endüstri-leşmiş ülkelerde beklenen yaşam süresi gün geçtikçe artmaktadır. Örneğin ABD'deki beyaz irk kadınları-nın da ortalama yaşam süresi 85 yılın üzerindedir ve bu kadınların ortalama menapoz yaşı 51'dir (1). Bu da şu anlama gelir; bir kadın yaşamının üçte birinden fazlasını postmenapozal dönemde geçirecektir.

Menapoz bir kadın için "artık adet görmeme" şeklinde basitçe geçiştirilemeyecek bir durum olmaktan çok, uzun yıllar sürecek problemler yumağı olacaktır. İşte bu nedenle Jinekoloji pratiğinin belki de en sık karşı-laşılan soru ve sorunları bu döneme aittir. Ve menapoz yalnızca jinekolojik bir konu başlığı değil, yol açtığı sorunlar itibarı ile adeta sistemik bir hastalık haline gelebilmektedir. Bu noktada menapoz ile başlayan bu dönemin iyi anlaşılması, etkilerinin iyi bilinmesi, uygun ve yeterli replasman tedavisinin yapılması, kadınların hem artmış yaşam sürelerini konforlu hale getirir hem de morbidite hatta mortali-te oranlarını azaltır.

Postmenapozal dönem, yaşa bağlı medikal sorun-ların insidansının belirgin artması ile başlayan bir dönemdir. Ancak özellikle osteoporoz ve kardiovasküler sistem hastalıkları gibi olaylar yaşa bağlı olduğu kadar ve belki de daha fazla östrojen eksikliğine de bağlıdır. Bugün artık postmenapozda östro-jen tedavisinin gerekliliği geniş kabul görmüştür ve replasman tedavisinin lipid profilini düzelttiği, KVS hastalığı riskini azalttığı ve osteoporoz üzerine etkili olduğu bilinmektedir (2).

GEREÇ VE YÖNTEM

Bu çalışmaya İzmir Atatürk Eğitim ve Araştırma Hastanesi II. Kadın Hastalıkları ve Doğum Polikliniği'ne Eylül 2001 ile Şubat 2002 tarihleri

arasında başvuran, en az bir yıldır doğal menapoz döneminde olan 45 hasta alınmıştır. Farklı hormon replasman tedavilerinin kardiovasküler sistem üz-erindeki etkilerini incelemeyi amaçladık.

1. aşamada; olgulara menapoz ve hormon replas-man tedavisi hakkında bilgi verilip sözlü onaylar alınmıştır.

Çalışmaya alınan olgularda aşağıdaki kriterle-aranmıştır:

1. Çalışmaya katılan tüm olgular 40-60 yaşıları ara-sında olması,
2. En az bir yıldır doğal menapozda olmak,
3. Daha önce HRT almamış olmak,
4. Akut ve kronik karaciğer hastalığının olmaması,
5. Tedaviye başlangıçta TA 140/90 mmHg'nır altında olması,
6. Kardiak, serebrovasküler, tromboembolik ve re-nal hastalık öyküsünün olmaması,
7. Çalışma süresince kardiovasküler sistemle ilgil-i bir ilaç tedavisi almamak,
8. Aşırı obez olmamak ($BMİ \leq 40 \text{ kg/m}^2$),
9. Cerrahi menapoza giren hastaların çalışma dış bırakılması,
10. Çalışmaya katılan olguların günde beş taneder az sigara içiyor olması,
11. Serum FSH ve estradiol değerleri ile olguların postmenapozal durumda olmaları,
12. Tedaviye başlamadan önce endometrium kalınlı-ğının 5 mm altında olması,
13. Açlık kan şekeri, üre, kreatinin, tiroid fonksiyon testi normal sınırlarda olması,
14. Ailede meme kanseri veya diğer genital kanser öyküsü olmaması ve mamografide patolojik olu-şum saptanmamış olması.

2. aşamada; tedaviye başlamadan önce olguların hepsine sistemik ve jinekolojik muayene yapıldı. Servikovaginal smear alındı. USG ve endometrial kalınlık ölçüldü. Mamografleri değerlendirildi. Tüm olgulara başlangıçta Elektrokardiografi (EKG) çekimi yapıldı. EKG sonucu anormal bulunan hastalar çalışmaya alınmadı.

3. aşamada; hastaların 2.5 MHz WingMed 725 Ekokardiografi cihazı ile HRT'ne başlamadan önce sol lateral dekubitus pozisyonunda, Doppler Ekokardiografik yöntemle E/A (erken dolum dalga akım hızının, geç dolum dalgası akım hızına oranı), DT (akım hızı yavaşlama zamanı) ve IVRT ölçüldü. Tüm gözlemler benzer koşullarda aynı odada ve tek bir gözlemci tarafından gerçekleştirildi. Gözlemci olguların hangi gruptan olduğunu bilmemiği için kördü. Ölçümlerde hata payının minimuma indirilmesi amacıyla herbir ölçüm üçer defa yapılarak ortalamaları alındı.

4. aşamada; Hastalar rastgele iki gruba ayrıldı. Örnek seçimi topluluğu iki kısma ayırma sonrası basit randomize kura usulü ile yapıldı. I. gruba (n=22) Tibolon 2.5 mg tb/gün (Livial-Organon ilaçları A.Ş.), II. gruba (n=23) konjuge östrojen 0.625 mg+ Metroksiprogesteron Asetat 5 mg/gün (premelle 5 mg-Wyeth İlaç. A.Ş.) verildi.

5. aşamada; her iki replasman tedavi şekli de kesintisiz protokol şeklinde uygulandı. HRT tedavisine olguların uyumlulukları ve devam edip etmedikleri ayda iki kez düzenlenen telefon görüşmeleri ile kontrol edildi. Çalışma süresince analjezikler dışında kalan başka hiçbir ilaç tedavisine başlanmadı.

Tedavi sırasında Tibolon grubunda iki hasta, konjuge östrojen grubunda üç hasta kontrollere gelmeyecek, bağlantıyı kopardılar. Çalışmaya her grupta 20'şer hasta ile devam edildi.

6. aşamada; hastaların HRT'nin üçüncü ayın sonunda sol lateral dekubitus pozisyonunda Doppler Ekokardiografik yöntemle E/A, DT ve IVRT'i tekrar ölçüldü.

7. aşamada; HRT'nin sol ventrikül diastolik fonksiyonları üzerindeki etkileri analiz edildi.

Sonuçların istatistiksel değerlendirme SPSS 10.0 programı ile değerlendirildi. Analitik işlemlerde stu-

dent T ve ANOVA testi kullanılarak ki kare testler ile yapıldı.

BULGULAR

Bu çalışmaya katılan 45 olgudan 40 olgu çalışmaya tamamlandı. Çalışmaya katılan olguların bazal klinik özellikleri Tablo 1'de verilmiştir.

Tablo 1. Olguların bazal klinik özellikleri.

	Tibolon (± SS)	KEE+MP A(± SS)
Hasta Sayısı	20	20
Hasta Yaşı	48 ± 5	51 ± 5
Menapoz Yaşı	45 ± 4	47 ± 4
Menapoz Süresi (Ay)	28 ± 38	37 ± 42
FSH (iu/lt)	65 ± 30	80 ± 40
E2 (pg/ml)	25 ± 3	20 ± 3
Diastolik Kan Basıncı (mmHg)	70 ± 2	71 ± 2
Sistolik Kan Basıncı (mmHg)	120 ± 11.6	121 ± 11.2
Vücut Kitle İndeksi (kg/m ²)	40 ± 3.7	39 ± 3

SS: Standart sapma. Değerler ortalama olarak verilmiştir.

FSH: Follikül stimülör hormon, LH: Lüteinizan hormon

P=0.495>0.05 olduğundan %95 güvenle KEE verilmeden önce DT değerleri ile KEE verildikten sonra DT değerleri arasında anlamlı bir farklılık yoktur (Tablo 2). Aynı zamanda KEE verilmeden önce DT değerleri ile KEE verildikten sonra DT değerleri arasında ters yönde %16'luk zayıf bir ilişki vardır.

Tablo 2. Hormon Replasman Tedavisi (HRT) ve E dalgası yavaşlama zamanı (DT) (parantez içindeki rakamlar aralık değerlerini göstermektedir).

	DT-I (ms)	DT-II (ms)	P
KEE+MPA (n=20)	0.1865 (0.09-0.34)	0.2025 (0.01-0.71)	0.495
Tibolon (n=20)	0.17 (0.070-0.340)	0.2375 (0.050-0.71)	0.189

KEE: Konjuge Equine Estrogen, MPA: Medroksiprogesteron Asetat

Tibolon verilmeden önce DT değerleri ile Tibolon verildikten sonra DT değerleri arasında anlamlı bir farklılık yoktur (P>0.05). Aynı zamanda Tibolon verilmeden önce DT değerleri ile Tibolon verildikten sonra DT değerleri arasında ters yönde %24'lük zayıf bir ilişki vardır.

$P>0.05$ olduğundan %95 güvenle KEE verilmeden önce E/A değerleri ile KEE verildikten sonra E/A değerleri arasında anlamlı bir farklılık yoktur (Tablo 3). Fakat KEE verilmeden önce E/A değerleri ile KEE verildikten sonra E/A değerleri arasında aynı yönde %56'lık kuvvetli bir ilişki vardır. KEE verilmeden önce E/A değerleri arttıkça KEE verildikten sonra E/A değerleri de artacaktır.

Tablo 3. HRT (Hormon replasman tedavisi) ve erken ve geç tepe mitral akım hızları arasındaki oran (E/A)'ın karşılaştırılması.

	E/A-I	E/A-II	P
KEE+MPA (n=20)	0.9363 (0.63-1.17)	0.9879 (0.57-1.36)	0.14
Tibolon (n=20)	0.874 (0.6-1.490)	0.971 (0.570-1.45)	0.069

KEE: Konjuge Equine Estrogen, MPA: Medroksiprogesteron Asetat

Tibolon verilmeden önce E/A değerleri ile Tibolon verildikten sonra E/A değerleri arasında anlamlı bir farklılık yoktur ($P>0.05$). Fakat Tibolon verilmeden önce E/A değerleri ile Tibolon verildikten sonra E/A değerleri arasında aynı yönde %55'lik kuvvetli bir ilişki vardır. Tibolon verilmeden önce E/A değerleri arttıkça Tibolon verildikten sonra E/A değerleri de artacaktır.

KEE verilmeden önce IVRT değerleri ile KEE verildikten sonra IVRT değerleri arasında anlamlı bir farklılık yoktur ($P>0.05$). Fakat KEE verilmeden önce IVRT değerleri ile KEE verildikten sonra IVRT değerleri arasında aynı yönde %57'lik kuvvetli bir ilişki vardır (Tablo 4). KEE verilmeden önce IVRT değerleri arttıkça KEE verildikten sonra IVRT değerleri de artacaktır.

Tibolon verilmeden önce IVRT değerleri ile Tibolon verildikten sonra IVRT değerleri arasında anlamlı bir farklılık yoktur ($P>0.05$).

Tablo 4. HRT (Hormon replasman tedavisi) ve sol ventrikül izovolemik relaksasyon zamanı (IVRT).

	IVRT-I (ms)	IVRT-II (ms)	P
KEE+MPA (n=20)	0.077 (0.03-0.11)	0.0825 (0.04-0.12)	0.192
Tibolon (n=20)	0.77 (0.050-0.11)	0.810 (0.040-0.12)	0.385

KEE: Konjuge Equine Estrogen, MPA: Medroksiprogesteron Asetat

bir farklılık yoktur ($P>0.05$). Aynı zamanda Tibolon verilmeden önce IVRT değerleri ile Tibolon verildikten sonra IVRT değerleri arasında aynı yönde %17'lik zayıf bir ilişki vardır.

TARTIŞMA

Peç çok çapraz kesit çalışmasında tespit edildiği gibi menopoz kalp fonksiyonları üzerinde olumsuz bir etkiye yol açar (1,2). Doppler aortik akım parametrelerinden olan tepe-akım hızı, ortalama hızlanma ve akım hızı integrali gibi parametrelerde gözlenen progresif azalmaların menopozdan sonra geçen yıl sayısıyla ilişkili olduğu görülmüştür (1). Epidemiyolojik çalışmalar östrojen replasman tedavisinin ve kombinasyonlu östrojen/progesteron replasman tedavisinin (HRT) sağlıklı postmenopozal kadınlarda kardiyovasküler hastalıklara karşı koruyucu bir etkini gösterdiğini düşündürmektedir (3). Aksine koroner arter hastalığı olduğu bilinen kadınlarda sekonder korunma ile ilgili olarak yapılan Heart and Estrogen/Progestin Replacement Study (HERS) çalışmasında HRT'nin kalp hastalıklarına karşı koruyucu etkisinin olmadığı, bunun yerine tedavinin birinci yılı sonunda kardiyovasküler hastalık gelişme riskini artırdığını gösterilmiştir (4). Ancak bu bulgu sadece daha önceden yapılmış epidemiyolojik çalışmalarla zıt olmakla kalmayıp aynı zamanda HRT'nin çeşitli kardiyovasküler risk faktörleri ile ilgili olarak bilinen olumlu özelliklerine de ters düşmektedir. HERS tedavisinde gözlenen kardiyovasküler risk artışı büyük ölçüde HRT'nin protrombotik ve proenflamatuar etkisine bağlanabilir. Ancak bu etkiler sağlıklı kadınların çoğu için önemli düzeyde değildir ve kardiyovasküler hastalıklardan primer korunma ile ilgili olarak yapılar çalışmaların başında yaygın olarak kabul edilmiş bir durumdur (5). Buna karşın HERS çalışmasına katılan kadınlar, ileri derecede KAH bulunan yaşlı kadınları, dolayısıyla HRT'nin akut dönemde gözlenen protrombotik etkileri, uzun dönemde gelişmesi beklenen anti-aterosklerotik etkilerinin önüne geçmemiştir. Bizim çalışmamızda sadece sağlıklı kadınlar değerlendirildiği için bu durum söz konusu değildir. Çalışmamızda yer alan kadınların hiçbirinde kardiak bisemptom söz konusu değildi. Hepsinde başlangıçta uygulanan EKG normaldı.

HRT'nin lipoproteinler, hemostaz, karbonhidrat metabolizması ve damar tonusu-reaktivitesi üzerindeki etkileri ile ilgili olarak yapılan çalışmaların çoğunda kardioprotektif etkili olduğu görüşü desteklenmiştir (6-8). Kalp dokusu ve damarlarda östojen reseptörlerinin bulunması, over steroidlerinin direkt myokardial etkilerini düşündürmektedir (9). Mevcut çalışmamızda HRT'nin kalp üzerinde gözlenen bir diğer önemli etkisini saptamış bulunuyoruz. Bu da postmenopozal sağlık kadınlarda, EKO ile değerlendirilen sol ventrikül (SV) diastolik fonksiyonları üzerinde olumlu etkileridir.

Mevcut çalışmamızda grup II'de (KEE + MPA) diastolik fonksiyonlarda (IVRT, DT, E/A) artış saptanmış olmakla beraber bu bulgular istatistiksel olarak anlamsız olarak değerlendirilmiştir. Tibolon verilen grupta da (Grup I) IVRT, DT ve E/A'da artış saptanmış olup bulgular istatistiksel olarak anlamsızdır.

Diastolik disfonksiyon yaşa bağlı bir anormalliktir ancak çeşitli kalp hastalıklarında da görülebilir (10). SV gevşemesindeki anormalliliğe bağlı olarak SV dolmasının gecikmesi sonucunda gelişen kalp yetmezliğine neden olabilir. HRT'nin SV diastolik fonksiyonları üzerindeki etkisi ile ilgili olarak çok az bilgi mevcuttur. Voutilainen ve ark. (11) yaptıkları bir çapraz kesit çalışmasında 28 olguda HRT'nin SV diastolik fonksiyonları üzerindeki etkilerini değerlendirdiler. Bu 28 olgunun sadece 16'sı HRT alıyordu. 16 olgunun 12'si siklik östrojen + progesteron tedavisi geri kalan dört tanesi ise histerektomi sonrasında sadece östrojen tedavisi görmekteydi. Ortalama HRT uygulama süresi 5.8 yıldı. HRT kullananlarla kullanmayanlar arasında iki farklı diastolik fonksiyon parametresi için HRT lehine önemli değişiklikler gözlandı. Bu parametreler E/A ve atrial filling (dolma) fraksiyonu idi. Uzun süreli östrojen tedavisinin etkilerini değerlendiren tek çalışma bu çalışmадır.

Yıldırım ve ark. (12) sağlıklı postmenopozal kadınlarda sol ventrikül diastolik fonksiyonlarını artırmak için HRT'yi altı ay uyguladıktan sonra tekrar EKO ile diastolik fonksiyonları değerlendirmiştir. Hem KEE hem de KEE+MPA uygulanan grupta IVRT ve E/A oranında önemli bir artış gözlenmiş olup diastolik fonksiyonlara ilgili EKO parametrele

rinde hafif bir klinik iyileşme te spit edilmiştir. Bu da bizim çalışmamızla uyumlu görülmektedir. Bizim çalışmamızdaki kısa süreli takip süresinde gözlenen bu hafif iyileşme klinik açıdan anlamlı olabilir.

Taşkin ve ark. (13) 28 sağlıklı postmenopozal kadınlarda sürekli KEE + MPA tedavisinin SV diastolik fonksiyonları üzerinde önemli düzelmeler tespit etmiştir. Bunlar arasında E/A oranında artma ve DT zamanında azalma yer almaktadır.

Yukarıda yer alan üç çalışmaya ve bizim mevcut çalışmamızda zıt olarak, Pines ve ark. (14) sekiz hafiflik transdermal östradiol tedavisinin sağlıklı postmenopozal kadınlarda SV fonksiyon parametreler üzerinde önemli bir etki yapmadığını bildirmiştir. Bu durum karaciğerden ilk geçiş etkisi ile ilgili olabilir.

Fak ve ark. (15) yaptıkları çift-kör, placebo kontrollü bir çapraz kesit çalışmasında tek doz oral KEE tedavisinin SV diastolik fonksiyonları ile ilgili akut etkilerini değerlendirmiştir. Çalışmada hipertansiyon ve SV diastolik disfonksiyonu bulunan 30 kadın积极参与. Diastolik fonksiyonları normal olan 30 postmenopozal kadın ise kontrol grubu olarak kullanılmıştır. Östrojenin normotensif grupta diastolik fonksiyonlar üzerinde önemli bir etki yapmadığı görülmüştür. Hipertansif grupta ise, östrojen tedavisi placebo grubu ile karşılaştırıldığı zaman E/A oranında ve IVRT üzerinde daha yüksek oranda olumlu etkilerle yol açtığı görülmüştür. Bu çalışmaya uyumlu olarak biz de çalışmamızda, HRT'nin olumlu etkilerinin en yüksek düzeyde, sol ventrikül diastolik disfonksiyonu en ileri derecede olan kadınlarda gerçekleştiğini gözledik.

HRT'nin SV diastolik fonksiyonlarını iyileştirmede çeşitli mekanizmalar etkili olabilir. Bunlardan biri de östrojenin Ca antagonistik etkisi olabilir (16) HRT'nin aortik tepe-akım hızı, hız-zaman integral ve ortalama hızlanma zamanlarını iyileştirdiği bildirilmiştir (17). Ayrıca arterial empedansı da azalttı ıleri sürülmüştür (18). Bu değişiklikler SV relaksasyonunu hızlandırmakta ve böylece SV fonksiyonlarını iyileştirmektedir.

Östrojen sıçan myokardında önemli genlerin expresyonunu etkilemektedir. Özellikle myosin ağır zinciriinin expresyonunu önemli ölçüde etkiler (19). Oofe

rektomi uygulanan diş siçanlarda, fizyolojik dozda uygulanan 17 β- östradiol, V1 myosin izoformunda görülen azalmayı engellemiştir (20). Dolayısıyla östrojen muhtemelen myokardda protein sentezinin sürdürülmesi açısından önemli bir rol oynamaktadır. Androjenlere benzer yapısı olan progestinler de protein sentezini artıtabilir.

Hipertansif postmenopozal kadınlar üzerinde yakın zamanlarda bir longitudinal çalışmada Pines ve ark. (21) HRT ile SV kitlesinde bir azalma tespit ettilerdir. Kardiak output, kalp hızı ve kan basıncı değerlerinde ise bir değişiklik tespit edememişlerdir.

Schilacci ve ark. (22) hipertansiyonu olan ve olmayan premenopozal ve postmenopozal kadınlarda sol ventrikül duvar kalınlığının daha fazla olduğunu saptamışlar ve bunun orta duvar fraksiyonel kısalmasına azalmaya ve gece gündüz arası tansiyon farklılığının azalmasına eşlik ettiğini belirtmişlerdir.

Kangro ve ark. (23) postmenopozal kadınlarda SV dolma fonksiyonun bozulmaya başladığını göstermiştir. Bu gözlemler östrojen eksikliğinin kalp fonksiyonları üzerindeki direkt etkisini göstermektedir. Bu da sonuç olarak menopozun kalpte yol açtığı olumsuz değişikliklerin kısmen de olsa östrojen tedavisi ile düzeltilebileceğini gösterir.

Tibolonun kardiovasküler sistem üzerinde teorik olarak yararlı olabilecek etkileri bulunmaktadır. Örneğin, sağlıklı postmenopozal kadınlarda tibolonun vasküler etkileri ile ilgili 6 haftalık bir çalışmada ön kol kan akımında belirgin artış tespit edilmiştir (24). Sağlıklı postmenopozal kadınlarda 12 aylık tibolon tedavisinin ardından yapılan karşılaştırılmış bir çalışmada oral ve transdermal östradiol ile birlikte progesteron tedavisi ile karşılaşıldığında tibolonun periferik kan akım hızı ve tırnak yatağı kapillerinde akım hızı velocitesini belirgin olarak daha fazla artırdığı tespit edilmiştir (25). Kan akımındaki bu artışa endotelin serum konsantrasyonlarında düşüş eşlik etmektedir. Sağlıklı postmenopozal kadınlarda tibolon ile vasküler endotelial büyümeye faktörü serum düzeylerinde de artış gözlenmiştir (26). Ayrıca erken diastolik dolma zamanı ve diastolik dolma tepe velocitesinde yine belirgin bir artış ile birlikte tepe

akım velocitesi, akım ve lositesi intervali ve ortalama akselaresyonda da gözle görülür bir yükselme tespit edilmiştir.

Postmenopozal insülin bağımlı olmayan diabetik hastalarda 12 aylık tibolon tedavisinin diastol fonksiyonlarında düzelmeye yol açtığı gösterilmiştir (27).

Yukarıda tibolonla yapılan çalışmalardaki bulgular bizim çalışmamızla uyumlu görülmektedir. Çalışmamızın süresi kısa olmasına rağmen tibolon verileri hasta grubunda IVRT, DT ve E/A'de artış olmakla beraber istatistiksel olarak anlamsız bulunmuştur.

KEE ile birlikte MPA'nın verilmesi estradiolin kardiak etkisini azaltmış olabilir. MPA arteriyel duvar daki konstriktif etkisinin yanında kardiak fonksiyona da etki ederek estradiolin olumlu etkilerini azaltabilir (28).

Örnek sayısının az olması, kontrol grubunun bulunmaması ve kısa süreli bir takip uygulanmış olmas bizim çalışmamızın en önemli eksiklikleridir. Ancak bu çalışmada her olgu kendisinin kontrol grubunu oluşturmuştur. Üç aylık HRT tedavisi sonunda diastolik fonksiyonlarla ilgili EKO parametrelerinde hafif bir iyileşme olduğunu tespit etti. Kısa süreli takip süresinde gözlenen bu hafif iyileşme çok belirgin klinik iyileşmeye yol açmayı bilir. Ancak tedavinin yıllarca uygulanması durumunda önemli bir bıuya ulaşıceği düşünülmektedir.

Sonuçlarımıza göre HRT, yaşla ilgili diyastolik disfonksiyonu geciktirmekte, hatta tersine çevrilebilmektedir. HRT'nin bu olumlu etkileri metabolik ve kardiovasküler sisteme gözlenen direkt ve indirek etkilerine bağlı olabilir.

Sonuç olarak HRT sol ventrikül diastolik fonsiyonları, sağlıklı postmenopozal kadınlarda progesteron kullanılmamasından bağımsız olarak iyileştirmektedir. Sol ventrikül doluşunun artması, HRT'nin kalp üzerindeki olumlu etkilerinin en önemli mekanizmasıdır. Ancak HRT'nin kardioprotektif etkileri konusunda daha fazla randomize çalışmaya ihtiyaç vardır. Bugün için HRT'nin kardiak açıdan sağlıklı olan ve olmayan kadınlardaki kardiak etkileri henüz büyük bir tartışma konusudur.

KAYNAKLAR

1. Pines A, Fisman EZ, Drory Y, Levo Y, Shemes J, Ben-Ari E, et al. Menopause-induced changes Doppler-derived parameters of aortic flow in healthy women. *Am J Cardiol* 1992; 69: 1104-6.
2. Pines A, Fisman EZ, Shemes J, Levo Y, Ayalon D, Kellerman JJ, et al. Menopausal changes in left ventricular function in healthy women. *Cardiology* 1992; 80: 413-6.
3. van Baal WM, Kooistra T, Stehouwer CD. Cardiovascular disease risk and hormone replacement therapy (HRT): a review based on randomized, controlled studies in postmenopausal women. *Curr Med Chem* 2000; 7: 499-517.
4. Hulley S, Grady D, Bush T, Furberg C, Herrington D, Riggs B, Vittinghoff E. The Heart and Estrogen/Progestin Replacement Study (HERS) Research Group. Randomized trial of estrogen plus progestin for secondary prevention of coronary heart disease in postmenopausal women. *J Am Assoc* 1998; 280: 605-13.
5. McPherson R. Is hormone replacement therapy cardioprotective? Decision-making after the heart and estrogen/progestin replacement study. *Can J Cardiol* 2000; Suppl A: 14 A-19A.
6. Stevenson JC, Crook D, Godslan IF, Collins P. Whitehead MI. Hormone replacement therapy and the cardiovascular system: nonlipid effects. *Drugs* 1994; 47 (Suppl 2): 35-41.
7. Kamali P, Muller T, Lang U, Calpp JF. Cardiovascular responses of perimenopausal women to hormonal replacement therapy. *Am J Obstet Gynecol* 2000; 182: 17-22.
8. Bush TL, Barret-Conner E, Cowan DL. Cardiovascular mortality and non-contraceptive use of estrogen in women: results from the Lipid Research Clinics Program Follow-up Study. *Circulation* 1997; 75: 1102-1109.
9. Stumpf WE. Steroid hormones and the cardiovascular system: direct actions of estradiol, progesterone, testosterone, glucocorticoids and mineralocorticoids and soltrial (vitamin D) on central nervous regulatory and peripheral tissues. *Experientia* 1990; 46: 13-25.
10. Harici RC, Bianco A, Alpert JS. Diastolic function of the heart in clinical cardiology. *Arch Intern Med* 1988; 148: 99-109.
11. Voutilainen S, Hippelainen M, Hulkko S, Karppinen K, Ventila M, Kupari M. Left ventricular diastolic function by Doppler echocardiography in reaction to hormonal replacement therapy in healthy postmenopausal women. *Am J Cardiol* 1993; 71: 614-7.
12. Yıldırır A, Yaralı H, Kabacı G, Aybar F, Akgül E, Bükkülmüz O. Hormone replacement therapy to improve left ventricular diastolic functions in healthy postmenopausal women. *Int J Gynecol Obstet* 2000; 75: 273-278.
13. Taşkın O, Gökdenez R, Muderrisoğlu H, Korkmaz ME, Uryan I, Atmaca R, et al. The effect of hormone replacement therapy on echocardiographic basic cardiac function in postmenopausal women. *Hum Reprod* 1998; 13: 2399-2401.
14. Pines A, Fisman EZ, Averbuch M, Eckstein N, Drory Y, Bakshi R, et al. Left ventricular function during a short-term transdermal estradiol therapy in postmenopausal women: a double-blind, placebo-controlled echocardiographic study. *Eur Menopause J* 1996; 3: 53-9.
15. Fak AS, Erenus M, Tezcan H, Caymaz O, Oktay S, Oktay A. Effects of a single dose of oral estrogen on the left ventricular diastolic function in hypertensive postmenopausal women with diastolic dysfunction. *Fertil Steril* 2000; 73: 66-71.
16. Collins P, Rosano GMC, Jiang C, Lindsay D, Sarrel PM, Poole-Wilson PA. Cardiovascular protection by estrogen - a calcium antagonist effect? *Lancet* 1993; 341: 1264-1265.
17. Pines A, Fisman EZ, Levo Y, Averbuck M, Lidor A, Drory Y, et al. The effects of hormone replacement therapy in normal postmenopausal women: measurements of Doppler-derived parameters of aortic flow. *Am J Obstet Gynecol* 1991; 164: 806-12.
18. Gangar KF, Vyas S, Whitehead M, Crook D, Meire H, Campbell S. Pulsatility index in internal carotid artery in relation to transdermal oestradiol and time since menopause. *Lancet* 1991; 338: 839-842.
19. Morano I, Gagelmann M, Arner A, Ganter U, Reugg JC. Myosin isoenzymes of vascular smooth and cardiac muscle in the spontaneously hypertensive and normotensive study. *Circ Res* 1986; 59: 456-62.
20. Malhotra A, Buttrick P, Scheuer J. Effects of sex hormones on development of physiological and pathological cardiac hypertrophy in male and female rats. *Am J Physiol* 1990; 259: 866-71.
21. Pines A, Fisman EZ, Shapira I, Drory Y, Weiss A, Eckteir N, et al. Exercise echocardiography in postmenopausal hormone users with mild systemic hypertension. *Am J Cardiol* 1996; 78: 1385-9.
22. Schilacci G, Verdecchia P, Borgioni G, Giucci A, Porcellati C. Early cardiac changes after menopause. *Hypertension* 1998; 32: 764-9.
23. Kangro T, Henriksen E, Jonasen T, Leppert J, Nilsson H, Sörensen S, et al. Effect of menopause on left ventricular filling in 50 year old women. *Am J Cardiol* 1995; 76: 1093-6.
24. Hardiman P, Nihoyannopoulos P, Kicovic P, Ginsburg J. Cardiovascular effects of org OD14: a new steroid therapy for climacteric symptoms. *Maturitas* 1991; 130: 235-42.
25. Haenggi W, Linder HR, Birkhauser MH, Schneider H. Microscopic findings of the nail-fold capillaries: dependence on menopausal status and hormone replacement therapy. *Maturitas* 22:37-46, 1998.

26. Agrawall R, Prelevic G, Conway GS, et al. Serum vascular endothelial growth factor concentrations in postmenopausal women: the effect of hormone replacement therapy. *Fertil Steril* 2000; 73: 56-60.
27. Prelevic GM, Beljic T, Ginsburg J. The effect of tibolone on cardiac flow in postmenopausal women with non-insulin dependent diabetes mellitus. *Maturitas* 1997; 27: 85-90.
28. Rosano GMC, Sarrel PM, Chierchia SL, Morgagni GL, Donato P, Ermini M, Leonardo F, Sontag G, Beale C, Collins P. Medroxyprogesterone acetate but normal natura progesterone reverses the effect of estradiol 17-beta upon exercise induced myocardial ischemia. A double-blind cross-over study. 8th International Congress on the Menopause, 3-7 November 1996, Sydney, Australia, Abstract Book F126.

KLINİK ÇALIŞMA

İZMİR ATATÜRK EĞİTİM HASTANESİ TIP DERGİSİ 2004, 42 (2): 81-84

Hasan Kamil SUCU
Canan ÇİÇEK
Hamdi BEZİRCİOĞLU
Şevket TEKTAŞ

İzmir Atatürk Eğitim ve Araştırma
Hastanesi, Nöroşirurji Kliniği, İZMİR

ÜST TORAKAL OMURGA GÖVDE LEZYONLARINDA ANTEROLATERAL YAKLAŞIMLA BIOPSİ ALINMASI (TEKNİK NOT)

Anterolateral Approach for the Biopsy Sampling of
the Upper Thoracic Vertebral Body Lesions
(Technical Note)

ÖZET

Üst torakal omurga gövde lezyonlarında biyopsi alınması zorluk içerir. Bu bölge perkut anöz biyopsisi için anterolateral yaklaşımı kullandık. Bilgileri mize göre bu ilk uygulamadır.

Kliniğimizde (Th1-Th2) üst seviye torakal omurga gövde lezyonlu 4 olguya perkutanöz anterolateral girişim uygulanmıştır. Bir vaka hariç diğerlerinde omurga gövdesine ulaşılmıştır. Uygulamaya ait herhangi bir komplikasyon görülmemiştir. Anterolateral yaklaşım üst düzey torakal omurga lezyonlarından biyopsi almak için alternatif bir yol olabilir.

SUMMARY

Biopsy sampling of high level thoracic vertebral body lesions carries some difficulties. We used anterolateral approach for percutaneous biopsy of this region as first time in the literature.

The anterolateral approach for biopsy of high level (Th1, Th2) thoracic vertebral bodies was performed in 4 patients in our clinic. The vertebral bodies could be successfully accessed except one case. There weren't any complications related the procedure.

Anterolateral approach can be an alternative way for the biopsy sampling of high level thoracic vertebral body lesions.

GİRİŞ

Perkutan omurga biyopsisi yaygın kabul görmüş ve çeşitli serilerde etkinliği geniş olarak değerlendirilmiş bir işlemidir (1-4). Bu ortak görüş lomber bölge için mevcut olmakla birlikte torakal bölge için, özellikle de üst torakal bölge için mevcut değildir (5). Bu bölgenin

Yazışma Adresi: Dr. Hasan Kamil SUCU

İzmir Atatürk Eğitim ve Araştırma Hastanesi, Nöroşirurji Kliniği,
İZMİR

risklerinden dolayı Fazzi yarı açık biyopsi önermiştir (5). Biz üst torakal bölge omurga gövde biyopsisi için şimdiden kadar uygulanmış olan posterior yaklaşımlardan farklı olarak anterolateral yaklaşımı 4 olguda uyguladık.

GEREC VE YÖNTEM

Üst bölge torakal omurga gövde biyopsisi için 4 olguda (3 T1, 1 T2) anterolateral yaklaşımı uyguladık. İşlemler Kasım 2002 ile Ocak 2003 tarihleri arasında yapıldı. Olguların genel özellikleri Tablo 1'de verilmiştir. Üç olguda hedeflenen omurgaya ulaşıp parça almak mümkün olurken (Resim 1, 2 ve 3); 1 olguda hedeflenen omurgaya ulaşılmadı (Olgu 4). Tüm işlemler aynı cerrah (HKS) tarafından uygulandı.

Teknik: Hasta BT masasına süpin pozisyonda yatırılır. Jhamshidi tipi 11 gauge, 10 santimetre uzunluğundaki biyopsi iğnesini sağ taraftan sokarken hastanın başı sola çevrilir. 3-4 cc lokal anestezik enjek-

sionundan sonra sternokleidomastoid kas sol elle laterale çekilirken biyopsi iğnesi sokulur ve sternokleidomastoid kas ile strap kaslar arasından ilerletilir. Giriş noktası vertikal eksende thyroid ve cricoid kıkırdaqlar arasıdır. İğnenin ilerletilmesine üst torakal omurga gövdesinin anterior yüzeyini hissedene kadar devam edilir. Sonra iğne omurga gövdesinin anterior bölümüne hafifçe sokulur ve mesafe kontrolü içir BT kesitleri alınır. Eğer gerekliyse, iğne ucunun pozisyonu medial-lateral yönde ve kranio-kaudal yönde değiştirilir. İğne bir kez omurga gövdesinin anterior yüzeyini delince spinal kanala uğramadan tüm gövdeyi oblik olarak geçebilir (Resim 1). Torakal 2. omurga düzeyinin altında büyük damarların yakını-



(a)



(b)



(c)

Resim 1. 1 nolu olgunun biyopsi işlemi sırasında aksiyel BT kesitleri;

- a- Jhamshidi biyopsi iğnesinin C7 vertebral seviyesinde cilde girişi görülmüyor. C7 vertebrasının anteriorunda C6 omurga gövdesinin anterior-inferior parçası görülmekte
- b- İğne C6 vertebrasının en alt kaudal kısmına batmaya başlıyor. Aynı kesitte hem C6 en inferior parçası, hem C6-C7 diski he de C7 omurga gövdesi görülmektedir.
- c- İğnenin ucu T1 vertebral gövdesinin içinde sol tarafa görülmektedir.

Tablo 1. Üst torakal omurga gövdelerinden biyopsi materyali alınması için anterolateral yaklaşım uygulanan olgular.

No	Yaş	Cins	Biyopsi Seviyesi	Biyopsi Teşhisı	Son Teşhis
1	67	Erkek	T1	Normal	Normal (Hastanın 8 aylık kontrolu vardi)
2	56	Erkek	T2-3	Metastas	Metastas
3	73	Kadın	T1	Normal	? (Hastanın takipleri yapılamadı)
4	56	Erkek	T1	Parça alınamadı	Normal (Hastanın 6 aylık kontrolu vardi)



(a)



(b)

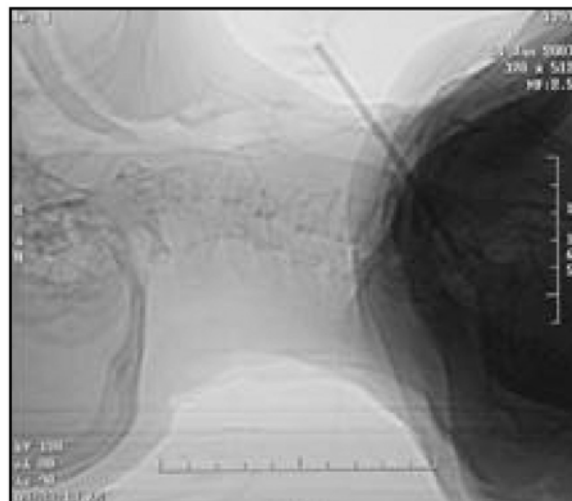
Resim 2. 1 nolu olgunun biyopsi işlemi sırasında aksiyel BT kesitlerinin rekonstrüksiyonu

- a- 3 boyutlu rekonstrüksiyon, sağ tarafdan görünüş
- b- Sagittal rekonstrüksiyon

lığı yüzünden bu yöntemin uygulanması tehlikeli olmasına karşın, iğnenin kaudale doğru yönlendirilmesi dolayısıyla bir batırma ile birden fazla omurga gövdesinden parça almak mümkün olabilir (Olgu 2 de olduğu gibi). Doğru pozisyonu elde ettikten sonra iğnenin stilesi çıkarılır ve dış kanül ilerletilir. Daha sonra gerekli doku örneği bu iğne aracılığı ile alınır.

BULGULAR

Dört nolu olgu daha önce tiroid hastalığı nedeniyle opere edilmiş olup, yapışıklıklardan dolayı T1 omurga gövdesinin ön yüzeyi biyopsi iğnesinin ucu ile hissedilememiş ve bu yüzden omurga gövdesine girilememiştir. Tablo 1'de omurga gövdesinden biyopsi alınan diğer 3 olgunun sonuçları sıralanmış-



Resim 3. 3 nolu olgunun biyopsi işlemi sırasında lateral scout görüntüsü.

tir. İşlemler sırasında herhangi bir komplikasyon gelişmemiştir, işlem tüm hastalar tarafından iyi toler edilmiştir.

TARTIŞMA

Posterior mediastenium, büyük arterler ve venler, plevra gibi vital yapılara yakınlık nedeniyle üst torakal bölgenin perkütan biyopsisi omurganın diğer bölgelerine göre daha tartışmalıdır. Bu yapıların yanı sıra özefagus ve torasik duct da torakal biyopsi sırasında potansiyel olarak risk altındadır. Torakal omurgaların lomber omurgalara göre küçüklüğü bu riski daha da büyütür. 1955'de Ottolenghi T9 seviyesinin üstünde perkütan biyopsi yapılmamasını vurgulamıştır (6). Benzer olarak Evarts parietal plevra, azgous ve hemiazygos venleri ve inen aorta gibi komşu yapıların önemli derecede hasarlanma riski olduğundan dolayı perkütan biyopsinin T1 ile T9 arasında uygun olmadığını ileri sürmüştür (7). Bunun

yanında birçok yazar da torakal omurga gövdelerinin perkütan biyopsisini savunmuşlardır (1,8,9).

Torakal bölgede posterolateral yaklaşımı kullanan ve komplikasyon oranı "0" olan bazı omurga biyopsi serileri vardır (1,9,10). Diğer taraftan Fyfe kendi serisinde torakal ve lomber omurgalar için total olarak komplikasyon oranını %20'nin üzerinde bildirmiştir (4). Lezyonun omurga gövdesinin anteriorunda veya merkezinde olması durumunda, posterolateral yönteme paraspinal hematom, pnömotoraks, veya nöropati riski daha yüksektir (11). Bütün bu riskler alternatif biyopsi tekniklerinin geliştirilmesini teşvik etmiştir. 1990'da Brugieres torakal omurga biyopsisi için transcostovertebral yöntemi bildirmiştir (12). 1991'de Renfrew transpediküler yöntemi tanımlamıştır (13). Son olarak yazar 2003 yılında transforamino-diskal yaklaşımı bildirmiştir (14).

Bilgilerimize göre üst torakal omurga gövde biyopsisi için ilk kez anterolateral yaklaşımı kullandık.

Kuşkusuz ki 4 olgu bu yöntemin yararlılığını ve risklerini değerlendirmek için yeterli değildir. Vurgulamak istediğimiz özellikle lezyon omurga gövdesinin anterior bölümünde ise üst seviye (T1 ve T2) torakal omurga biyopsileri için bu yöntemin alternatif bir metot olabileceğidir. Bu metot eğer hastanın boynu uzun ise veya üst torakal omurga gövdelerinin yükseklikleri çökme dolayısıyla azalmış ve bundan dolayı iğnenin giriş noktası ile hedef omurga gövdesi arasındaki mesafe kısalmış ise (2 nolu olgumuzda olduğu gibi) kullanılmalıdır. Şişmanlık, kısa boyun ve önceden geçirilmiş operasyona bağlı olarak anterior servikal bölgedeki yapışıklıklar (4 nolu olgumuzda olduğu gibi) bu yöntemin değerlendirilmesindeki negatif faktörlerdir.

KAYNAKLAR

- Ottolenghi CE. Aspiration biopsy of the spine. Technique for the thoracic spine and results of twenty-eight biopsies in this region and over-all results of 1050 biopsies of other spinal segments. *J Bone Joint Surg Am* 1969; 51-A: 1531-44.
- Stoker DJ, Kissin CM. Percutaneous vertebral biopsy: a review of 135 cases. *Clin Radiol* 1985; 36: 569-77.
- Kornblum MB, Wesolowski DP, Fischgrund JS, Herkowitz HN. Computed tomography-guided biopsy of the spine. A review of 103 patients. *Spine* 1998; 23: 81-5.
- Fyfe IS, Henry AP, Mulholland RC. Closed vertebral biopsy. *J Bone Joint Surg Br* 1983; 65: 140-3.
- Fazzi UG, Waddell G. Semi-open needle biopsy of the upper thoracic spine. *Spine*, 1994; 19:1395-6.
- Ottolenghi CE. Diagnosis of Orthopaedic Lesions by Aspiration Biopsy. Results of 1061 Punctures. *J Bone and Joint Surg* 1955; 37-A: 443-464.
- Evarts CM. Diagnostic techniques: closed biopsy of bone. *Clin Orthop* 1975; 107: 100-11.
- Donaldson WF, Johnson DW. Percutaneous biopsy of the thoracic spine. *Neurosurg Clin N Am* Jan 1996; 7: 135-44.
- Laredo JD, Bard M: Thoracic spine: Percutaneous trephine biopsy. *Radiology* 1986; 160: 485-9.
- Babu NV, Titus VT, Chittaranjan S, Abraham G, Prem H, et al. Computed tomographically guided biopsy of the spine. *Spine* 1994; 19: 2436-42.
- Jelinek JS, Kransdorf MJ, Gray R, Aboulafia AJ, Malawer MM. Percutaneous transpedicular biopsy of vertebral body lesions. *Spine* 1996; 21: 2035-40.
- Brugieres P, Gaston A, Heran F, Voisin MC, Marsault C. Percutaneous biopsies of the thoracic spine under CT guidance: transcostovertebral approach. *J Comput Assist Tomogr* 1990; 14: 446-8.
- Renfrew DL, Whitten CG, Wiese JA, el_Khoury GY, Harris KG. CT-guided percutaneous transpedicular biopsy of the spine. *Radiology* 1991; 180: 574-6.14: 446-8.
- Sucu HK, Bezircioglu H, Çiçek C, Ersahin Y. CT-Guided Percutaneous Transforamino-Diskal Biopsy of Vertebra Body Lesions. *J Neurosurg* 2003; 99: 1 Suppl 51-5.

KLİNİK ÇALIŞMA

İZMİR ATATÜRK EĞİTİM HASTANESİ TIP DERGİSİ 2004, 42 (2): 85-91

Levent KARCI
Leylant OVA DEMİRTAŞ
Ali BALOĞLU
Umur YENSEL
Zeynep KIRIŞ

Atatürk Eğitim ve Araştırma
Hastanesi, 1. Kadın Hastalıkları ve
Doğum Kliniği, İZMİR

SERVİKSİN PREKANSEROZ VE KANSEROZ LEZYONLARININ DEĞERLENDİRİLMESİNDEN SERVİKOVAJİNAL PAP SMEAR, KOLPOSKOPI VE BİOPSİ SONUÇLARININ RANDOMİZE KONTROLLÜ KARŞILAŞTIRILMASI

The Randomized-Controlled Comparison of the
Results of Cervicovaginal Pap Smear, Colposcopy
and Biopsy in Discrimination of Premalign and
Malign Lesions of Cervix

ÖZET

Bu çalışma daki amacımız serviks'in premalign ve malign lezyonlarının tanısında servikovajinal pap smear, kolposkopik gözlem ve servikal biopsi sonuçlarının gözden geçirilmesi ve üç yöntemin karşılaştırılması ile kolposkopik ve pap smearin güvenilirliğini değerlendirmektir. İzmir Atatürk Eğitim ve Araştırma Hastanesi 1. Kadın Hastalıkları ve Doğum Kliniği'ne çeşitli yakınmalarla başvuran 126 kadın çalışmaya dahil edildi. Her hastadan servikovajinal smear alındı, kolposkopik ve servikal biopsi alındı. Olguların 96'sında histopatolojik bulgular normaldi. 21 olgu LGSIL (Low Grade Servikal İntraepitelial Lezyon), 6 olgu HGSIL (High Grade Servikal İntraepitelial Lezyon), 3 olgu Epidermoid Karsinom olarak değerlendirildi. Servikal premalign ve malign lezyonların teşhisinde pap smearin sensitivitesi %53.33, spesifitesi %98.96, kolposkopinin sensitivitesi %96.66, spesifitesi %100 olarak saptandı. Bu çalışmadan servikovajinal smearin premalign servikal lezyonların taramasında tek başına yeterli olmadığı ve kolposkopinin tam değerinin daha yüksek olduğu sonucu çıkarılabilir. Tarama testi olarak sadece pap smear kullanılmaksa sonuçlar yanlış negatifliğin yüksek olduğu hatırlanarak yorumlanmalı ve cinsel olarak aktif kadınlardan yılda bir kez smear alınmalıdır, servikal neoplaziler için yüksek risk taşıyan kadınlara smear ve kolposkopik birlikte uygulanmalıdır.

SUMMARY

In this study we aimed to review the results of cervicovaginal pap smear, colposcopic examination and cervical biopsy and to compare these three methods with the evaluation of the reliability of colposcopy and pap smear in the discrimination of premalign and malign lesions of cervix. A total of 126 women

Key Words:

Cervicovaginal pap smear,
colposcopy, cervical biopsy

Yazışma Adresi: Dr. Leylant OVA

Atatürk Eğitim ve Araştırma Hastanesi 1. Kadın Hastalıkları ve
Doğum Kliniği, İZMİR

Tel: (0.232) 244 44 44 / 2238 Cep: (0.532) 227 99 89 - (0.505) 221 19 76
E-mail: leyulant@hotmail.com

presented in Izmir Atatürk Training and Research Hospital 1st Gynaecology and Obstetrics Department with several complaints were included into our study. Cervicovaginal smear, colposcopic examination and cervical biopsy were performed on each woman. Histopathologic findings in 96 of the cases were in normal range. The histopathological findings of 21 cases revealed LGSIL (low grade cervical intraepithelial lesion) and HGSIL (high grade cervical intraepithelial lesion) in 6 cases and epidermoid carcinoma in 3 cases. Pap smear had a sensitivity and specificity of 53.33% and 98.96% respectively and colposcopic examination had a sensitivity and specificity of 96.66% and 100% respectively in the discrimination of cervical premalign and malign lesions. It can be deduced from this study that cervicovaginal smear alone is not sufficient in the screening the cervical lesions and colposcopic examination has a higher diagnostic value. As a screening test if only pap smear will be used, the results should be interpreted as considering high false-negative results. A smear should be obtained once a year in sexually active women; smear and colposcopy should be performed together in women with a higher risk for cervical neoplasms.

GİRİŞ

İnvaziv serviks karsinomu son yıllarda kadar kadın genital kanşerleri içinde en sık görülen kanser iken geliştirilen erken tanı yöntemlerinin kullanıma girmesi ve yaygınlaşması ile ikinci sırayı almıştır. Ancak hala dünyada her yıl 465.000 kadın serviks kanserine yakalanmakta ve 200.000'in üzerinde kadın bu hastalıktan yaşamını yitirmektedir (1).

Bilindiği gibi serviks kanseri aniden ortaya çıkmakta, kişisel farklılıklarla birlikte belirli bir zaman süreci sonunda preinvaziv lezyonların ilerlemesi sonucunda oluşmaktadır. Serviks kanserinin öncü lezyonları olduğu düşünülen servikal intraepitelial neoplaziler (CIN) en sık 20-34 yaş grubunda, karsinoma in situ 25-40 yaş grubunda görülmektedir. İnvaziv serviks kanseri ise 50-59 yaş grubunda görülmektedir (2,3).

Servikal intraepitelial neoplaziler servikal epitelin tutulan kalınlığına göre CIN I, CIN II, CIN III ve karsinoma in situ olarak sınıflandırılırlar. Servikal intraepitelial neoplazilerin çoğu spontan veya tedavi ile gerileyebilmekte ise de bu lezyonların invaziv karsinoma dönüşebilecekleri unutulmamalıdır (4,5).

Servikal intraepitelial neoplaziler genellikle asemptomatik olup spesifik tanı yöntemleri ile yüksek bir başarı oranı ile tanınabilmekte ve bu dönemde uygu-

lanacak tedaviler ile yüksek başarı oranları sağlanabilmektedir. Servikal malign ve premalign lezyonların erken tanısı için birçok yöntem geliştirilmiştir PAP test, kolposkopi ve biopsi, servikografi bunlar arasında en sık kullanılanlardır. Erken tanı koymalar bu lezyonların tedavisi lezyonun derecesine göre izlem, krioterapi, lazer, loop elektrocerrahi eksizyon konizasyon ve histerektomi seçeneklerinden biris olabilmektedir (6-8).

Servikal sitolojik incelemeler ile servikste mevcut lezyonun tam ve tartışılmaz göstergesi olan histopatolojik değişiklik hakkında tahmin yürütülmeye çalışılmaktadır. Bu tahminlerdeki doğruluk oran giderek artmaktadır. Pap smear testi kolay uygulanabilir ve ekonomik olması nedeni ile sık kullanılır bir sitolojik tarama testidir. Ancak yalancı negatiflik oranı %10-35 arasındadır. Bu oran alınan smearin seröz veya seropürülen akıntı ile bulaşması halinde %50'ye kadar varabilmektedir (9,10). Sitolojik inceleme mevcut hastalığın en son kanıtı değildir. Sito lojinin görevi diğer basamakların yanı hasta içir yapılması gereken klinik ve labaratuvar işlemlerinin mümkün olduğunda tartışılmaz biçimde oluşmasını sağlamaktır (11).

Pap smearin yanlış pozitiflik ve yanlış negatiflik oranlarının yüksek oluşu bu yöntemin daha çok tarama amacıyla kullanılmasına yol açmış ve serviks

karsinomu tanısında daha kesin bir tanı yönteminin gerekliliğini ortaya koymustur. Kör olarak alınacak servikal biopsilerin küçük lezyonları kaçırma tehlikesi olup kolposkop ile anormal alanların ve diğer yöntemlerle gözden kaçabilecek lezyonların direkt olarak görülebilmesi ve biopsi alınması ve histopatolojik tanı mümkün olabilmektedir (12,13).

Bu çalışmadaki amacımız serviksin premalign ve malign lezyonlarının tanısında servikovajinal pap smear, kolposkopik gözlem ve biopsi sonuçlarının gözden geçirilmesi ve üç yöntemin karşılaştırılması ile kolposkopi ve pap smearin güvenilirliğini değerlendirmektir.

GEREÇ VE YÖNTEM

Izmir Atatürk Eğitim ve Araştırma Hastanesi I. Kadın Hastalıkları ve Doğum Kliniği'ne çeşitli yakınlımlarla başvuran 126 kadın çalışmaya dahil edildi. Her hastadan servikovajinal pap smear alındı. Smear örnekleri %70'lik alkol ile fiks edildi ve hastanemiz patoloji bölümünde aynı sitolog tarafından incelendi. Değerlendirmede Bethesda sistemi kullanıldı. Human Papillamo Virüse bağlı koilositotik atipi ve CIN 1 lezyonları LGSIL (Low Grade Servikal İntraepitelial Lezyon), CIN II, CIN III ve Carsinoma insitu olguları HGSIL (High Grade Servikal İntraepitelial Lezyon) olarak tanımlandı.

Bir hafta sonra tüm hastalar kolposkopi ile değerlendirildi ve her hastadan servikal biopsi alındı. Wallach Zoomscope Kolposkopi cihazı kullanıldı. Klasik kolposkopi tekniği uygulandı. Vajene spekulum yerleştirildikten sonra üst vajina ve serviks gidererek artan büyütme ile incelendi, mukus fazlalığı mukoza zarar verilmeden kuru pamuk yardımıyla alındı. İlk incelemeden sonra %3' lük asetik asit solusyonu portioya uygulanıp 60-90 sn beklandı, acetowhite alanlar değerlendirildi. Daha sonra schiller solusyonu uygulanarak değerlendirme yapıldı. Tüm bu incelemeler aynı kişi tarafından yapıldı. İnceleme sırasında anormal kolposkopik bulgular kaydedildi. Lezyonun renk, sınır, damarlanması ve iyot tutma özellikleri kaydedilerek Reid kolposkopik indeksinde yorumlandı ve kolposkopik skorlama yapıldı. Skor 0-2: HPV veya CIN I, 3-5: CIN I veya CIN II, 6-8: CIN II veya CIN III lehine yorumlandı. Şüpeli

alanlardan biopsi alındı. Histopatolojik inceleme hastanemiz patoloji bölümünde yapıldı.

Çalışmaya katılan tüm olgular ilk cinsel ilişki yaşı sigara kullanımı, pariteleri, cinsel partner sayıları kullandıkları kontraseptif yöntem yönünden sorgulandılar ve veriler kaydedildi. Herhangi bir nedenle radyoterapi veya kemoterapi alan hastalar çalışmaya alınmadı. Yapılan tüm müdahaleler öncesi hastalar dan yazılı izin alındı.

Veriler SPSS 11 for Windows programında değerlendirildi. Olguların yaş, parite, partner sayısı ve ilk cinsel ilişki yaşı gibi parametreleri Independent Samples t Test ile karşılaştırıldı. Diğer karşılaştırmalarda Ki-Kare testi kullanıldı. P<0.05 istatistiksel olarak anlamlı kabul edildi.

BULGULAR

Calışmaya alınan 126 olgudan 30'unda biopsi sonuçları LGSIL (n= 21), HGSIL (n= 6) ve Epidermoid Carsinom (n=3) olarak saptandı. 30 olgudan oluşan bu grup istatistiksel karşılaştırmalarda kullanılmak üzere hasta grubu olarak adlandırıldı. Biopsi sonuçları normal saptanan 96 olgu ise sağlıklı grup olarak adlandırıldı.

Çalışmaya alınan 126 olgunun ortalama yaşları 33.12 ± 10.36 idi. Ortalama yaş sağlıklı grubupta 30.96 ± 8.93 , hasta grubunda 40.07 ± 11.69 olarak saptandı ve hasta grubunda anlamlı olarak daha yükseltti ($p < 0.05$). Olguların ortalama yaşları LGSIL grubunda 36.14 ± 10.51 , HGSIL grubunda 47.60 ± 10.04 , Epidermoid carsinom grubunda 51.25 ± 9.03 idi.

Ortalama parite sağlıklı grupta 1.49 ± 0.97 , hasta grubunda 2.17 ± 1.05 idi. Hasta grubunun paritesi sağlıklı gruptan anlamlı olarak daha yükseltti ($p < 0.05$).

Cinsel partner sayısı sağlıklı grupta ve hasta grubunda sırasıyla 1.13 ± 0.42 ve 1.23 ± 0.63 , ilk cinsel ilişkii yaşı da sırasıyla 22.68 ± 3.77 ve 21.27 ± 3.44 olarak saptandı. Partner sayısı ve ilk cinsel ilişki yaşı bakı mindan iki grup arasında istatistiksel olarak anlamlı fark bulunmadı ($p > 0.05$). Yaş, parite, partner sayısı ve ilk cinsel ilişki yaşı ile ilgili veriler Tablo 1'de özetlendi. Servikal lezyonların yaş dağılımı Tablo 2'de gösterildi.

Tablo 1. Olguların yaşı, parite, partner sayısı ve ilk cinsel ilişki yaşlarının değerlendirilmesi.

	Biopsi Sonucu	Minimum	Maksimum	Ortalama ± SD	P
Yaş	Sağlıklı	17	60	30.96 ± 8.93	<0.05
	Hasta	20	63	40.07 ± 11.69	
Parite	Sağlıklı	0	5	1.49 ± 0.97	<0.05
	Hasta	0	4	2.17 ± 1.05	
Partner	Sağlıklı	1	3	1.13 ± 0.42	>0.05
	Hasta	1	4	1.23 ± 0.63	
İlk cinsel ilişki yaşı	Sağlıklı	15	36	22.68 ± 3.77	>0.05
	Hasta	16	30	21.27 ± 3.44	

Tablo 2. Servikal lezyonun tipine göre yaş ortalamaları.

Yaş	P
LGSIL	35.13 ± 8.04
HGSIL	43.58 ± 13.37
Epidermoid karsinom	50.67 ± 10.97

Hasta grubunda olguların %11'i, kontrol grubunda ise %22'si sigara içiyordu. İki grup arasında anlamlı istatistiksel fark saptanmadı ($p>0.05$). Bulgular Tablo 3'de özetlendi.

Kullanılan kontraseptif yöntem bakımından olgular değerlendirildi. Sağlıklı grupta olguların %7'si herhangibir kontraseptif yöntem kullanmıyordu. Bu oran hasta grubunda %20 idi. Heriki grupta kontraseptif yöntemlerin dağılımı Tablo 4'de özetlendi. Sağlıklı grupta olguların %30.2'sinin Oral kontraseptif (OKS) kullandığı ve bu oranın hasta grubunda %6.7 olduğu dikkati çekmekteydi. OKS kullanımı sağlıklı grupta anlamlı olarak daha yükseltti ($p<0.05$). RIA kullanımı açısından iki grup arasında anlamlı farklılık saptanmadı ($p>0.05$). Kondom ve diğer bariyer yöntemlerin kullanım oranı sağlıklı grupta %9.4 ile hasta grubundan (%3.3) anlamlı olarak daha yüksek saptandı ($p<0.05$). Kullanılan kontraseptif yöntemlerin dağılımı Tablo 4'de gösterildi.

Biopsi sonuçlarının dağılımı Tablo 5'de özetlendi. LGSIL'in hasta grubundaki olguların %70'ni oluşturduğu ve bu yüksek oranın istatistiksel olarak anlamlı olduğu belirlendi ($p<0.05$).

126 olgudan biopsi sonuçları servikal premalign veya malign lezyonu işaret eden 30 olgunun servikovajinal pap smear sonuçları değerlendirildiğinde 14

Tablo 3. Olguların sigara içme oranları.

Biopsi sonucu	Sağlıklı		Hasta		P
	N	%	N	%	
Sigara	İçmiyor	74	77.1	19	63.3
	İçiyor	22	22.9	11	36.7

Tablo 4. Olguların kullandıkları kontraseptif yöntemler.

Konrtasepsyon	Takvim yöntemi, koitus interruptus	Normal		Patolojik	
		N	%	N	%
OKS		29	30.2	2	6.7
RIA		37	38.5	9	30
Tubal sterilizasyon		9	9.4	3	10
Kondom, bariyer		9	9.4	1	3.3
Diğer (vazektomi, implant, depo enjeksiyonlar vs.)		5	5.2	9	30

Tablo 5. Biopsi sonuçlarının dağılımı.

Biopsi sonuçları	N	%	P
LGSIL	21	70	<0.05
HGSIL	6	20	
Epidermoid Carsinom	3	10	

olgunun hatalı olarak negatif tanı aldığı belirlendi. Bir olgunun ise hatalı olarak LGSIL olarak tanı aldığı tespit edildi. Pap smear ile yanlış negatif ve yanlış pozitif tanı alan hastaların dağılımları ve biopsi sonuçları Tablo 6'da özetlendi. Smear ile yanlış negatif tanı alan hastaların dağılımına bakıldığından 13 olgunun LGSIL (%92.8), 1 olgunun HGSIL (%7.2)

Tablo 6. Servikal biopsi ile servikovajinal pap smear sonuçlarının karşılaştırılması.

Biopsi sonuçları	Pap smear sonuçları
LGSIL (n=21)	LGSIL (n=8) Enflamasyon (n=2) (yanlış negatif) Enfeksiyon (n=6) (yanlış negatif) Atrofi (n=1) (yanlış negatif) Normal (4) (yanlış negatif)
HGSIL (n=6)	HGSIL (n=5) Atrofi (n=1) (yanlış negatif)
Epidermoid Karsinom (n=3)	Epidermoid karsinom (n=3)
Normal	LGSIL (n=1) (yanlış pozitif)

olduğu tespit edildi. Smear ile yanlış pozitif tanı (LGSIL) alan 1 olgunun biopsi sonucu normal olarak değerlendirildi. Servikal premalign ve malign lezyonların tanısında pap smearin sensitivitesi %53.33, spesifitesi %98.96, pozitif prediktivitesi %94.11, negatif prediktivitesi %87.15 bulundu. Yanlış pozitiflik %1.04, yanlış negatiflik %46.6 idi. Biopsi sonucu malign olan hiçbir olguya pap smear ile yanlış tanı konmadı. LGSIL tanısında smear'in sensitivitesi %38.09, spesifitesi %99.04, pozitif prediktivitesi %88.88, negatif prediktivitesi %88.88, yalancı pozitifliği %0, yalancı negatifliği %61.90 olarak belirlendi. HGSIL tanısı için aynı oranlar sırası ile %83.3, %100, %100, %99.17, %0, %16.6 olarak belirlendi.

Kolposkopi sonuçları değerlendirildiğinde hasta olguların 29'una doğru tanı koyulduğu görüldü. Serviksin premalign ve malign lezyonlarının tanısında kolposkopinin sensitivitesi %96.66, spesifitesi %100, pozitif prediktivitesi %100, negatif prediktivitesi %98.97 bulundu. Kolposkopinin yanlış negatiflik oranı %3.33 olarak belirlendi, yanlış pozitif tanı konmadı.

Tablo 7. Servikal biopsi ile kolposkopik bulguların karşılaştırılması

Biopsi sonuçları	Kolposkopi sonuçları
LGSIL (n =21)	Normal olan olgu sayısı = 0 LGSIL düşünülen olgu sayısı = 21
HGSIL (n =6)	Normal olan olgu sayısı = 1 HGSIL düşünülen olgu sayısı = 5
Epidermoid Karsinom (n =3)	Normal olan olgu sayısı = 0 Epidermoid Karsinom düşünülen olgu sayısı= 3
Normal (n = 96)	Normal olan olgu sayısı = 96

Yanlış negatif tanı konan olgunun histopatolojik tanısı HGSIL idi. Kolposkopi ile malign lezyonların tanısında hatalı sonuç elde edilmedi. LGSIL tanısında kolposkopinin sensitivite, spesifite, pozitif prediktivite ve negatif prediktivitesi %100 olarak hesaplandı. HGSIL tanısı için bu değerler sırası ile %83.33, %100, %100, %99.17 idi. Olguların kolposkopi sonuçları ile biopsi sonuçlarının karşılaştırılması Tablo 7'de özetlendi.

TARTIŞMA

Bılındığı gibi serviksin premalign lezyonları 20-34 yaş gruplarında görülmektedir. Serviks karsinomu ise 50-59 yaş grubunda görülmekte, bu durum serviks karsinomunun premalign lezyonların ilerlemesi sonucu oluştuğunu düşündürmektedir (2,3). Çalışmamız sonucunda elde ettigimiz veriler Servikal İtraepitelial Neoplazilerin derecesi arttıkça hasta yaşıının da arttığını göstermiştir. Bu veriler literatürü destekler niteliktedir.

İlk cinsel ilişki yaşıının 20'nin altında olması premalign ve malign servikal lezyonlar için majör risk faktörlerinden birisidir (14). Çalışmamızda premalign ve malign servikal lezyon tespit edilen olguların ilk cinsel ilişki yaşları sağlıklı gruptan anlamlı olarak farklı değildi. Bu veriler klasik bilgileri desteklenitikte değildir, ancak bu durum çalışma grubumuzun sınırlı sayıda hastadan oluşmasına bağlanabilir.

Multiparlarda serviksin premalign ve malign lezyonları için riskin arttığını bildiren çalışmalar bulunmaktadır (15). Çalışmamızda ise hasta grubunda paritenin sağlıklı gruptan anlamlı olarak farklı olmadığına saptanmış olması bu görüşü desteklememektedir.

Oral kontraseptif (OKS) kullanımının özellikle Serviks Adenokanserleri için risk faktörü olabileceğin belirten yayınlar yanı sıra koruyucu rolü olduğunu bildiren çalışmalar da bulunmaktadır (16,17). Baz araştırmacılar ise bu grubta kontrol sıklığının fazla olması nedeni ile servikal intraepitelial lezyonları daha sık yakalandığını bildirmektedir (18). Çalışmamızda hasta grubunda OKS kullanımı %6.7, sağlıklı grupta ise %30.2'dir. Bu sonuç OKS kullanımının risk faktörü olmadığı görüşünü destekler niteliktedir. Kondom ve diafragm gibi bariyer yöntemler ile servikal premalign ve malign lezyonların azaldığı, RIA

kullanımı ile riskin arttığı bildirilmektedir (1,19,20). Hasta grubunda kondom kullanma oranının düşük (%3.3) olması ise kondomun servikal premalign ve malign lezyonların gelişmesinde koruyucu rol oynayabileceği görüşünü desteklemektedir. Çalışmamızda hasta grubu ile sağlıklı grup arasında RIA kullanımını arasında farkın olmaması ise dikkat çekicidir.

Sigara içmenin de servikal premalign ve malign lezyonlarda cinsel yaşamdan bağımsız risk faktörü olduğu bildirilmektedir (21). Ancak çalışmamızın sonuçları servikal intraepitelial lezyonu olanlarda sigara içme oranının sağlıklı gruptan anlamlı olarak farklı olmadığını göstermektedir.

Servikal premalign ve malign lezyonların erken teşhisinde katkısı büyük olan pap smear işleminin doğru teknikle yapılması halinde yalancı negatiflik oranı %10-33'dir (22). Çalışmamızda pap smear'in yalancı negatiflik oranı %46.6 olarak belirlendi. Pap smearin sensitivitesi %53.33, spesifitesi %98.96, pozitif prediktivitesi %94.11, negatif prediktivitesi %87.15 bulundu. Pap smearin yalancı negatif sonuçlarının yüksek olmasının sebebi smear alma tekniğinden değerlendirilmesine kadar geçen aşamalarda hatalara bağlı olabilir. Ancak yanlış negatif sonuçların büyük bir bölümü (%92.8) LGSIL yani erken lezyonlara aittir. Yapılmış olan bazı çalışmalar da pap smearin servikal intraepitelial lezyonların nacık %17'sini yakaladığı, bazı çalışmalar da sensitivitesinin %70, yanlış negatifliğinin %30 olduğu bildirilmektedir. Bu çalışmalar ayrıca pap smear sensitivitesinin LGSIL'de %61.2, HGSIL'de %88.5 olduğunu belirtmektedir (23,24). Çalışmamızda smearin sensitivitesi LGSIL için %38.09, HGSIL için %83.3 olarak belirlendi. Bu sonuçlar yüksek grade'li lezyonların tanısında smearin güvenilirliğinin daha yüksek olduğunu, yalancı negatif tanı koymulan hastaların büyük oranının düşük gradeli olgular olduğunu göstermektedir.

Pap smear, kolposkopi ve biopsinin karşılaştırıldığı pek çok çalışma yapılmıştır. Bu çalışmalar servikal premalign ve malign lezyonların tanısında kolposkopinin sensitivite ve spesifitesinin pap smearden çok daha yüksek olduğunu ortaya koymuştur ve bu

çalışmalarda kolposkopi sensitivite ve spesifites %92 ve %97 olarak bildirilmiştir (23,24). Çalışmamızda kolposkopinin sensitivitesi %96.7, spesifites %100 olarak saptandı. Kolposkopi, biopsi ve smear karışılaştırıldığı bir çalışmada ise pap smear sonuçlarının kolposkopi ve biopsi ile yüksek oranda uyumlu olduğu belirtilmektedir (25). Gonzalez ve ark.larının yapmış olduğu bu çalışmada smear ile kolposkopi ve biopsi sonuçlarının LGSIL'de %98.5, HGSIL'de ise %100 korele olduğu belirtilmiştir.

Pap smear ile ilgili bu farklı sonuçlar smear alınmasından değerlendirilmesine kadar geçen aşamalardaki hatalara bağlı olabilir. Sonuç olarak kolposkopinin tanı değerinin pap smear'e göre daha yüksek olduğunu söyleyebiliriz ancak maliyetinin yüksek oluşu ve poliklinik koşullarında rutin olarak uygulanmasının zorluğu smear kadar yaygın kullanımın kısıtlamaktadır. Pap smearin yanlış negatif tanılarının erken lezyonlara ait olması da bir tarama testi olarak geçerliliğini koruyabileceğini göstermektedir. Pap smear premalign servikal lezyonların taramasında tek başına yeterli değildir. Smearin yetersiz olduğu hallerde kolposkopi kullanılarak yüksek tanı değerlere ulaşılabilir. Smear, kolposkopi ve biopsi birbirine rakip tanı yöntemleri değil, birbirini tamamlayan tetkiklerdir. Sitolojik inceleme mevcut hastalığın en son kanıtı değildir. Sitolojinin görevi diğer basamakların yanı hasta için yapılması gereken klinik ve labaratuvar işlemlerin mümkün olduğunda tartışılmaz biçimde olmasını sağlamaktır (11).

Sonuç olarak, tarama testi olarak sadece pap smear kullanılacaksa yanlış negatifliğin yüksek olduğu hatırlanarak yorumlanması gereği ve cinsel olarak aktif kadınlardan yılda bir kez smear alınması gerektiği söylenebilir.

KAYNAKLAR

1. Armstrong BK, Munoz N, Bosch FX. Epidemiology of cancer of the cervix. In: Cappleson M (ed), Gynecologic Oncology Second Edition, Volume 1, Churchill Livingstone, Edinburgh London 11, 1992.
2. Petterson F (ed). Annual report on the results of treatment in gynecologic cancer. 22 Volume Stockholm, 1994.
3. Schmidt Matthiesen H, Kühle H. Paenoplasi und Neoplasien der Cervix Uteri. Klinik der Frauenheilkunde und

- Geburtshilfe, Band 11, Urban und Schwarzenberg, München, 3: 129, 1991.
4. Richart RM. Natural history of cervical intraepithelial neoplasia. *Clin Obstet Gynecol* 1968; 10: 748.
 5. Nasiell K, Roger V, Nasiell M. Behavior of mild cervical dysplasia during long-term follow-up. *Obstet Gynecol* 1986; 5: 665-9.
 6. Benedet JL, Miller DM, Nickerson KG. Results of conservative management of cervical intraepithelial neoplasia. *Obstet Gynecol* 1992; 79: 10-11.
 7. Anderson ES, Thorup K, Larsen G. Results of cryosurgery for cervical intraepithelial neoplasia. *Gynecol Oncol* 1988; 30: 21-5.
 8. Murdoch JB, Grimshaw RN, Monaghan JM. Loop diathermy excision of the abnormal cervical transformation zone. *Int J Gynecol Cancer* 1991; 1: 105-11.
 9. Wilbanks GD. Cervical Intraepithelial Carcinoma, history detection and treatment in: Sciarra JJ (Ed.): *Gynecology and Obstetrics*. Philadelphia, Harper and Row Pub 1987; 4: 4.
 10. Gusberg SB. Malignant lesions of the cervix uteri in: Danforth DN (Ed.): *Obstetrics and gynecology*. Philadelphia, Lippincott Co 1986; 56.
 11. The 1988 Bethesda System for reporting cervical / vaginal cytologic diagnoses: Developed and approved at the National Cancer Institute Workshop in Bethesda, Maryland, December 12-13, 1988, Human Pathology, 1990; 21: 704.
 12. Campion MJ, Reid R. Screening for gynecologic cancer. *Obstet Gynecol Clin of N Am* 1990; 17: 695-727.
 13. Van Der Graaf Y, Vooijs GP, Gailard HLJ. Screening errors in cervical cytology screening. *Acta Cytol* 1987; 31: 434.
 14. Lele SB, Piver MS. Cervical dysplasia and cervical in situ carcinoma in: Piver MS (Ed). *Manual of gynecologic oncology and gynecology*. Boston, Little Brown and Co 1989: 5.
 15. Brinton LA, Reeves WL, Brenes MM. Parity as a risk factor for cervical cancer. *Am J Epidemiol* 1989; 130: 486.
 16. Brinton LA. Editorial commentary. Smoking and cervical cancer. *Am J Epidemiol* 1990; 131: 958.
 17. Celentano DD, Klassen AC, Weisman CS, Rosenheim NB. The role of contraceptive use in cervical cancer: The Maryland cervical cancer case-control study. *Am J Epidemiol* 1987 126: 592.
 18. Negrini BP, Schiffman MH, Kurman RJ. Oral contraceptive use, human papillomavirus infection and risk of early cytological abnormalities of the cervix. *Cancer Res* 1990; 50: 4670.
 19. Hildesheim A, Brinton LA, Maillin K. Barrier and spermicidal contraceptive methods and risk of invasive cervical cancer. *Epidemiology* 1990; 1: 266.
 20. Dietl J, Buchholz F, Semm K. Zur Epidemiologie und Diagnostik der Vor- und Frühformen des Kollumkarzinoms Eine Analyse von 1194 Konisationen. *Geburtsh u Frauenheilk* 1981; 41: 173.
 21. Parazzini F, Vecchia CL, Negri E, Fedele L, Francashi S, Gallotta L. Risk factors for cervical intraepithelial neoplasia. *Cancer* 1992; 69: 2276.
 22. Wilkinson EJ. Pap smears and screening for cervical neoplasia. *Clin Obstet Gynecol* 1990; 33: 817.
 23. Milla Villeda RH, Alvarado Zaldivar G, Sanchez Anguiano LF, Barrera Tovar M, Vazquez Arreola I. Colposcopy and cervical biopsy in patients with routine Papanicolaou smear. *Ginecol Obstet Mex* 1997; 65: 235-8.
 24. Gullato G, Margariti PA, Rabitti C, Balsamo G, Vale D, Capelli A, Mancuso S. Cytology, histology and colposcopy in the diagnosis of neoplastic non invasive epithelial lesions of the cervix. *Eur J Gynaecol Oncol* 1997; 18 (1): 36-8.

KLİNİK ÇALIŞMA

İZMİR ATATÜRK EĞİTİM HASTANESİ TIP DERGİSİ 2004, 42 (2): 93-98

Kaan KATIRÇIOĞLU
Tayfun ADANIR
Atilla ŞENCAN
Firdevs ÇETİN
Serdar SAVACI

Atatürk Eğitim ve Araştırma
Hastanesi, Anesteziyoloji ve
Reanimasyon Kliniği İZMİR

CERRAHİ ÖNCESİ EPİDURAL YOLDAN UYGULANAN MORFİN HCL'ÜN POSTOPERATİF ANALJEZİ ÜZERİNE ETKİLERİ

The Effects of Epidural Morphin HCL Administration
Before Surgery on Postoperative Analgesia

ÖZET

Calışmamızda, major alt extremité cerrahisi geçirecek olgulara değişik zamanlarda epidural morfin uygulamasının, postoperatif analjezi üzerine etkileri araştırıldı.

Alt ekstremite operasyonu geçirecek 45 olguda birinci gruba (M_1) cerrahi başlangıcından yarım saat önce, ikinci gruba (M_2) cerrahi başlangıcında, üçüncü gruba (M_3) cerrahi bitiminden yarım saat önce 3 mg morfin epidural kateter aracılığı ile uygulandı.

Her üç grupta anestezi, standart genel anestezi uygulaması ile sağlandı. Preemptif analjezinin etkisini araştırmak amacıyla grupların postoperatif ağrı skorları, ilk ek analjezik gereksinim zamanları ve 24 saatlik toplam analjezik miktarları karşılaştırıldı. 1/2., 1., 6. saatlerde ağrı skorları M_1 grubunda daha düşük bulundu. Yine bu grupta ve M_2 grubunda ilk ek analjezik gereksinim zamanı M_3 grubuna oranla daha uzun idi. Her üç grupta da önemli bir etki görülmeli.

Son yıllarda a üzerinde çok durulan preemptif analjezi uygulamasının, daha iyi bir postoperatif analjezi sağlamada ve yine postoperatif analjezik kullanımını azaltmada etkin bir rolü olduğunu düşünüyoruz.

SUMMARY

The aim of the present study was to investigate the effects of different timely epidural morphine HCL administration on postoperative analgesia.

Forty five patients who had elective lower extremity surgery were included in the study. Morphine HCL (3 mg) was administered via epidural catheter to all of patients in different times. First group received morphine 30minutes before the start of the surgery (M_1), second group received it at the beginning of the surgery (M_2) and third group received it 30 minutes before the operation ended. A standard general anesthesia was applied to all of the patients. Postoperative pain scores, the time for the first supplemental analgesic, and the total analgesic consumption during 24 hours were compared among the groups.

Yazışma Adresi: Dr. Kaan KATIRÇIOĞLU

Atatürk Eğitim ve Araştırma Hastanesi

Anestezи ve Reanimasyon Kliniği Basınsitesi / İZMİR

Tel (0.232) 244 44 44 / 2623 GSM: (0.532) 574 60 15

E-mail: kaankat@yahoo.com

Pain scores were lower in M₁ group after 30 min., 1st and 6th hours. Patients in M₁ and M₂ groups required supplemental analgesia later than the M₃ group. No serious adverse effects were observed.

It is concluded that preemptive analgesia is effective in providing a satisfactory postoperative analgesia and also may reduce analgesic requirements in the post-operative period.

GİRİŞ

Akut ağrılı hastalıklarda çoğu kez doğru tanı konup etkili sağaltım yapıldığı halde, cerrahi ve travma sonrası şiddetli ağrırlara gerekli önem verilmemektedir. Cerrahi sonrası ağrı, cerrahi travmayla başlayıp, doku iyileşmesi ile sona eren akut bir ağrıdır. Yetersiz tedavisi sonucu, cerrahi girişim ve strese bağlı pulmoner, kardiovasküler, gastrointestinal ve üriner disfonksiyon, kas metabolizması ve fonksiyonunda bozulma, nöroendokrin ve metabolik değişiklikler meydana gelebilir. Cerrahi sonrası ağrı tedavisinde amaç, hastanın ağrısını en aza indirmek, derlenmeyi kolaylaştırmak, yan etkilerden kaçınmak veya etkili bir şekilde önlemek ve tedaviyi ekonomik olarak rantabl kılmak olmalıdır. Ağrı uyarandan önce yapılan analjezi, ağrı uyaranдан sonra yapılacak analjeziye göre, oluşacak ağrıyı daha etkin bir şekilde engelleyebilir ya da azaltabilir mi? Ağrı bilgisi konusundaki son gelişmeler "Preemptif Analjezi" (önleyici analjezi) fenomeninin temelini oluşturmuştur. Bu çalışmada, major alt extremite cerrahisi geçirecek olgulara değişik zamanlarda epidural morfin uygulamasının, postoperatif analjezi üzerine etkileri araştırıldı.

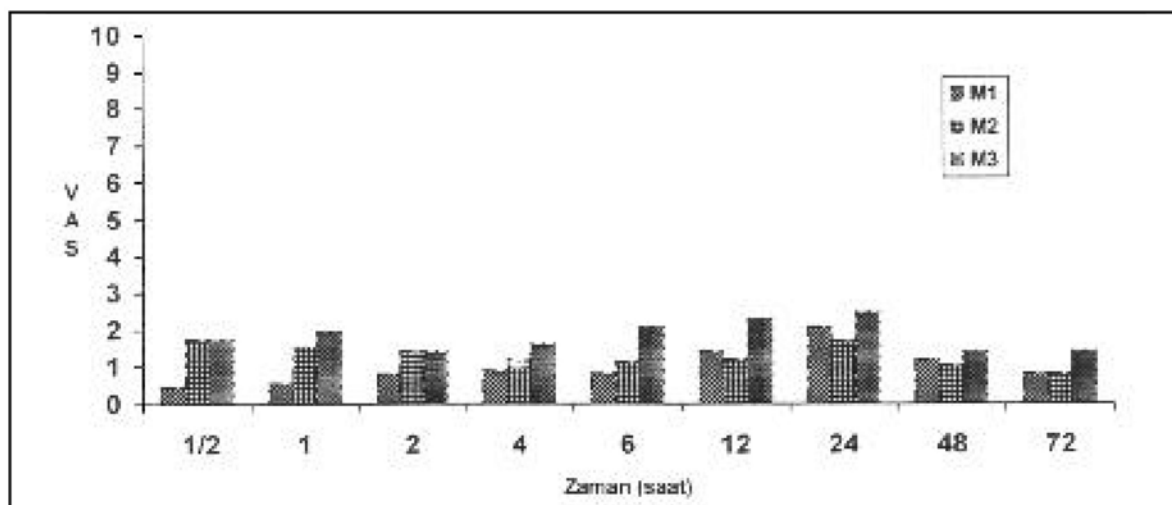
GEREÇ VE YÖNTEM

Hastanemizde elektif majör ortopedik alt ekstremite operasyonu uygulanacak ASA I-II grubunda 45 hasta çalışmaya dahil edildi. Hastalar operasyona alınmadan 1 saat önce 0.15 mg kg⁻¹ diazepam (İM) ile premedike edildiler. Operasyon salonunda antekübital venlerinden 18 G branül ile girilip %0.9' luk NaCL infüzyonuna başlandı. Başlangıç sistolik, diastolik ve ortalama arter basınçları (SAB, DAB, OAB), ve kalp atım hızları (KAH) kaydedildi. L₃-L₄ ya da L₄-L₅ aralığından 17 numara Touhy iğne ile sıvı ile direnç kaybı tekniği kullanılarak epidural aralığa girildi. 18 numara epidural kateter yerleş-

tirildi. Kateterden 2 ml %2'lik lidokain test dozu olarak verilip 5 dakika beklandı. Hastalar randomize olarak 15'er kişilik üç gruba ayrıldı. 1. gruba (M₁) cerrahi başlangıcından 30 dk önce, 2. gruba (M₂) cerrahinin başlangıcında, 3. gruba (M₃) cerrahinin bitiminden 30 dk önce, 3 mg Morfin HCl 10 ml NaCl içinde epidural kateter aracılığı ile verildi. Tüm hastalara anestezi yöntemi olarak genel anestezi uygulandı. 2 mg/kg diphren, 0.6 mg/kg atrakuryum bezili uygulamasını takiben trakeal entübasyon gerçekleştirildi. Anestezi idamesi %50 O₂, %50 N₂O ve %1 isofluran ile sağlandı. Operasyon süresince hastalara ek analjezik uygulanmadı. Operasyon bitimin de gerek görülen hastalar için 0.06 mg/kg⁻¹ neostigmin ve 0.02 mg/kg⁻¹ atropin sülfat ile dekürarizasyon yapıldı. Peroperatif dönemde ve postoperatif 24 saat hastalar "Datascope Passport Model EL" ile monitörize edildiler. SAB, DAB, OAB, KAH, O₂SAT, EKG ve ETCO₂ izlemleri yapıldı. Postoperatif dönemde 1/2., 1., 2., 4., 6., 12., 24, 48 ve 72. saatlerde hastalardan ağrılarını Vizüel Ağrı Skalasına (VAS) göre değerlendirmeleri istendi. Epidural morfin uygulamasına rağmen postoperatif dönemde ek analjezik gereksinimi olan hastalara 50 mg meperidin İM olarak uygulandı; gerektiğinde aynı doz tekrar edildi. İlk analjezik uygulama zamanı ve toplam meperidin dozu hesaplandı. 72 saatlik izlemde görülen yan etkiler kaydedildi. Elde edilen verilerin değerlendirilmesinde istatistiksel yöntem olarak nominal verilerde Chi-Square, interval verilerde Kruskal-Wallis ve Mann-Whitney testleri kullanıldı. Analizler %95 güven aralığında yapıldı. p<0.05 değeri istatistikse olarak anlamlı kabul edildi.

BULGULAR

Grupların demografik verileri arasında anlamlı bir fark bulunmadı (Tablo 1). Her üç grubun postoperatif 72 saatlik VAS ağrı skorları ortalaması



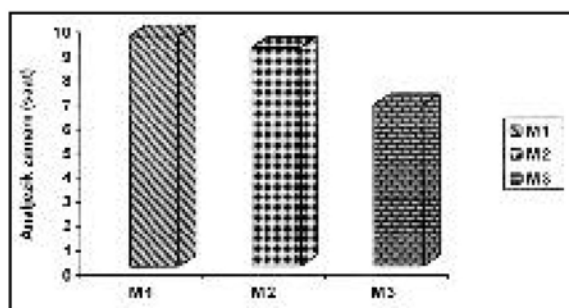
Grafik 1. Grupların zamana göre ortalama VAS değerleri.
1/2 saat: M1 < M2 = M3, 1. saat: M1 < M3, 6. saat: M1 < M3, p<0.05

değerleri ve standart sapmaları Grafik 1'de gösterilmiştir. Buna göre grupların zamana göre VAS değerleri kıyaslandığında 1/2. saatte; M₁ (0.467) ile M₂ (1.733) grubu arasındaki fark (p=0.0225), M₁ ile M₃ (1.733) grubu arasındaki fark (p=0.0171), 1. saatte M₁ (0.533) ve M₃ (1.933) grupları arasındaki fark (p=0.0055) ve 6. saatte M₁ (0.8) ve M₃ (2.067) grupları arasındaki fark (p=0.018) istatistiksel olarak anlamlı bulunmuştur. 2., 4., 12., 24., 48. ve 72. saatlerde ise VAS değerleri açısından her üç grup arasında istatistiksel anlamlı fark bulunamamıştır.

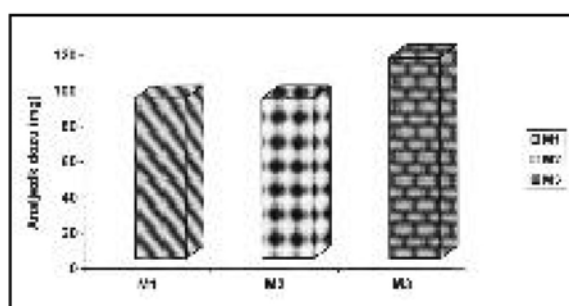
Tablo 1. Demografik veriler.

Parametre	M ₁ (n=15)	M ₂ (n=15)	M ₃ (n=15)
Yaş	30.4±13.6	30.6±10.2	30.1±7.9
Cins (E/K)	13/2	14/1	14/1
ASA (I/II)	12/3	12/3	13/2
Uzunluk (cm)	169.9±7.3	168.0±4.8	169.6±6.9
Operasyon süresi (dk)	104.7±76.9	87.6±27.5	105.6±36.1

Postoperatif ilk ek analjezik gereksinim zamanları (saat) kıyaslandığında M₁ (9.5), M₂ (9) gruplarının M₃ (6.65) grubu ile aralarındaki farklar istatistiksel olarak anlamlıdır (p=0.044), (p=0.046) (Grafik 2). Postoperatif 24 saatte uygulanan toplam analjezik miktarları ortalama değerleri M₁ (90 mg), M₂ (90 mg), M₃ (113 mg) olarak bulunmuştur (Grafik 3). Her üç grup arasındaki fark istatistiksel olarak anlamlı



Grafik 2. Grupların ilk ek analjezik gereksinim zamanları.
M3 < M1, M2 p<0.05



Grafik 3. Grupların 24 saatlik toplam ek analjezik miktarları.

bulunmamıştır. Epidural morfin uygulamasına bağlı postoperatif yan etki insidansları Tablo 2'de verilmiştir. M₂ ve M₃ gruplarında birer hasta arteriyel oksijen saturasyonlarında geçici olarak %90'nın altına düşüş saptanmıştır. Her iki hasta da bir girişim yapılmadan normal değerlere dönmüşlerdir. Yan

etkiler açısından gruplar arasında anlamlı bir fark görülmemiştir.

Tablo 2. Grupların yan etki insidansları (hasta sayısı).

Yan etki	M ₁	M ₂	M ₃
Solunum depresyonu	0	1	1
İdrar retansiyonu	5	4	3
Bulantı	4	2	2
Kusma	2	1	0
Kaşıntı	2	2	1
Sedasyon	2	0	0

TARTIŞMA

Preemptif analjezi, son yıllarda üzerinde çok durulan ve birçok araştırmaya kaynak olan bir konudur. Çeşitli analjezik ajanlar, değişik kombinasyonları ve birçok analjezi yöntemi preemptif analjezi yönünden araştırılmış ve araştırılmaktadır.

Morfin, epidural uygulamada en sık kullanılan ve en iyi araştırılmış analjeziklerden biridir. Epidural analjezi amacıyla kullanıldığından etkisi 30 dakikada başlar, 6-24 saat sürer (2). 24 saat kadar uzayabilen bir etki süresi olması sadece tek doz epidural morfin ile yeterli bir postoperatif analjezi oluşturabileceği gösterir. Alt ekstremité cerrahisi sonrası analjezide önerilen epidural morfin dozu minimum 2 mg'dır (3,4). Bu nedenle bizim çalışmamızda da 3 mg'lık standart bir doz kullanıldı. İnsizyon anında morfinin analjezik etkisinin başlamış olması için preemptif analjezi grubuna (M₁) morfin cerrahi başlangıcından yarım saat önce uygulandı. Aynı doz insizyon anında uygulanan grupta (M₂) ise etkinin insizyon sonrası yarım saatte ortaya çıkması sağlandı. Böylece ilk yarım saat içindeki insizyon ve diğer ağrılu uyaranlar santral sinir sistemine ulaştıktan sonra etki başladı. Üçüncü grupta (M₃) ise cerrahi bitiminde etki başlayacak şekilde son sütlereinden yarım saat önce morfin uygulandı. Böylece operasyon süresince tüm ağrılu uyaranlar santrale sinir sistemine ulaşmış oldu. Bu şekilde üç grupta değişik derecelerde santral hipereksitibilite oluşturuldu ve morfin uygulamasında zamanlamanın postoperatif analjezi üzerine etkisi karşılaştırıldı. Postoperatif 1/2., 1., 6. saatlerde grupların ağrı skorlarında anlamlı farklılıklar bulun-

du. Her üç saatte de preemptif analjezi grubu (M₁) ağrı skorları daha düşüktü. Yine postoperatif ilk analjezik gereksinim zamanı M₁ ve M₂ gruplarında M₃ grubuna oranla anlamlı derecede daha uzun bulundu. Yan etkiler her üç grup içinde kabul edilebilir düzeydedeydiler. Bu sonuçlar ağrılu uyaranlardan önce uygulanan opioid reseptör agonistlerinin uzamiş spinal hiperaktiviteyi önlediğini veya en azından azalttığını gösteren Dickenson ve Woollf'un deneyse çalışmaları ile uyumludur (5,6). Bulgularımız aynı zamanda preamputasyon ağrısının ortadan kaldırılması ile fantom ve güdüklük ağrı insidanslarının azaltıldığını gösteren klinik gözlemler ve cerrahi travma öncesi uygulanan analjezik ajanlar ile postoperatif ağrıının azaltıldığını belirten klinik çalışmalar ile de uyumludur (7-16). Mc Quay, Carroll ve Moore'ur retrospektif nonrandomize çalışmasında değişik eks tremite operasyonlarında preoperatif opioid premedikasyonu ve değişik sinir blokları yapılan ve yapılmayan olgular kıyaslanmıştır. Preemptif analjezi yapılar olgularda postoperatif ortalama analjezik gereksinim zamanı belirgin derecede uzamiş ve daha iyi analjezi elde edilmiştir (8). Prospektif randomize bir çalışmada preoperatif insizyonel lokal anestezik infiltrasyonu yapılan olgularda, aynı uygulama yapılmayı diğeri olgulara oranla daha iyi ve daha uzun bir postoperatif analjezi sağlanmıştır (9). Bir çok çalışmada preoperatif sinir bloğu veya opioid uygulanan gruplarda uygulanmayan gruplara oranla postoperatif ağrı değerleri ve analjezik gereksinimlerinde önemli farklılıklar saptanmıştır (8-12). Bu durumda preemptif analjezinin santral hiperaktivite ve hipereksitibiliteyi önlemedeki etkinliği rol oynayabilir. Ancak tüm bu çalışmalarla preoperatif uygulanan aynı yöntemin postoperatif uygulanması ile kıyaslamaya yapılmamıştır. Bu durum preemptif analjezi etkinliği hakkında şüphe uyandırılabilir. Katz ve arkadaşları tarafından torakotomi yapılan olgularda cerrahi öncesi ve insizyon sonrası 15. dakikada epidural 4 mg/kg fentanil uygulaması ile yapılan bir çalışmada postoperatif 48 saatlik bir sürede ağrı skorlarında ve uygulanan toplam analjezik miktarlarında preemptif analjezi lehine anlamlı farklar saptanmıştır. Bu çalışmada aynı doz iki değişik zamanda uygulanmıştır (14). Bizim çalışmamızda da aynı doz üç değişik zamanda

uygulanmıştır. Çalışmamızın Katz'n çalışmasıyla birlikte, preemptif analjezinin etkinliğini göstermede daha doğru bir metod ile yapıldığına inanıyoruz.

Bazı çalışmalarında preemptif analjezi etkinliği gösterememiştir (17-21). Nonsteroid antienflamatuar ajanlarla da preemptif analjezi çalışmaları yapılmıştır. Bu çalışmalar da sonuçlar çelişkilidir (15,22).

Çalışmamızda postoperatif 1/2., 1. ve 6. saatlerde M₁ grubunun ağrı skorlarındaki düşüklük ve yine bu grupta ve M₂ grubundaki postoperatif ilk analjezik gereksinim zamanındaki uzama preemptif analjezinin santral hipereksitabilitiyi önleyebildiğini veya en azından azaltabildiğini göstermektedir. M₃ grubu için ortalama ilk analjezik gereksinim zamanı 6.65 saatdir. Bu durumda bu gruba diğer gruplardan daha önce ek analjezik uygulanmaya başlanmıştır. Böylece daha yüksek olabilecek ağrı skorları diğer grupların ağrı skorları seviyelerine indirilmiştir. Bu durum postoperatif 6. saatten sonra ağrı skorlarında gruplar arası anlamlı farklılık bulunmamasını açıklamaktadır. Epidural morfin etki süresi daha önce belirtildiği gibi 6-24 saat olarak verilmektedir (2). Bu durumda 6. saat sonrasında morfinin oluşturduğu afferent baraj ortadan kalkmaya başlayabilir. Dahl ve Kehlet, santral sensitizasyonun sadece peroperatif dönemde oluşmadığını, yara bölgesindeki kalıcı inflamasyon ve hiperaljezi sonucu postoperatif dönemde de tetiklenebileceğini öne sürümlerdir (23). Bu durumda preoperatif dönemde verilen epidural morfinin oluşturduğu antinosiseptif blok santral nöronlarda oluşan sensitizasyonu önlemede bir süre sonra yetersiz kalabilir. Bizim çalışmamızda her üç grupta postoperatif 24 saatlik toplam analjezik miktarları arasında anlamlı fark bulunmaması bu şekilde açıklanabilir. Aynı durum bazı preemptif analjezi çalışmalarında bulunan negatif sonuçlara da açıklama getirmektedir. Ayrıca bu çalışmalarla santral sensitizasyonu önleyecek yeterli afferent blokajın sağlanamadığını inanıyoruz.

Sonuç olarak, preoperatif dönemde epidural yoldan verilen morfin, cerrahi insizyon sırasında veya postoperatif dönemde verilen aynı dozlardan daha iyi bir postoperatif analjezi sağlamaktadır. Bunun sonucunda pos toperatif dönemde ilk analjezik gereksinim

zamanı da uzamaktadır. Morfin bu etkisini, insizyon ile başlayıp cerrahi süresince devam eden ağrılı uyananların omurilik arka boynuz nöronlarında oluşturduğu sensitizasyon ve hipereksitabilitiyi önleyerek göstermektedir. Postoperatif ağrı özellikle bazı hasta gruplarında önemli komplikasyonlara neden olabilir. Bu nedenle postoperatif analjezinin her hastaya uygulanması gerektiğine ve preemptif analjez yöntemlerinin bu konu içinde önemli bir yer tuttuğuna inanıyoruz.

KAYNAKLAR

1. Bonica JJ, Ready LB. The Management of pain second edition; P: 1974. 1975, 1990.
2. Martin S, Salbaing J, Blaise G, Tetrault JP, Tetrault L. Epidural morphine for postoperative pain relief: a dose-response curve. *Anesthesiology* 1982; 56: 423-426.
3. Reiz S, Ahlin J, Ahrenfeldt B, Andersson M, Andersson S. Epidural morphine for postoperative pain relief *Acta Anaesthesiologica Scandinavica* 1981; 25: 111-114.
4. Dickenson AH, Sullivan AF. Subcutaneous formalin induced activity of dorsal horn neurones in the rat: Differential response to an intrathecal opiate administered pre or post formalin. *Pain* 1987; 30: 349-360.
5. Woolf CJ, Wall PD. Morphine sensitive and morphine insensitive actions of C fibre input on the rat spinal cord. *Neurosci Lett* 1986; 64: 221-5.
6. Bach S, Noreng MF, Tjellden NU. Phantom limb pain in amputees during the first 12 months. Following limb amputation, after preoperative lumbar epidural blockade *Pain* 1988; 33: 297-301.
7. MC Quay HJ, Carroll D, Moore RA. Postoperative orthopaedic pain the effect of opiate premedication and local anaesthetic blocks. *Pain* 1988; 33: 291-295.
8. Tverskoy M, Cozacov C, Ayache M, Bradley EL, Kissin İ. Postoperative pain after inguinal herniorraphy with different types of anesthesia. *Anesthesia and Analgesia* 1990; 70: 29-35.
9. Bugedo GJ, Carcamo CR, Mertens RA, Dagnino JA, Munoz HR. Preoperative precutaneous ilioinguinal and iliohypogastric nerve block with 0.5% bupivacaine for postherniorraphy pain management in adults. *Regional Anesthesia* 1990; 15: 130-133.
10. Jebeles JA, Reilly JS, Gutierrez JF, Bradley EL, Kissin İ. The effect of pre-incisional infiltration of tonsils with bupivacaine on the pain following tonsillectomy under general anesthesia. *Pain* 1991; 47: 305-308.
11. Narchi P, Benhamou D, Fernandez H. Intraperitoneal local anaesthetics for shoulder pain after day-case laparoscopy. *Lancet* 1991; 338: 1569-1570.

12. Koskinen R, Tigerstedt I, Tammisto T. The effect of perioperative alfentanyl on the need for immediate postoperative pain relief. *Acta Anaesthesiologica* 1991; 35(suppl.96):021.
13. Katz J, Kavanagh BP, Sandler AN, Nierenberg M, Boylan JF, Friedlander M, Shaw BF. Preemptive Analgesia, Clinical evidence of neuroplasticity. Contributing to postoperative pain. *Anesthesiology* 1992; 77: 439-446.
14. Dupuis R, Lemay H, Bushnelle MC, Duncan GH. Preoperative flurbiprofen in oral surgery: A method of choice in controlling postoperative pain. *Pharmacotherapy* 1988; 8: 193-200.
15. Smith CM, Guralnick MS, Gelfand MM, Jeans MF. The effect of transcutaneous electrical nerve stimulation on post cesarean pain. *Pain* 1986; 27: 181-193.
16. Ejlersen E, Anderson HB, Eliasen K, Mogensen TA. Comparison between pre and postincisional lidocaine infiltration on postoperative pain. *Anesthesia and Analgesia* 1992; 74: 494-498.
17. Dierking G, Dahl JB, Konstrup J, Dahl A, Kehlet H. Effect of pre vs postoperative inguinal field block on postoperative pain after herniography. *British Journal of Anaesthesia* 1992; 68: 344-348.
18. Dahl JB, Hansen BL, Hjortso NC, Erichsen CJ, Moiniche S, Kehlet H. Influence of timing on the effect of continuous extradural analgesia with bupivacain and morphine after major abdominal surgery. *British Journal of anaesthesia* 1992; 69: 4-8.
19. Kiss IE, Kilian M. Does opiate premedication influence postoperative analgesia? A prospective study. *Pain* 1992; 48: 157-158.
20. Murphy DF, Medley C. Preoperative indomethacin for pain relief after thoracotomy: Comparison with postoperative indomethacin. *British Journal of Anesthesia* 1993; 70: 298-300.
21. Dahl JB, Kehlet H. The value of preemptive analgesia in the treatment of postoperative pain *British Journal of Anaesthesia* 1993; 70: 434-439.

KLİNİK ÇALIŞMA

İZMİR ATATÜRK EĞİTİM HASTANESİ TIP DERGİSİ 2004, 42 (2): 99-102

Mustafa PESKERSOY
Turgut ÖZZEYBEK
Taner AKGÜNER
Yalçın KARAHAN
Mehmet Ali ÖNAL

Atatürk Eğitim ve Araştırma
Hastanesi 4. Genel Cerrahi Kliniği,
İZMİR

SUBILEUSLarda OPERASYON KARARI

Operational Decision on Subileus Cases

ÖZET

Incebarsak obstrüksiyonları (IBO), en sık hastaneye başvuru nedenlerinden biridir. Biz çalışmamızda Ocak 1990 - Aralık 1999 dönemi içerisinde İzmir Atatürk Eğitim ve Araştırma Hastanesi 4. Genel Cerrahi Kliniği'ne subileus tanısı alarak yatırılan 520 hastadan etyolojisi saptanamayın operasyonsuz tedavi edilen, ameliyat edilerek batında yapışıklık saptanmış ve daha önce ameliyat geçirmiş olan 406'sının dosyalarını retrospektif olarak inceledik. Yaş ortalaması 55 olan olguların, 108(%27)'ı kadın, 298(%73)'ı erkekti. Başvuru öncesinde %25'i Kolorektal, %22'si jinekolojik, %18'i appendektomi veya herniorafi ameliyatı olmuşlardı. %9 olgu daha önce hiç ameliyat olmamıştı. Olguların %53'ü ilk, %30'u ikinci, %17'si ikiden fazla subileus atağı geçirmiştir. 131(%32) olgu ameliyatla tedavi edildi. Ameliyatla (%9) veya ameliyatsız (%8) tedavi edilenlerin recurrens oranı benzerdi. Bulgularımız bize subileus tanısı alan hastalarda tedavide barsak nekrozuna yol açmadan hastanın izlenmesi ve operasyon zamanına iyi karar verilmesi gerektiğini düşündürmektedir.

SUMMARY

Small bowel obstructions is one of the leading causes of hospital admissions. In this study, we have retrospectively examined 406 of 520 patients who had diagnosis of subileus, treated without operations or diagnosed adhesions in the operations and had an operations on his past history. Average age was 55, of these 108(27%) was female, and 298(78%) was male. Before hospital admissions they had 25 per cent colorectal, 22 per cent gynecologic, 18 per cent appendectomy or herniorrhaphy operation. 9 per cent of the cases never had an operation. On 53 per cent of cases it was the first, on 30 per cent the second and on 17 per cent more than two, subileus attack was reported, on their medical records. 131(32%) of these patients treated operatively. The recurrence rates were similar with or without operation, 9 percent to 8 percent respectively. Our findings suggested us that patients who diagnosed subileus, must be carefully looked up, in order not to cause a bowel necrosis and a good decision for timing the operation is needed.

Key Words:

Subileus, obstruction

Yazışma Adresi: Dr. Mustafa PEŞKERSOY

İzmir Atatürk Eğitim ve Araştırma Hastanesi
4. Genel Cerrahi Kliniği Basinsitesi / İZMİR

GİRİŞ

Barsak tikanmalarının %80'i ince barsak düzeyinde gelişir. Her yaşıt görülebilirse de, orta ve ileri yaşlarda sıkılık giderek artar. Barsak tikanması etyopatogenez açısından mekanik (dynamik) ve paralitik (adinamik) olarak iki başlık altında ele alınabilir. Mekanik tikanmada, barsak lumeninin organik bir lezyon nedeniyle kapanması sonucu içeriğin distale geçişinin duraksaması söz konusudur. Paralitik tikanmalarda ise herhangi bir organik lezyon olmaksızın barsak hareketlerinin çok çeşitli nedenlerle durması söz konusudur (1). Akut ince barsak tikanmalarının (İBT) en sık nedeni yapışıklıklardır. Genel olarak laparotomi yapılan hastaların yaklaşık %4-5'inde görülürken, total kolektomi geçirenlerde bu oran %10-20'ye varır. Yapışıklıklara bağlı İBT gelişmiş olan hastaların %5-15'inde daha sonraki yapışıklıklara bağlı ikinci bir İBT görülür (2,3). Çalışmamızda kliniğimize subileus tanısıyla yatırılan hastaların klinik seyri, risk faktörleri, uygulanan tedavi yöntemleri, rekürrens sikliği retrospektif olarak inceleme sonuçlarımız literatürle karşılaştırıldı.

GEREÇ VE YÖNTEM

Ocak 1990 - Aralık 1999 dönemi içerisinde İzmir Atatürk Eğitim ve Araştırma Hastanesi 4. Genel Cerrahi Kliniği'ne subileus tanısı alarak yatırılan hastaların dosyaları araştırıldı. Etyolojisinde kolon patolojileri ve malignite saptanmış olgular çalışmaya alınmadı. Etyoloji saptanamayan operasyonsuz tedavi edilen olgular, ameliyat edilerek batında yapışıklık saptanmış olgular ve daha önce ameliyat edilmiş subileus olguları çalışmaya alındı. Günlük gözlem notları, radyolojik bulguları, operatif bulguları ve patoloji raporları değerlendirildi. Elde edilen veriler üzerinde hastaların yaş, cins, hastanede yataş süresi, uygulanan tedavi, operasyon tipi, postoperatif komplikasyonları ve daha önce aynı nedenle başka hastanelere müracaat edip etmediği, ettiyse süreleri irdelenerek sonuçlar literatürle karşılaştırıldı.

BULGULAR

İzmir Atatürk Eğitim ve Araştırma Hastanesi 4. Genel Cerrahi Kliniği'nde on yıllık dönemde 520 olgunun subileus tanısıyla yatırıldığı saptandı. Etyo-

lojisinde kolon patolojileri ve malignite saptanmış olgular çalışmadan çıkartılarak, etyoloji saptanamayan operasyonsuz tedavi edilen, ameliyat edilerek batında yapışıklık saptanmış ve daha önce ameliyat edilmiş 406 olgu çalışmaya alındı. Yaş ortalaması 55 olan 108(%27)'i kadın, 298(%73)'i erkek olguların yıllara göre cinsiyet dağılımı Tablo 1'de verilmiştir.

Tablo 1. Olguların yıllara ve cinslere göre dağılımı.

Yıllar	Kadın	Erkek	Toplam
1990	12	33	45
1991	9	26	35
1992	13	22	35
1993	10	27	37
1994	8	35	43
1995	11	31	42
1996	12	18	30
1997	8	26	34
1998	14	41	55
1999	11	39	50
Toplam	108	298	406

Olgularımızdan 214(%53)'ü ilk kez bu yakınmalarının olduğunu ifade ederken, 120(%30)'si ikinci, 72(%17)'si ikiden fazla aynı yakınmalarla daha önce tedavi gördüklerini belirtmişlerdi.

Olgularımızın 162(%40)'si daha önce bir kez ameliyat olmuşlardı. 130(%32)'u iki, 57(%14)'si üç ve 20(%5)'si üçten fazla operasyon geçiren olgularımız 37(%9)'tanesi daha önce hiç ameliyat olmamıştı.

Çalışmaya alınan daha önce ameliyat geçiren 369 olgunun 18(%5)'i son bir ay içinde ameliyat geçirmiştir. İzlem öncesinde geçirdikleri ameliyattan sonra geçen süreye göre olgularımızın dağılımı Tablo 2'de

Tablo 2. İzlem öncesinde geçirdikleri ameliyattan sonra geçen süreye göre olguların dağılımı.

Operasyondan sonra başvuru süresi	Olu Sayısı	(%)
Bir ay içinde	18	5
Bir ay - bir yıl	92	25
Bir yıl - beş yıl	123	33
Beş yıl - on yıl	40	11
On yıl - yirmi yıl	45	12
Yirmi yıldan fazla	51	14
Toplam	369	100

Tablo 3. Daha önce ameliyat geçirmiş olguların geliş zamanlarına göre dağılımı.

Operasyon / Süre (yıl)	>1	1-5	5<	Bilinmeyen	Toplam	(%)
Kolorektal	36	35	20	1	92	25
Jinekolojik	31	25	25	-	81	22
Appendektomi+Herniorafi	10	17	28	12	67	18
Kolesistektomi+Gastrektomi	17	28	28	-	73	20
Diger	16	18	19	3	56	15
Toplam	110	123	120	16	369	100

verilmiştir. Çalışmamızda daha önce geçirilen ameliyatın türü incelendiğinde en sık kolorektal ve jinekolojik ameliyatlardan sonra subileus semptomlarının geliştiği gözlandı. Olguların 92(%25)'si kolorektal, 81(%22)'i jinekolojik, 67(%18)'si appendektomi veya herniorafi, 73(%20)'ü gastrik veya bilier, 56'sı (%18) diğer türden operasyonlar geçirmiştir. Olguların geçirdikleri operasyonlara göre geliş sürelerinin dağılımı Tablo 3'te gösterilmiştir.

406 olgunun 131(%32)'i ameliyatla tedavi edilirken, 275(%68)'i tıbbi tedaviyle rahatlamlıslardır. Çalışmaya alınan kadınların 45(%42)'i, erkeklerin 86(%29)'sı ameliyatla tedavi edilmişlerdir.

Ameliyatsız tedavi edilen 275 olgunun 23(%8)'ünün daha sonra tekrar müraacaat ettiği, bu olgulardan üçünün ameliyat edildiği, 11 olgunun üçüncü kez başvurduğu ve operasyonsuz tedavi edildikleri saptandı.

Hastalarımızın tedavi yöntemleri incelendiğinde; olguların 131(%32)'ının operatif tedavi olduğu, 1. kez başvuran hastaların %36'sının operasyona alındığı görüldü. Operet edilen olgulardan 73(%56)'unde multipl yapışıklık, 58(%44)'inde tek bir bant üzerinde dönme şeklinde yapışıklık olduğu saptandı. Operasyon olarak 112(%85) olguda yapışıklıkların açılması ve 19(%15) olguya ince barsak rezeksiyonu yapıldığı görüldü. Strangülasyon görülen 19(%15) olgumuz vardı. Bunların 14 tanesi ilk kez müraacaat eden olgulardı.

Operasyon sonrası hastanede yatis süresi ortalama 12 gündü. Ameliyat olmayan olgularda bu süre dört gündü. Operasyon sonrasında 4(%3) hasta exitus olmuştur. Ameliyatla tedavi edilen 131 olgudan 37 (%28)'inde görülen 48 komplikasyonun dağılımı

Tablo 4'de verilmiştir. Komplikasyon görülen hastaların yaş ortalaması 67 idi.

Tablo 4. Komplikasyonların dağılımı.

Gelişen Komplikasyonlar	Sayı	(%)
Yineleyen obstrüksiyon	9	7
Respiratuvar sistem	13	10
Kardiak sistem	5	4
Renal sistem	7	5
Gastrointestinal sistem	8	6
Yara yeri infeksiyonu	6	5

TARTIŞMA

Gecirilmiş batın ameliyatı, batın içi yapışıklık için predispozandır. Bizim serimizin %40'ını bir kez ameliyat olan, %32'sini iki defa ameliyat olan hastalar oluşturuyordu. %9 olguda da geçirilmiş bir operasyon hikayesi yoktu. Kadavralar üzerinde otopsilerle yapılan bir çalışmada yapışıklık saptanan olguların %67'sinin daha önce bir operasyon geçirdiği, buna karşın %28'inin hiç operasyon geçirmediği halde yapışıklık oluştuğu saptanmıştır (4).

Serimizde subileus nedeniyle müraacaat eden hastaların %32'sinin ameliyatla tedavi edildiği görülmüştür. Operasyon oranı çeşitli serilerde %20 ila %60 arasında değişmektedir (5-13).

Kadınların %42'si, erkeklerin ise %29'u operasyonla tedavi edilmişlerdir.

Tekrarlama sıklığı göz önüne alındığında ameliyatla tedavi edilenlerin %7'si, ameliyatsız tedavi edilenlerin %8'i tekrar müraacaat etmiştir. Bu oranları Barkan ve ark. (14); %20 ve %40, Landercasper ve ark. (11), %40

olarak vermişlerdir. Bizim serimizde tekrar müraacaatların bu kadar az olması hastaların başka merkezlere başvuruda bulunmuş olabileceklerini düşündürmektedir.

Operasyonda subileus nedeni olarak saptanan yapışıklığın %44 olguda tek band şeklinde, %56 olguda ise multipl yapışıklık tarzında olduğu görülmüştür. Mucha'nın (8) serisi de bu oranları destekler niteliktedir.

Hastaları operasyona alma zamanı açısından görüşler değişmektedir; hemen operasyona almak gerektiğini savunan cerrahlar (15-17) olduğu gibi, barsak dekompreşyonu ile birlikte hastanın öncelikle izlenmesini savunan cerrahlarda (6,13,14,18-20) vardır. İzlenen olgularda strangülasyon bulguları gelişmeden operasyona karar vermek önemlidir.

Bizer ve ark. 72 saatte kadar izledikleri tüm olgularının %15'inde srangülasyon bildirirken fitiğe bağlı izledikleri olgularında bu oranın %33 olduğunu vurgulamışlardır. Sosa ve ark. 48 saat izledikleri olgularında %35 operasyon kararı verdiklerini bildirmiştir. Bizim çalışmamızda olgularımızın %15'inde strangülasyon görülmüştür. Ameliyat öncesi geçen izlem süresi çeşitli yaynlarda en fazla 12 saat ile 5 gün arasında değişmektedir (6,10,12,21). Bizim serimizde bu süre ortalaması 18 saatır.

Sonuç olarak subileus ön tanısı ile yatırılan olguların izlenmesi ve operasyonlarında peritoneal irritasyon bulgularının ortaya çıkmasından önce operasyona karar verilmesinin doğru olacağını ve tekrarlayan başvurularda hastanın tekrar hastaneye başvurma şansının yüksek olduğunu bilinmesi gereği kanısındayız.

KAYNAKLAR

- Alexander W. Conservative operations for Crohn's disease of the small bowel. *World J Surg* 1985; 9: 945-51.
- Fabri PJ. Re-operation for small intestinal obstruction. *Surg Clin N Am* 1991; 71: 131-46.
- Holden WD. Intestinal obstruction. *Gastroenterol Clin of N Am* 1988; 17: 317.
- Weibel MA, Majno G. Peritoneal adhesions and their relation to abdominal surgery. A postmortem study. *Am J Surg* 1973; 126: 345-53.
- Tanphiphat C, Chittmittrapap S, Prasopsunti K. Adhesive small obstruction. A review of 321 cases in a Thai hospital. *Am J Surg* 1987; 154: 283-7.
- Seror D, Feigin E, Szold A, Alweis TM, et al. How conservatively can postoperative small bowel obstruction be treated? *Am J Surg* 1993; 165: 121-6.
- McEntee G, Pender D, Mulvin D, et al. Current spectrum of intestinal obstruction. *Br J Surg* 1987; 74: 976-80.
- Mucha P. Small intestinal obstruction. *Surg Clin North Am* 1987; 67: 597-620.
- Bizer LS, Liebling RW, Delany HM, Gliedman ML. Small bowel obstruction: the role of non-operative treatment in simple intestinal obstruction and predictive criteria for strangulation obstruction. *Surgery* 1981; 89: 407-13.
- Brolin RE, Krasna MJ, Mast BA. Use of tubes and radiographs in the management of small bowel obstruction. *Ann Surg* 1987; 206: 126-33.
- Landercasper J, Cogbill TH, Merry WH, et al. Long-term outcome after hospitalization for small-bowel obstruction. *Arch Surg* 1993; 128: 765-71.
- Hofstetter SR. Acute adhesive obstruction of the small intestine. *Surg Gynecol Obstet* 1981; 152: 141-4.
- Wolfson PJ, Bauer JJ, Gelernt IM, Kreel I, Aufses AJ. Use of the long tube in the management of patients with small-intestinal obstruction due to adhesions. *Arch Surg* 1985; 120: 1001-6.
- Barkan H, Webster S, Ozeran S. Factors predicting the recurrence of adhesive small-bowel obstruction. *Am J Surg* 1995; 170: 361-5.
- Zadeh BJ, Davis JM, Canizaro PC. Small bowel obstruction in the elderly. *Am Surg* 1985; 51, 470-3.
- Fabri PJ, Rosemurgy A. Reoperation for small intestinal obstruction. *Surg Clin North Am* 1991; 71: 131-46.
- Shatila AH, Chamberlain BF, Webb WR. Current status of diagnosis and management of strangulation obstruction of the small bowel. *Am J Surg* 1976; 132: 299-303.
- Assalia A, Schein M, Kopelman D, Hirshberg A, Hashmonai M. The therapeutic effect of oral Gastrografin in adhesive, partial small-bowel obstruction: a prospective randomized trial. *Surgery* 1994; 115: 433-7.
- Stewardson RH, Bombeck CT, Nyhus LM. Critical operative management of small bowel obstruction. *Ann Surg* 1978; 187: 189-93.
- Brolin RE. Partial small bowel obstruction. *Surgery* 1984; 95: 145-9.
- Sosa J, Gardner B. Management of patients diagnosed as acute intestinal obstruction secondary to adhesions. *Am Surg* 1993; 59: 125-8.

KLİNİK ÇALIŞMA

İZMİR ATATÜRK EĞİTİM HASTANESİ TIP DERGİSİ 2004, 42 (2): 103-108

Buket ŞENTOP*

Fatma TANELİ**

Serdar BİÇEROĞLU***

Fisun ERCİYAS*

* Department of Biochemistry
and Clinical Biochemistry,
Ataturk Training Hospital, Izmir,
Turkey

** Department of Biochemistry
and Clinical Biochemistry, Celal
Bayar University Faculty of
Medicine, Manisa, Turkey

*** Department of Cardiology,
Ataturk Training Hospital, Izmir,
Turkey

DETECTION OF MINOR MYOCARDIAL INJURY BY CARDIAC TROPONIN I LEVELS DURING SUCCESSFUL PERCUTANEOUS TRANSLUMINAL CORONARY ANGIOPLASTY WITH STENTING

Stent Uygulanan Perkutanöz Transluminal Koroner Anjiopati Uygulamasında Minör Myokardiyal Hasarın Kardiak Troponin I ile Saptanması

SUMMARY

There has been recent evidence that percutaneous transluminal coronary angioplasty (PTCA) may cause minor ischemic alterations in myocardium. In the present study, we aimed to evaluate the possible effect of PTCA on myocardium and to evaluate the minor myocardial injury via serum cardiac troponin I (cTnI) levels in patients with unstable angina pectoris and stable angina pectoris. Serum cTnI, CK, and CK-MB were determined in 21 patients with coronary artery disease who underwent successful PTCA. Blood samples were collected before the operation, at the 8th and 24th hour after the interventional procedure. Patients were grouped as unstable angina pectoris (n=9) and stable angina pectoris (n=12) patients. The electrocardiographic and echocardiographic investigations were performed by a single observer simultaneously to evaluate the clinical correlation of the markers. Ten healthy subjects comprised the control group. The serum cTnI levels began to increase at 8th hour and reached peak levels at 24th hour after PTCA. Cardiac troponin I levels in 12 cases were over the threshold either before or after the procedure, however CK-MB levels of only 3 cases were over the threshold during the same period. In evaluation of PTCA patients, cTnI levels were observed to be significantly ($p=0.019$) increased at 24th hour compared to preoperative values however CK and CK-MB levels did not show any significant alterations, simultaneously. Conclusion: In the present study, no difference in serum cardiac troponin I levels were found between stable angina pectoris and unstable angina pectoris patients in stenting after successful PTCA operation. We observed that PTCA may cause minor damage in myocardium; and serum cTnI level is more sensitive and specific for monitoring minor myocardial injury than the conventional markers.

Yazışma Adresi: Dr. Fatma TANELİ

Celal Bayar Üniversitesi Tıp Fakültesi

Biyokimya Anabilim Dalı MANİSA

Tel: (0.236) 232 58 89 / 325 Fax: (0.236) 237 02 13

GSM: (0.533) 519 48 38 E-posta: fatma.taneli@bayar.edu.tr

ÖZET

Anahtar Sözcükler:

Kardiak troponin I, minor myokardiyal hasar, perkütan transluminal koroner anjioplasti

Günümüzde, perkütan transluminal koroner anjioplasti (PTCA) uygulamasının yokard üzerindeki minor iskemik değişikliklere neden olabileceği konusunda kanıtlar saptanmıştır. Çalışmamızda, PTCA'nın myokard üzerine etkisinin incelenmesi ve stabil ve anstabil angina pectoris tanısı almış hastalardaki minor myocardial hasar değerlendirmek amacıyla serum kardiac troponin I (cTnI) düzeylerindeki değişikliklerinin değerlendirilmesi amaçlanmıştır. Koroner arter hastası olan ve başarılı PTCA operasyonu geçiren 21 hastada serum cTnI, kreatin kinaz (CK) düzeyleri ölçülmüştür. Hastalardan operasyondan hemen önce, operasyon sonrası 8. ve 24. saatlerde kan örnekleri alınmıştır. Hastalar anstabil angina pectoris ($n=9$) ve stabil angina pectoris ($n=12$) olmak üzere sınıflandırılmışlardır. Elektrokardiografik ve ekokardiografik incelemeler eş zamanlı olarak tek bir gözlemci tarafından yapılmış ve biyokimyasal parametrelerle korelasyonları değerlendirilmiştir. On sağlıklı birey kontrol grubu olarak seçilmiştir. Serum cTnI düzeyleri PTCA sonrası 8. saatte artmaya başlamış ve 24.saatde en üst noktasına ulaşmıştır. Serum cTnI ve CK-MB düzeyleri tüm olgularda operasyon öncesi normal değerlerde bulunmuştur. 12 olguda cTnI düzeyleri operasyondan önce ya da operasyondan hemen sonra eşik değerlerin üzerinde saptanmış iken yanlışca 3 olguda CK-MB düzeyleri eşik değerlerin üzerinde saptanmıştır. Çalışmamızda PTCA hastalarında, cTnI düzeylerinde 24.saatde anlamlı ($p=0.019$) artış saptanırken aynı hastalarda CK ve CK-MB düzeylerinde anlamlı değişiklikler saptanmamıştır.

Sonuç olarak, çalışmamızda, başarılı PTCA operasyonlarından sonra stabil ve anstabil angina pectoris olan olgularda serum cTnI düzeyleri açısından anlamlı bir fark saptanmamıştır. PTCA'nın myokard da minor hasara yol açabileceğinin serum cTnI düzeylerinin bu myokardiyal hasarı değerlendirmede diğer kullanılan rutin markerlara göre daha hassas olduğu kanısına vanılmıştır.

INTRODUCTION

Myocardial infarction has long been a subject of research in cardiology and clinical biochemistry. Within the past few years, a number of new phrases, micro-infarction, minor cardiac damage and non-ischemic cardiac damage have been frequently used and discussed since cardiac troponin I (cTnI) was introduced. Using this sensitive and specific biomarker it is now possible to detect minor cardiac damage occurring in different clinical settings: spontaneous, trauma, thermal injury, septic shock, or during cardiovascular surgery. The advent of this marker also opens a subject on the pathophysiologic aspect of non-ischemic cardiac damage that has not yet been fully understood and verified (1). The aim in this present study is to evaluate the diagnostic significance of serum Creatine kinase (CK), Creatine kinase MB fraction (CK-MB) and cardiac troponin I levels in preoperative and postoperative period and

to investigate further the possible differences between stable angina pectoris and unstable angina pectoris patients during and after successful percutaneous transluminal coronary angioplasty (PTCA) operations.

MATERIALS AND METHODS

Subjects

Twenty one patients (5 females, 16 males) with coronary artery disease, who underwent successful percutaneous transluminal coronary angioplasty at the cardiology department comprised the study group. The mean age of the patients were 58 years (46-71 years). Twelve patients were classified as Stable Angina Pectoris II (SAP II) according to the Canadian Cardiovascular Association Criteria and 9 patients were classified as unstable angina pectoris type II-B-II (UASP II-B II) according to the Braunwald Unstable Angina Criteria (2). Stenting to single artery was performed to all the patients in the study

group. Ten healthy volunteers with no cardiovascular disease with physical examination, electrocardiographic and echocardiographic results were included into the control group.

Methods

Blood samples were collected immediately before and at 8 and 24 hour after PTCA. Cardiac troponin I (positive, >0.2 ng/ml) and CK-MB (positive, >25 U/L) and total CK levels were assessed to evaluate the possible alterations during the postoperative period. Cardiac troponin I was measured by enzyme-amplified chemiluminescence method on analyser (IMMULITE®, Diagnostic Products Corp., Los Angeles, CA, USA), where as total CK, and CK-MB levels were assessed by spectrophotometric and immunoinhibition methods respectively, on analyser (Olympus AU 600, Japan) with commercial reagents (Olympus System Reagent kits, Southall Middlesex, Ireland). Intra-assay variation and interassay variation of cTn I were 2.1% and 6.3% respectively. Electrocardiographic (ECG) and echocardiographic (ECHO) investigations were performed and evaluated by the same cardiologist simultaneously at 0, 8 and 24 hours.

Statistical analysis

Normally distributed data are expressed as mean and standard deviation (SD). All comparisons of non-parametric data were carried out with a Mann Whitney-U test. All calculations were made using SPSS for Windows (SPSS Inc., Chicago, USA). Statistical analysis were performed using two-tailed student t-test and p values <0.05 were confirmed as significant.

RESULTS

The demographic data of the patients are summarized in Table 1. We found no significant changes on serum CK and CK-MB levels between preoperative 8 hour and 24 hour after PTCA (Table 2). Basal CK and CK-MB levels were not different at the study and control groups. Similarly, no significant alterations were observed in CK and CK-MB levels and CK/CK-MB ratio in the study and the control groups. No significant statistical difference was found in cTnI levels between the preoperative (0.24 ± 0.12 ng/ml) and 8h (0.71 ± 0.77 ng/ml) and between 8h (0.71 ± 0.77 ng/ml) and 24h (1.14 ± 1.65 ng/ml) and between preoperative

Table 1. Demographic data of the patients undergoing PTCA operation and control group.

	Study Group n=21	Control Group n=10
Female	5 (%23.8)	3 (%30)
Male	16 (%76.2)	7 (%70)
Mean Age of Females (years)	60.2	49.0
Mean Age of Males (years)	58.2	58.1
Unstable angina	9 (%42.8)	None
Stable angina	12 (%57.1)	None
Coronary stenting performed on single artery	21 (%100)	None
ECG changes	Remained constant in 21 cases (%100)	Normal
ECHO findings	Changed in 3 cases of USAP (%14)	Normal

Table 2. Results of serum CK, CK-MB, CK/CK-MB and cTnI during PTCA operation in all patients and same parameters in the healthy control group.

	Preoperative n=21	Postop. 8h n=21	Postop. 24 h n=21	Control group n=10
CK (U/L)	89.19 ± 14.11	84.07 ± 16.57	84.28 ± 14.74	84.10 ± 29.77
CKMB (U/L)	11.00 ± 3.47	10.61 ± 3.04	12.23 ± 5.34	13.10 ± 2.02
CK / CKMB	9.04 ± 3.44	8.84 ± 3.82	8.23 ± 3.74	6.41 ± 3.23
cTnI (ng/ml)	$0.24 \pm 0.12 *$	0.77 ± 0.71	$1.65 \pm 1.14 *$	0.20 ± 0.00

Data are given as mean \pm standard deviation. * $p = 0.019$

Table 3. Serum CK, CK-MB, CK/CK-MB and cTnI levels in stable angina pectoris group, unstable angina pectoris group and the control group.

	Preoperative results		Postop. 8h results		Postop 24 h results		Control
	SAP n=12	USAP n=9	SAP n=12	USAP n=9	SAP n=12	USAP n=9	n=10
CK (U/L)	83.91 ± 14.99 ^a	96.22 ± 9.54 ^a	79.66 ± 14.56	90.44 ± 13.30	81.75 ± 17.00	94.11 ± 13.83	84.10 ± 29.77
CKMB(U/L)	11.50 ± 3.52	10.33 ± 3.50 ^b	10.91 ± 3.28	10.22 ± 2.81	12.83 ± 6.57	11.44 ± 3.28	13.20 ± 1.98 ^b
CK/CKMB	8.10 ± 3.20	10.27 ± 3.53 ^c	8.3 ± 4.17	9.55 ± 3.42	8.72 ± 4.2	9.78 ± 4.15	6.45 ± 2.30 ^c
cTnI (ng/ml)	0.25 ± 0.15 ^d	0.22 ± 0.05 ^e	0.69 ± 0.73	0.74 ± 0.86	1.30 ± 2.16 ^d	0.98 ± 0.87 ^e	0.20 ± 0.01
ECG (%)	Normal in 10 patients %83	Abnormal results in 9 patients %100	Constant in all patients %100	Constant in 8 patients %88	Constant in all patients %100	Constant in 8 patients %88	Normal
ECHO (%)	Normal in 10 patients %83	Abnormal results in 5 patients %55	Constant in all patients %100	Constant in 6 patients %66	Constant in all patients %100	Constant in 6 patients %66	Normal

Data are given as mean ± standard deviation.

SAP: Stable Angina Pectoris, USAP: Unstable Angina Pectoris, ECG: Electrocardiographic examination percent of normal or constant finding to all patients in specified group of patients,

ECHO: Echocardiographic examination percent of normal or constant finding to all patients in specified group of patients.

^a p=0.035 (Mann-Whitney U Test) Preoperative results of SAP and USAP patients.

^b p=0.058 (Mann-Whitney U Test) Preoperative USAP and control group.

^c p=0.018 (Mann-Whitney U Test) Preoperative USAP patients and control group.

^d p=0.032 (Mann-Whitney U Test) Preoperative and postoperative 24th h of SAP patients.

^e p=0.041 (Mann-Whitney U Test) Preoperative and postoperative 24th h of USAP patients.

and control group. We found a significant increase in cTnI levels at 24 h (0.24±0.05 vs 1.14±1.65 ng/ml, p=0.019) in comparison to preoperative values, whereas CK and CK-MB levels did not show any significant alterations, simultaneously.

When we compare the stable angina pectoris (SAP) patients to unstable angina pectoris patients (USAP) no statistical difference were detected between any of the parameters at preoperative, 8h and 24 h samples except at comparison of preoperative CK levels (p=0.035) in SAP and USAP patients (Table 3). We found that in SAP and USAP patients cTnI values were not significantly different from each other in any of the groups. However, both in SAP and USAP patients cTnI levels were significantly higher at postoperative 24h levels than the preoperative levels (p=0.032), (p=0.041), respectively.

DISCUSSION

It is suggested that after PTCA operation, at about 20% of patients elevated CK or CK-MB isoform is observed (3). Such elevations have been associated with increased risks for death, myocardial infarction (MI) and repeat revascularization (3,4). A recent study by Stone et al. (5) of 7,147 patients with systematically collected CK-MB after PTCA suggested that the relationship with in-hospital death may be manifest only at higher CK-MB levels. Compared with CK or CK-MB, the cardiac troponins are more specific biomarkers of myocardial necrosis and may be more sensitive in detecting myonecrosis after PTCA (6). Elevated creatine kinase-MB is prognostically important after PTCA, but the diagnostic significance of elevated cTnI after PTCA and the time of the elevation is rather uncertain.

In recent studies elevations of CK and CK-MB levels following PTCA have been used as a prognostic marker (4,7). Elevation of CK and CK-MB enzymes after PTCA has been shown up to %20 in some studies (6). In our study, we found no statistical increase in total CK and CK-MB levels in our patients. We also found no complications after PTCA and all patients were discharged uneventfully on postoperative first day.

In recent years the gold standard parameter CK-MB in detecting myocardial ischemia was replaced by cardiac troponin I and have also been proposed as a better marker than lactate dehydrogenase isoenzyme-1 in late ischemic events (8-11). Compared with CK or CK-MB, cardiac troponins are more specific biomarkers of myocardial necrosis and may be more sensitive in detecting myonecrosis after PTCA (12,13). cTnI is an inexpensive and widely applicable tool that offers reliable prognostic information for the risk stratification of patients undergoing PTCA in acute coronary syndromes. But only little information have been proposed in cTnI levels after PTCA (14,15). It has been shown that after myocardial ischemia cTnI has started to increase at 4-6th hours and stayed elevated up to 6-8 days (16). Thus it was shown in different studies that in detecting minor myocardial damage cTnI is the most sensitive marker (17, 18). CK-MB levels have been elevated at 2nd hour after endomyocardial biopsy, 4±2 hour after endomyocardial cardioversion and at 24 hour after angioplasty (19). It has been concluded that after PTCA CK-MB elevation could not be detected where as cTnI elevation could easily be detected at the 8th hour serum samples. In our study we observed similar findings that although, no alterations were found at CK-MB levels, we observed significant increases at cTnI levels at postoperative 24th h samples.

Our results verify these data such as the preoperative CK, CK-MB levels were normal in all patients and cTnI levels were normal. At 8 th hour after PTCA, 3 patient's (14.2%) and at 24 th hour 9 patient's (42.8%) cTnI levels significantly increased. Serum CK levels did not increased above the reference ranges in any of the patients. In only one patient serum CK-MB level increased at 24th hour. In a

recent study, it was stated that heparinised plasma revealed lower cardiac troponin I levels than the serum samples (20). Thus it is known that heparin has an half-life of 6 hours so to avoid the heparinised plasma interference; we planned to obtain serum samples at 8th and 24th hours in our study.

CONCLUSION

In the present study, no difference in serum cardiac troponin I levels were observed between stable angina pectoris and unstable angina pectoris patients in stenting after successful PTCA operation. We are of the opinion that, PTCA may cause minor damage in myocardium; and serum cTnI level is more sensitive and specific for monitoring minor myocardial injury than the conventional markers.

REFERENCES

1. Harris BM, Nageh T, Marsden JT, Thomas MR. Comparison of troponin T and I and CK-MB for the detection of minor myocardial damage during interventional cardiac procedures. Ann Clin Biochem 2000; 37: 764-769.
2. Braunwald E. Unstable angina: A classification. Circulation 1989; 80: 410-414.
3. Califf RM, Abdelmeguid AE, Kuntz RE, Popma J, Davidson C. Myonecrosis after revascularization procedures. J Am Coll Cardiol 1998; 31: 241-251.
4. Abdelmeguid A, Topol E, Whitlow P, Sapp S. Significance of mild transient release of creatine kinase-MB fraction after percutaneous coronary interventions. Circulation 1996; 94: 1528-1536.
5. Stone GW, Mehran R, Dangas G, Lansky AJ, Kornowski R, et al. Differential impact on survival of electrocardiographic Q-wave versus enzymatic myocardial infarction after percutaneous intervention:a device-specific analysis of 7147 patients. Circulation 2001; 104: 642-647.
6. Castanellani A, Sofiati G, Vincenzi M. Troponin T, troponin I and creatine kinase-MB mass after elective coronary stenting. Coron Artery Dis 1996; 7: 535-540.
7. Kong T, Davidson C, Meyers S, Tauke J. Prognostic implication of creatine kinase elevation following elective coronary artery interventions. JAMA 1997; 277: 461-466.
8. Bhayana V, Henderson AR. Biochemical markers of myocardial damage. Clin Biochem 1995; 28: 1-29.
9. Jaffe AS, Landt Y, Parvin CA. Comparative sensitivity of cardiac troponin I and lactate dehydrogenase isoenzymes for diagnosing acute myocardial infarction. Clin Chem 1996; 42: 1771-1776.

10. Stromme JH, Johansen O, Brekke M. Markers of myocardial injury in blood following PTCA: a comparison of CK-MB cardiospecific troponin T and troponin I. *Scand J Clin Lab Invest* 1998; 58: 693-699.
11. Katrukha A, Bereznikova A, Filatov V, Esakova T. Biochemical factors influencing measurement of cardiac troponin I in serum. *Clin Chem Lab Med* 1999; 37: 1091-1095.
12. Antman E, Tonosijevic M, Thompson B, Schoetman M. Cardiac-specific troponin-I levels to predict the risk of mortality in patients with acute coronary syndromes. *N Eng J Med* 1996; 335: 1342-1349.
13. Olatidoye A, Wu A, Feng Y, Waters D. Prognostic role of Troponin T versus I in unstable angina for cardiac events with meta-analysis comparing published studies. *Am J Cardiol* 1998; 81: 1405-1411.
14. Garbarz E, Lung B, Lefeuve G, Makita Y, Farah B. Frequency and prognostic value of cardiac Troponin I elevation after coronary stenting. *Am J Cardiol* 1999; 84: 515-518.
15. Saadeddin SM, Habbab MA, Sabki SH, Ferns GA. Detection of minor myocardial injury after successful percutaneous transluminal coronary angioplasty with or without stenting. *Med Sci Monit* 2000; 6: 708-712.
16. Cummings B, Cummings P. Cardiac specific troponin I radio-immunoassay in the diagnosis of acute myocardial infarction. *Am Heart J* 1987; 113: 1333-1344.
17. Saadeddin SM, Habbab MA, Sabki SH. Minor myocardial injury after elective uncomplicated successful PTCA with or without stenting detection by cardiac troponins. *Catheter Cardiovasc Interv* 2001; 53: 188-192.
18. Saadeddin SM, Habbab MA, Sabki SH, Ferns GA. Detection of minor myocardial injury after successful percutaneous transluminal coronary angioplasty with or without stenting. *Med Sci Monit* 2000; 6: 708-712.
19. Oh JK, Shub C, Ilstrup DM, Reeder GS. Creatine kinase release after successful percutaneous transluminal coronary angioplasty with or without stenting. *Med Sci Monit* 2000; 6: 708-712.
20. Stiegler H, Fischer Y, Jaine F. Lower cardiac troponin T and I results in heparin-plasma than in serum. *Clin Chem* 2000; 46: 1338-1344.

KLİNİK ÇALIŞMA

İZMİR ATATÜRK EĞİTİM HASTANESİ TIP DERGİSİ 2004, 42 (2): 109-115

Muharrem ÇOCUK
Yavuz ONAY
Tayfun ADANIR
Kaan KATIRCIOĞLU
Serdar SAVACI

Atatürk Eğitim ve Araştırma
Hastanesi Anesteziyoloji ve
Reanimasyon Kliniği, İZMİR

POSTOPERATİF İNTRAVENÖZ PCA İLE TRAMADOL UYGULANAN HASTALARDA BULANTI - KUSMANIN ÖNLENMESİNDE DEXAMETAZON, METOKLOPRAMİD VE TROPİSETRON'UN KARŞILAŞTIRILMASI*

The Comparison of Dexamethasone,
Metoclopramide and Tropisetron for Preventing
Nausea-Vomiting in Patients Whom Administering IV
Tramadol Postoperatively

* Bu çalışma 2002 TARK Kongresi'nde poster olarak sunulmuştur.

ÖZET

Postoperatif ağrı tedavisinde uygulanan tramadolun oluşturduğu bulanti kusmanın önlenmesinde deksametazon, metaklopramid ve tropisetronun etkinliğini araştırmak amacı ile, genel anestezi altında elektif total abdominal histerektomi ve bilateral salpingooforektomi operasyonu geçiren ASA 1-3 grubunda 15-65 yaş arası her iki cinsten hastalara postoperatif HKA ile tramadol uygulandı. Bulanti- kusma gelişen 60 olgu çalışmaya alındı. Hastalar rast gele 20'şerli üç gruba ayrıldı. Antiemetik olarak birinci gruba dexametazon, ikinci gruba metoklopramid, üçüncü gruba tropisetron uygulandı. Postoperatif 0, 15, 30, 60. dakika ve 2, 4, 8, 12, 24. saatlerde SAB, DAB, OAB, KAH, VAS ağrı, sedasyon skaları, yan etkiler ve bulanti kusmaları izlendi.

Her üç grupta SAB, DAB, OAB, KAH, VAS, sedasyon değerlerinde benzerlik gözlenmesine karşın I. Grupta 60. dakika, II. Grupta 30. dakika, III. grupta 15. dakikadan itibaren bulanti-kusmayı önlemeye kendi içlerinde anlamlılık gözlendi.

Postoperatif HKA ile IV tramadol uygulamasının neden olduğu bulanti-kusmanın tedavisinde tropisetronun diğer ajanlara göre daha etkin olduğu kanıtlanmıştır.

SUMMARY

The aim of this study is to search the efficacy of dexamethasone, metoclopramide, and tropisetron preventing nausea-vomiting due to tramadol which is administered for postoperative pain.

ASA 1-3 status and 15-65 years old patients, who underwent TAH+BSO under general anesthesia, were administered IV tramadol via PCA postoperatively. Sixty patients who had nausea-vomiting were included the study. The patients were randomly divided into 3 groups. In the first group (n=20) dexamethasone, in the second (n=20) group metoclopramide and in the third group (n=20) tropisetron

Key Words:

Postoperative pain
management, tramadol,
nausea-vomiting,
tropisetron, dexamethasone,
metoclopramide

Yazışma Adresi: Dr. Tayfun ADANIR

Atatürk Eğitim ve Araştırma Hastanesi

Anesteziyoloji ve Reanimasyon Kliniği Basınsitesi / İZMİR

Tel: 244 44 44 / 2602 - 2380 E-mail: tadanir@turk.net

were used as antiemetic drug. SAP, DAP, MAP, HR, VAS of pain, sedation scala, adverse effects and nausea-vomiting were searched at 0., 15., 30., 60. Minutes and 2., 4., 8., 12., 24. hours postoperatively.

Although there were similar results for SAP, DAP, MAP, HR, VAS of pain, sedation scala and adverse effects in all groups, preventing nausea-vomiting was succeed at 60. minute, 30. minute and 15. minute in the first, second, and third groups respectively.

In our opinion, tropisetron is more effective than dexamethasone and metoclopramide for treatment nausea-vomiting due to administering IV tramadol via PCA postoperatively.

GİRİŞ

Postoperatif ağrı, cerrahi travma ile başlayan ve doku iyileşmesi ile giderek azalan akut bir ağrıdır. Hastada sıkıntı, depresyon, bulantı-kusma ve anksiyete yaratan bu ağrı, önemli fizyopatolojik değişikliklere neden olmaktadır.

Anesteziyle ilişkili hayatı tehdit edici komplikasyonların giderek azalması sonucunda araştırmacılar cerrahiyi takiben ortaya çıkan sık ve sıkıntı yaratan semptomlara yöneldiler. Postoperatif bulantı kusma (POBK)'da bunlardan biridir. Bununla beraber birçok araştırmacı POBK sendromunu tedavi gerektirmeyen küçük bir sorun olarak görerek tüm enerjilerini postoperatif ağrıyi etkili olarak dindirebilmeye adamışlardır. Buna karşılık bazı araştırmacılarında POBK'yı operasyonun kendisinden bile daha zayıf düşürücü olduğunu belirtmektedirler. Bu komplikasyon sadece rahatsızlık verici veya can sıkıcı olmakla kalmaz, ciddi boyutlarda olduğu zaman, süturnerde zorlanmaya, yara iyileşmesinde gecikmeye, kanamaya, elektrolit dengesizliklerine, dehidratasyona ve çok daha ciddi olarak mide içeriğinin pulmoner aspirasyonuna neden olur.

Çalışmamızın amacı; tramadol ile postoperatif etkin analjezi sağlanmış hastalarda önemli sorun olan bulantı-kusmanın giderilmesi üzerine antiemetik ajanlarının (Dexametazon, Metoklopramid, Tropisetron) etkinliğini araştırmaktır.

GEREÇ VE YÖNTEM

Total Abdominal Histerektomi + Bilateral Salpingo Ooforektomi (TAH + BSO) uygulanan ASA I-III risk grubuna giren 15-65 yaş arası her iki

cinsten hastalar çalışmaya alındı. Morbit obez, hipotansif ve kontrollsüz hipertansiflerle, belirgin aritmî, bradikardi (kalp atım hızı 60/dk ve altı) ve dal blogu gibi kardiak ileti defeği olanlar, belirgin akciğer böbrek ve karaciğer fonksiyon bozukluğu bulunanlar, ağrı tedavisi görenler, anti pisikotik kullananları ve kooperasyon kurmakta zorluk çekilen hastalar ve postoperatif bulantı-kusması olmayan hastalar çalışmaya alınmadı.

Postoperatif HKA ile tramadol uygulanan hastalar dan bulantı-kusma gelişen 60 olgu çalışmaya alındı.

Tüm hastalar bir gün önceden preoperatif vizitte değerlendirilirken yapılacak uygulama hakkında bilgilendirildi ve izinleri alındı. Ayrıca postoperatif dönemde ağrılarını değerlendirecekleri vizüel analog skalası (VAS) (Tablo 1) ve kullanacakları HKA cihazı (Abbot Pain Management Provider) hakkında bilgi verildi.

Tablo 1. Vizüel Analog Skalası.

0	1	2	3	4	5	6	7	8	9	10
0 Hiç ağrı yok										
10 Dayanılmaz ağrı										

Operasyondan 30 dakika önce üç gruptaki olgulara premedikasyon amacıyla diazepam 10 mg (i.m) ve atropin 0.5 mg (i.m) uygulandı. Olguların tümüne periferik damar yolu açıldıktan sonra ameliyat süresince %0.9 NaCl solüsyonu verildi. Tüm olgular operasyon sırasında monitorize (non invaziv sistolik ve diyastolik arter basıncıları, EKG ve transkutan oksijen saturasyonu) edildi. Preoksijenizasyondan sor

ra anestezi indüksiyonu % 2.5'luk tiyopental 7 mg/kg (i.v) ve sisatrakuryum besilat 0.15 mg/kg (i.v) ile sağlandı. Anestezi idamesi %50 N₂O, %50 O₂ ve %1-2 sevofluran ile devam etti. Kas gevşetici gerektiğinde sisatrakuryum besilat 0.05 mg/kg (i.v) uygulandı ve tidal volümeli 10 ml/kg, solunum sayıları 10 soluk/dak.; ins/eks. oranları 1:2 olacak şekilde tüm hastalar mekanik olarak ventile edildi.

Hastalar operasyon bitimini izleyerek, 0.03 mg/kg neostigmin 0.01 mg/kg atropin sülfat (i.v) ile dekúrarizasyon yapıldı, ekstübasyon sonrası yüz maskesi ile %100 O₂ solutularak hastalar uyandırıldı. Yeterli derlenme sağlandıktan sonra hastalar postoperatif bakım ünitesine alındı. Postoperatif bakım ünitesinde ağrı tedavisi için, HKA cihazı ile İ.V tramadol yükleme dozu 50 mg, basal infüzyon 5 mg/saat, bolus doz 20 mg, kilitli kalma süresi 20 dakika olacak şekilde programlandı.

Gruplar HKA ile tramadol sonrası bulantı-kusması olanlar 20'şerli olarak ayrıldı. Bulantı-kusmayı önlemek amacıyla uygulanan ilaçlara göre grupperdirildi. Bulantı-kusması olanlara ilaçlar bolus olarak uygulandı.

Grup I : Dexametazon 8 mg İ.V

Grup II : Metoklopramid 10 mg İ.V

Grup III : Tropisetron 5 mg İ.V grupperdirildi.

Her üç grupta da postoperatif dönemde i.v tramadol infüzyonundan önce (0. saat = basal değer) ve ilk dozdan 15 dakika sonra, ayrıca 30., 60., dakikalar ve 2., 4., 8., 12., 24. saatlerde; ağrı düzeyi (VAS ile), bulantı-kusma (skala olarak 0= yok, 1= bulantı, 2= kusma), sedasyon skoru (Ramsey Sedasyon Skalası ile Tablo 2), kalp atım hızı (KAH), sistolik arter basıncı (SAB), diastolik arter basıncı (DAB), ortalama arter basıncı (OAB), transkutan oksijen satürasyonu (SpO₂) kaydedildi; ayrıca tüm uygulama boyunca

Tablo 2. Ramsey Sedasyon Skalası.

- 1- Sinirli, ajite ve / veya huzursuz hasta
- 2- Koopere, oryante ve sakin hasta
- 3- Uykuya eğilimli sadece komutlara uyan hasta
- 4- Uyuyan, glabellaya vurma veya yüksek sese hemen yanıt veren hasta
- 5- Uyuyan, glabellaya vurma veya yüksek sese yavaş yanıt veren hasta
- 6- Bu uyarılara hiç yanıt vermeyen hasta.

görülen yan etkiler de (solunum depresyonu, aşırı sedasyon, terleme, baş dönmesi, kaşıntı) kaydedildi.

Sonuçlar ANOVA, Mann-Whitney Testi, Paired T, Cochran Q Testi, Kruskal-Wallis Testi, Oneway testleri ile değerlendirildi.. P< 0.05 değeri istatistiksel olarak anlamlı kabul edildi.

BULGULAR

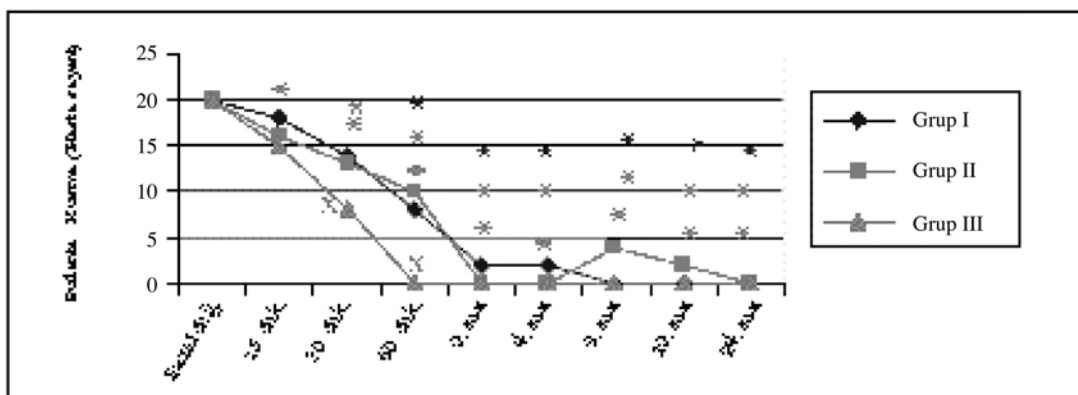
Yapılan istatistiksel incelemede hastaların yaş, boy, ağırlık ve cinsiyet ortalamaları açısından gruplar arasında anlamlı farklılık saptanmadı ($p>0.05$), (Tablo 3).

Vakaların SAB, DAB, OAB Ortalamaları karşılaştırıldığında grup içi ve gruplar arasında bazal değer ile diğer ölçümler arasındaki farklılık istatistiksel olarak anlamlı bulunmadı ($p>0.05$). KAH ortalamaları karşılaştırıldığında gruplar arasında istatistiksel olarak anlamlı farklılık bulunmadı ($p>0.05$). Gruplar kendi içinde bazal KAH değeri ile diğer zamanlarda ölçülen KAH'ları karşılaştırıldığında 2., 4., 8., 12., 24. saatlerde başlangıç değere göre farklılık istatistiksel olarak anlamlı bulundu ($p<0.05$).

Grupların zamana göre bulantı-kusma değerleri incelendiğinde; III. grup (tropisetron grubu) 15. dakika ve sonraki zaman dilimleri içinde bulantı-kusmayı önlemede kendi içinde istatistiksel anlamlılık göster-

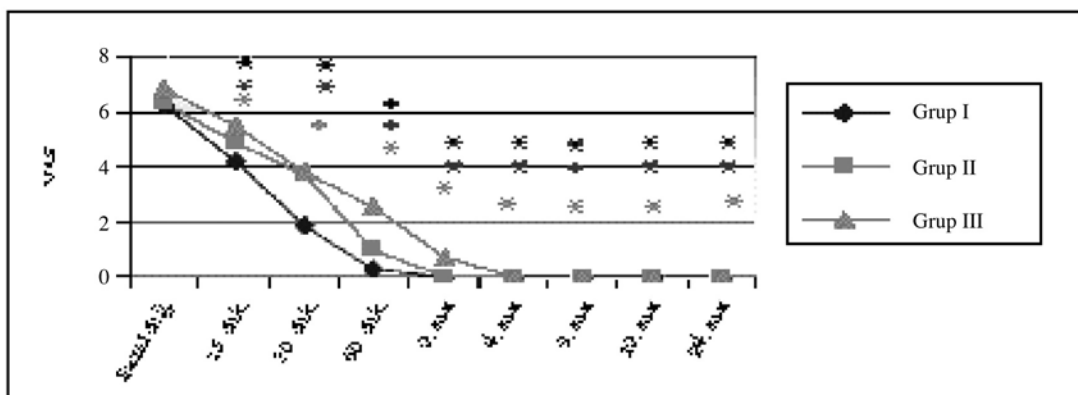
Tablo 3. Çalışmaya katılan hastaların demografik verileri.

	Yaş (yıl)	Boy (cm)	Vücut Ağırlığı (kg)	Cinsiyet (E/K)
Grup I (n=20)	43.9 ± 11.8	160 ± 6.8	69.2 ± 10.9	5/15
Grup II (n=20)	47.3 ± 12.1	166 ± 6.0	68.6 ± 8.47	12/8
Grup III (n=20)	50.2 ± 11.3	163 ± 5.9	68.9 ± 9.2	11/9



Grafik 1. Grupların zamana göre bulantı-kusma grafiği.

* p<0.05 grup içi anlamlılık, * p<0.05 grup içi anlamlılık, * p<0.05 grup içi anlamlılık, x p<0.05 gruplar arası anlamlılık



Grafik 2. Gruplar arası VAS değerlerinin zamana göre değişim grafiği.

* p<0.05 grup içi kontrol değerine göre anlamlı düşüş, * p<0.05 grup içi kontrol değerine göre anlamlı düşüş,
* p<0.05 grup içi kontrol değerine göre anlamlı düşüş

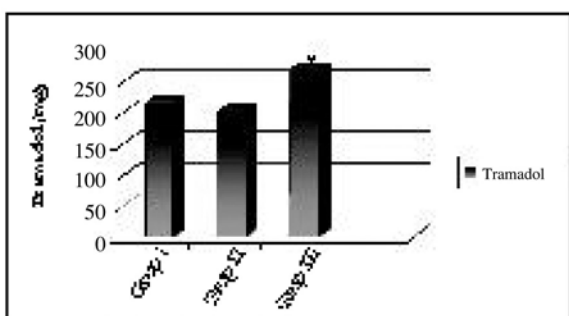
mektedir ($p<0.05$). Grup II (metoklopramid) 30. dakika ve sonraki zaman dilimleri içinde istatistiksel anlamlılık göstermemektedir ($p<0.05$). Grup I (dexametazon) 60. dakika ve sonraki zaman dilimleri içinde istatistiksel anlamlılık göstermemektedir ($p<0.05$). Gruplar arası karşılaştırmada grup III 30. ve 60. dakikalarda diğer grplara göre istatistiksel anlamlılık göstermektedir ($p<0.05$) (Grafik 1).

Gruplar arası VAS değerleri karşılaştırıldığında istatistiksel olarak anlamlı fark saptanmadı ($p>0.05$). Gruplar kendi içinde değerlendirildiğinde 15. dakikanın sonraki ölçümlerde istatistiksel olarak anlamlı azalma tespit edilmiştir ($p<0.05$). Grupların postoperatif dönemdeki 0., 30., 60. dakikalardaki ve 2., 4.,

8., 12., 24. saatlerdeki VAS değerleri Grafik 2'de gösterilmiştir.

Gruplar aralarında, kullanılan tramadol miktarları açısından karşılaştırıldığında; grup III dışındaki grupların benzer olduğunu görüyoruz. Grup III'te ise diğer grplara göre anlamlı bir artış göremekteyiz (Duncana testine göre anlamlıdır) ($p<0.05$) (Grafik 3).

Gruplar arasında yan etkiler (solunum depresyonu, kaşıntı, terleme, baş dönmesi, aşırı sedasyon) yönünden anlamlı fark bulunmamıştır. Dexametazon grubundan beş hasta aşırı bulantı-kusması olduğu için ek antiemetik (metoklopramid) yapılarak çalışma dışı bırakılmıştır. Tüm grplarda dört hastada tedavüge gerek kalmamıştır. Hastaların



Grafik 3. Grupların tükettiği Tramadol miktarı.

* Grup III diğer gruplara göre tüketim açısından anlamlıdır (Duncana testine göre).

Diger gruplar kendi arasında benzerlik göstermektedir.

iki tanesinde rahatsızlık vermeyen sebebi bulunanmayan terleme görülmüştür. Baş dönmesine hiç rastlanılmamıştır. Hiçbir hastada solunum depresyonu görülmemiştir. Hastaların tamamında aşırı derecede sedasyona rastlanılmamıştır.

TARTIŞMA

POBK, operasyondan sonra gelişen ciddi ve sık komplikasyonlardan biridir. Günümüzde POBK'yi önlemede yetersizlik devam etmektedir. Yaş, cinsiyet, obesite, gastroperezis, hareket bozuklukları ve anksiyete POBK'da hasta ile ilgili faktörlerdir. Kullanılan anestezik ajan ne olursa olsun, bazı cerrahi tiplerinde; jinekolojik, abdominal, baş ve boyun, göz, diş, laparaskopik, pediatrik ve bazı ortopedik operasyonlarda POBK daha sık görülür (1-3). Operasyon süresi ne kadar uzun ise POBK görme insidansı o kadar artar. Belki de bu hastanın daha çok emetojenik anestezik ajana maruz kalmasından dolayıdır (1,3,4).

POBK, ağrı ve tedavisi, baş dönmesi, ambulasyon, oral alım, hidrasyon durumu gibi faktörlere bağlı olabilir.

Cerrahi travma; ağrı iletimi ile ilgili merkezlerde postoperatif ağrının artmasına, uzamasına ve kalıcı postoperatif ağrı oluşmasına yol açabilecek değişiklikler oluşturabilir. Ağrının artması veya uzaması pulmoner, gastrointestinal, kardiovasküler ve üriner disfonksiyon, kas metabolizması ve fonksiyonunda bozulma, nöroendokrin ve metabolik değişiklikler oluşturur. Değişikliklerden özellikle pulmoner ve

gastrointestinal disfonksiyon POBK'yi arttırmır. Ağrı nedeniyle azalan tidal volüm hastada hipoksieye açar, hipoksiden karotid ve aortik cisimlerini (PCO_2 , oksijen, ve PH'ya duyarlı) uyarır. Uyarılan cisimlerin solunum merkezinin yanından geçen glossofaringea ve vagus siniri aracılığı ile bulanı-kusmaya sebep olur (5). Ağrının sebep olduğu gastrointestinal disfonksiyon sonucu mide boşalmasında azalma, ince ve kalın barsak atonisine neden olur. Sonuçta distansiyon gelişir bu da POBK'ya sebep olur (6).

Tramadol ile yapılan çalışmalarda bu ilaçın bulanı-kusma sıklığı dışında klasik opioid yan etkilerin (solunum depresyonu, baş ağrısı, kulak çönlaması idrar retansiyonu, sedasyon, hipotansiyon, taşikardi terleme) hiç göstermediği, ya da opioidlere oranla daha az gösterdiği bulunmuştur (7). Baraka ve ark (8) epidural yoldan uyguladıkları tramadol ile %20 morfin ile ise %40 oranında bulanı-kusma saptamışlardır.

Tramadol opioid reseptörlerine zayıf etki eder. Ayrica nonopioid reseptörleri üzerine olan etki mekanizması analjezik profilini açıklayabilir. Tramadol nonadrenalin geri alımını inhibe eder, serotonin salımını stimüle eder. Noradrenalin ve serotonin dessenden inhibitör yolaklarının transmitterleri olup analjeziyi artırırlar. Nonopioid bu mekanizmalar solunum depresyonuna yol açmaz (9). Tramadol düşük dozlarda solunum depresyonu oluşturmaz. 20 mg/kg gibi çok yüksek dozlarda solunum frekansını artırmaktadır (10). Katı ve ark. (11) preemptif olarak epidural yoldan uyguladıkları tramadol çalışmasında; hastaların hiçbirinde sedasyon ve somnolans saptamamışlardır.

Tramadolün opioidler göre daha az yan etki göstermesi ve iyi analjezi sağlama nedeniyle yaptığımız çalışmada HKA ile tramadol hidroklorür kullanmayı tercih ettiğimiz.

Çalışmamızda ki SAB, DAB, OAB'daki değişiklikler hem klinik, hem de istatistiksel olarak anlamlı bulunmamıştır. KAH değerlerinde ise karşılaştırıldığında istatistiksel olarak anlamlı bulunmuştur; fakat bu klinik olarak (60/dk altına hiçbir hastada düşme olmadığı için) anlamlı değildir. KAH değerleri diğer araştırmacıların sonuçlarıyla benzerdir (12,13).

Yapılan çalışmalarda, farklı uygulama yolları ve farklı tekniklerle kullanılan tramadolun oldukça fazla miktarda bulantı ve kusmaya neden olduğu bildirilmiştir (8). Jellinek ve ark. (14) tramadolü İV HKA ve İV sürekli infüzyon tekniklerinin karşılaştırılmasında kullanılırken elde ettiği sonuçlarda her iki yöntemde de ilaç uygulamadan önce rutin olarak antiemetik kullanımını önermektedir.

POBK üzerine yapılan birçok çalışmada da metoklopramidin diğer antiemetiklere göre daha etkili olmadığı veya çok az etkili olduğu görülmüştür (15,16). Ancak daha önce yapılan çalışmalar metoklopramidin droperidol veya ondansetron kadar etkili olmadığını göstermektedir (17). Çalışmamız, araştırmacıları desteklemektedir. Metoklopramid dexame-tazondan daha etkili, tropisetrondan daha az antiemetik özellik göstermiştir.

Lacroix ve ark. (15) ve Polati ve ark. (18)'nın yaptığı bir çalışmada, metoklopramid uzamiş POBK'nın tedavisinde etkili bulunmuştur. Bizim çalışmamızda metoklopramid 30. Dakikadan sonra bulantı-kusmayı engellemeye klinik ve istatistiksel olarak anlamlı bulundu ($p<0.05$).

Dexametazon, hem perioperatif periodda, hem de kemoterapiye bağlı emezisin engellenmesinde uzun süreli etkiye sahiptir. Tzeng ve ark. (17) sezeryan sonrası epidural morfin ile ağrı tedavisinde bulantı-kusmayı önlemek için dexametazon profilaksisi, droperidol ve salin karşılaştırmasında dexametazonun etkili olduğunu bulmuşlardır. Çalışmamızda dexametazonun etkisinin diğer antiemetiklere göre geç (tropisetron 15 dak., metoklopramid 30 dak., dexametazon 60 dak.) başladığını; fakat metoklopramide yakın etki gösterdiğini gördük. Aynı etkiyi elde edebilmek için daha fazla dexametazon yapmak gerekti. Araştırmamızdaki dexametazon grubunda beş hastada aşırı derecede bulantı-kusma oluşmasından dolayı başka bir antiemetik (metoklopramid) yapmak zorunda kaldık. Ek antiemetik yaptığımız bu olguları çalışma dışı bırakıldı.

Capouet ve ark. (19)'nın yaptığı doz-cevap çalışmada, jinekolojik operasyon geçiren kadınlarda kullanılan tropisetronun (2 mg iv) antiemetik etkinliğinin ilk 24 saatlik dönemde bulantı-kusmayı engellemekte yetersiz kaldığı ve diğer antiemetik ilaçlara

İhtiyaç gösterdiğini bulmuştur. Araştırmamızda ise tropisetronun antiemetik etkisini yeterli bulundu ve başka antiemetik kullanmaya gerek duyulmadı. Araştırmamızda, Capouet ve arkadaşlarının yaptığı çalışmada farklı sonuç arasındaki, kullandığımız doz (5 mg) araştırmacıların dozundan (2 mg) yüksek olması ile açıklanabilir.

Russel ve ark. (20) tarafından yapılan başka bir çalışmada, tropisetronun emezi insidansını azalttığını ancak droperidol ve plesebo olan grupta azalma olmadığını göstermiştir. Çalışmamızda da diğer gruplara göre tropisetronun diğer bulantı-kusmayı önlemede daha başarılı olduğunu bulduk.

Ali-Melkkila ve ark. (21), elektif göz cerrahisi geçirecek hastalarda POBK'yi engellemekte metoklopramidin (0.25 mg/kg iv) etkili olduğunu ancak tropisetronun (0.1 mg/kg iv) etkili olmadığını göstermiştir. Bizim sonuçlarımız araştırmacıların bulguları ile çelişmektedir. Ancak şashılık operasyonu ve çocuklarda POBK daha yüksek oranda görülmektedir araştırmacıların sonucu belki hasta gurubu ve operasyonun farklılığı nedeniyle bizim sonuçlarımızla örtüşmemektedir. Biz çalışmamızda laparotomi ve TAH+BSO operasyonu geçirdikten sonra tramadol analjezisi uygulanan yetişkin hastalarda, tramadol bağlı gelişen bulantı-kusmayı araştırdık. Bulgularımızda, tropisetronun etkisinin dexametazon ve metoklopramidten daha çabuk başladığını; 24 saatlik gözlemede daha etkili olduğunu izledik.

Üç serotonin antagonistile (ondansetron, tropisetron, granisetron), metoklopramidin karşılaştırıldığı bir çalışmada, laparoskopik kolesistektomi geçirir yetişkinlerde, metoklopramidin, pleseboya herhangi bir üstünlüğü olmadığı belirtilmiştir (16). Bulgularımız çalışmayı desteklemektedir; fakat metoklopramid, dexametazona göre daha çabuk ve etkin antiemetik etki göstermiştir.

Yaptığımız çalışmada tropisetronun, tramadol bağlı oluşan bulantı-kusmayı önlemede, diğer antiemetiklere göre etkisinin daha çabuk başladığını (tropisetron 15 dk. metoklopramid 30 dk. dexametazon 60 dk.) gözlemledik.

Jan L. ve ark. (17) yaptıkları bir çalışmada, HKA ile uygulanan tramadolun ol uşturduğu bulantı-kusma te-

davisinde, ondansetron grubunun, kümülatif tramadol dozunun kontrol grubuna göre daha fazla olduğunu bulmuşlardır. Bizim çalışmamızda da, analjezi oluşturmak için tropisetron grubunun diğer grplara göre, kümülatif tramadol kullanımında belirgin bir artış gördük (dexametazon grubu 217 ± 13.2 , metoklopramid grubu 203.7 ± 22.4 , tropisetron grubu 271.7 ± 12.2) ($p < 0.05$). Bunun nedeni de tramadol ve tropisetronun her ikisinin de $5HT_3$ reseptörü üzerinde etkilerini göstermeleri olduğunu düşünüyoruz. Tropisetron $5HT_3$ reseptörlerini baskınlarken, tramadol ise reseptörlerin duyarlığını arttırarak etki göstermektedir.

Tramadol hangi yöntemle uygulanırsa uygulansın, tek hoş olmayan özelliği bulanı-kusmadır. Fakat özellikle opioid infüzyonlarında görülen solunum depresyonu, kaşıntı, tolerans, idrar retansiyonu v.b. yan etkilerin görülmeyiği tramadolü popüler hale getirmektedir.

Sonuç olarak, postoperatif ağrının birçok komplikasyona neden olmasından ve hekimliğin gerektirdiği etik zorunluluk nedeniyle, her hastada tedavi edilmelidir. Ağrıyi tedavi ederken küçük problemmiş gibi görünen yan etkileri de göz ardi etmemek gerekmektedir. Postoperatif ağrı tedavisi için HKA ile tramadol uygulamasında gelişen bulanı-kusmanın tedavisi için tropisetronun daha etkili olduğu kanıtındayız.

KAYNAKLAR

- Forrest JB, Cahalan MK, Rehder K, et al. Multicenter study of general anesthesia. II. Results. *Anesthesiology* 1990; 72: 262.
- Haigh CG, Kaplan LA, Dunhan JM, et al. Nausea and vomiting after gynaecological surgery: a meta analysis of factors affecting tahir incidence. *Br J Anaest* 1993; 71: 517.
- Patel RI, Hannallah RS. Anesthetic complications following pediatric ambulatory surgery. *Anesthesiology* 1988; 69: 1009.
- Cohen MM, Duncan PG, Tweed WA. The postoperative interview: assessing risk factors for nausea and vomiting. *Anaest Analg* 1994; 78: 7.
- Frossard N, Barnes PJ. Mu-opioid receptors modulate non-cholinergic constrictor nerves in guinea pig airways. *Eur J Pharmacol* 1987; 141: 519-522.
- Tramer M, Mouré A, Mc Quay H. Omitting nitrous oxide in general anesthesia: Metaanalysis of intraoperative awareness and postoperative emesis in randomized controlled trials. *Br J Anaest* 1996; 76: 86.
- Vickers MD, Paravicini D. Comparasion of tramadol with morphine for post operative pain following abdominal Surgery 1995; 12(3): 265- 271.
- Baraka A, Jabbour S, Ghabash M, Nader A, Khoury G, Sibai A. A comparison of epidural tramadol and morphine for postoperative analgesia. *Canadian Journal of Anaesthesia* 1993; 40; 308-313.
- Dhasmana KM, Banerjee AK, Raying W. Analgesic effect of tramadol in the rat. *ChungKuo Yao Li Hsueh Pao-Acta Pharmacologica Sinica* 1989; 10: 289-93.
- Şener S, Yücel A, Erdine J, Akpinar K. Postoperatif aneljizide tramadol hidroklorid. *Ağrı dergisi* 1991, 3:2.
- Kati İ, demirel CB, Abbasov ÜH, Silay E. Epidural yoldar verilen tramadol ve morfinin preemptif analjezik etkisinin karşılaştırılması. *TARCM* 2000; C: 29 S: 3, 124-128 2001.
- S Tuncer, H Barışkaner, T Aydemir, A Yosunkaya, Ş Otelcioğlu. İtraoperatif ve erken postoperatif analjezide tramadol hidroklorid kullanımı. *Ağrı* 1999; 11(1): 14-18.
- Jan L De Witte, Bart Schoenmaekers, Daniel I Sessler, Therry Deloof. The analgesic efficacy of tramadol is impaired by concurrent administration of ondansetron. *Anesth Analg* 2001; 19: 1319-21.
- Jellinek H, Haumer H, Grubhafer G. Patient controlled analgesia versus continuous infusion: Tramadol for treatment of postoperative pain. *Anaesthetist* 1990; 39: 513-520.
- Lacroix G, Lessard MR, Trepainer CA. Treatment of post-operative nausea and vomiting: comparison of propofol droperidol, and metoclopramide. *Can J Anaest* 1996; 43: 115.
- Naguib M, el Bakry AK, Khoshim MH, et al. Prophylactic antiemetic therapy with ondansetron, tropisetron, granisetron and metoclopramide in patients undergoing laparoscopic cholecystectomy. *Can J Anaesth* 1996; 43: 226.
- JI Tzeng, et al. Dexametasone for prophylaxis of nausea and vomiting after epidural morphine for posr-Caesarean section analgesia: comparision of droperidol and saline: 85(6): 865 2000.
- Polati E, Verlato G, Finco G, et al. Ondansetron versus metoclopramide in the treatment of postoperative nausea and vomiting. *Anesth Analg* 1997; 85: 395.
- Capouet V, De PC, Vernet B, et al. Single dos I.V. tropisetron in the prevention of posroperative nausea and vomiting after gynaecological surgery. *Br J Anaest* 1996; 76: 54.
- Russel D, Kenny GNC. 5-HT₃ antagonists in postoperative nausea and vomiting. *Br J Anaest* 1992; 69(Suppl): 63.
- Ali-Melkkila T, Kanto J, Katevou R. Tropisetron and metoclopramide in the prevention of posroperative nausea and vomiting: a comparative, placebo-controlled study ir patients undergoing ophthalmic surgery. *Anesthesia* 1996; 51: 232.

KLİNİK ÇALIŞMA

İZMİR ATATÜRK EĞİTİM HASTANESİ TIP DERGİSİ 2004, 42 (2): 117-121

Elif SELEK*
Sevil SAYHAN**
Emel DİKİCİOĞLU***

* SSK İzmir Eğitim Hastanesi
Patoloji Laboratuvarı, İZMİR
** SSK Ege Doğumevi ve Kadın
Hastalıkları Eğitim Hastanesi
Patoloji Laboratuvarı, İZMİR
*** Adnan Menderes Üniversitesi
Tıp Fakültesi, Patoloji Anabilim
Dalı, AYDIN

MEMENİN PAGET HASTALIĞI

Paget Disease of the Breast

Anahtar Sözcükler:

Meme karsinomu, Paget
hastalığı

ÖZET

İlk defa İngiliz cerrah Sir James Paget tarafından tanımlanan memenin Paget hastalığı, büyük duktuslardan gelişen meme başı ve areola derisine yayılan duktal karsinomun özel bir formudur. Patoloji servisinde 1989-2003 yılları arasında incelenen 308 mastektomi materyali içinde Paget hastalığı tanısı alan 5 olgu çeşitli özellikleri yönünden yeniden değerlendirildi. 4 olguda alttaki meme dokusu içinde tümör mevcut iken, 1 olguda çok sayıda örneklemeye rağmen alttaki meme dokusu içinde tümör bulunamadı. Olgular meme karsinomlarında прогнозu etkileyen değişik histopatolojik parametreler açısından incelendi.

SUMMARY

Paget disease of the breast, first described by an English surgeon Sir James Paget, is a special variant of ductal carcinoma which spreads to breast nipple and areola skin.

Five cases of Paget disease of the breast diagnosed at the Hospital among 308 mastectomy materials during 1989-2003 years were reviewed. Underlying carcinomas were found in four cases, but we couldn't find a tumor in one, although the specimen was evaluated by multipl sections. We discussed the prognostic factors in these five cases in the view of the literature.

GİRİŞ

İngiliz cerrah Sir James Paget tarafından 1874 yılında tanımlanır. Paget hastalığı, büyük duktuslardan gelişen, meme başı ve areola derisine yayılan, duktal karsinomun özel bir formudur. Meme karsinomlu olgular içinde görme oranı %0.7-4.3 arasında değişmektedir. Sıklıkla kadınlarda来看看吧 erkek memesinde de birkaç olgu bildirilmiştir (1-4).

Yazışma Adresi: Dr. Sevil SAYHAN

SSK Ege Doğumevi ve Kadın Hastalıkları Eğitim Hastanesi
Patoloji Laboratuvarı Yenişehir / İZMİR
Tel: (0.232) 449 49 49/164 Cep Tel: 0533 5195414
E-mail: sevilsayhan@yahoo.com.

Olguların büyük bölümünde meme dokusu içinde insitu ya da invazif bir karsinom mevcuttur (3,5). Ancak mastektomi piyesinden alınan çok sayıda örneğin histopatolojik incelemesi sonucunda in situ ya da invazif tümör bulunamayan lezyonun yalnız epidermise sınırlı olduğu az sayıda Paget olgusu bildirilmiştir (1,6). Bu olguların epidermisin basal tabakaşına lokalize, glandüler differansiyasyon gösterebilen, multipotansiyel epitelyal hücrelerin in situ malign değişimi sonucu geliştiği kabul edilmektedir (6).

Son yıllarda yapılan immünohistokimyasal çalışmalar, Paget hastalığının intraepidermal multipotansiyel hücrelerden ziyade memenin büyük duktuslarından köken alan, laktiferöz duktuslar boyunca meme başı ve areola derisine yayılım gösteren bir karsinom tipi olduğunu desteklemektedir (2-5). Tümör hücrelerinin epidermisi tutmaları sonucu meme başı ve areola derisinde egzemaya benzer değişiklikler ortaya çıkar. Histolojik olarak epidermisde özellikle bazal tabaka boyunca yoğunlaşmış malpighi tabakaşına da yayılabilen, atipik nüveli geniş şeffaf sitoplazmali hücrelerin tek tek ya da gruplar ve nadiren de tubul yapıları oluşturması ile karakterizedir (7,8).

Paget hücreleri sıklıkla musin içerirler. Altta dermisde değişik derecelerde kapiller proliferasyon ve inflamasyon gösterir.

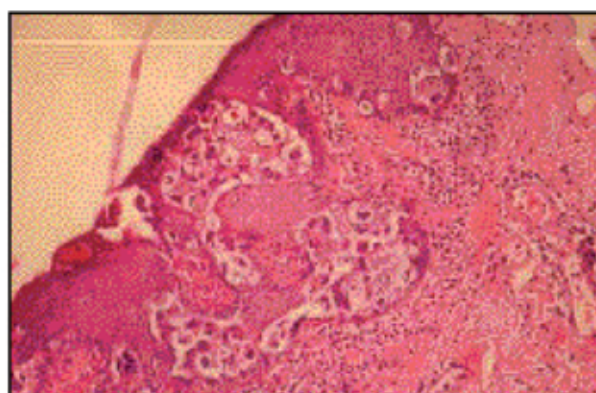
Prognoz meme başındaki intraepitelial komponentin görünümü veya varlığından çok, altta karsinomun in situ ya da invaziv oluşuna ve aksiler lenf nodu tutulumunun olup olmamasına bağlıdır (1,3,9).

GEREÇ VE YÖNTEM

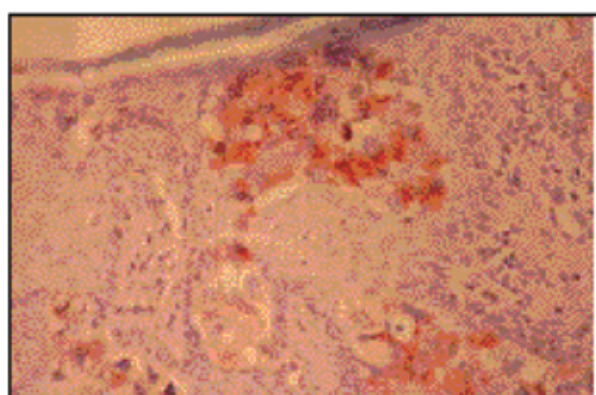
SK İzmir Eğitim Hastanesi Patoloji laboratuvarına 1989-2003 yılları arasında gelen 308 mastektomi materyali arasında 5 olgu meme başının Paget hastalığı olarak değerlendirilmiştir.

Tümüne modifiye radikal mastektomi uygulanan olgularda meme başının tutuluşu, altta tümör varlığı ve çapı araştırıldı. Rutin takip ve hematoksilen-eozin boyalı preparatlar (Resim 1) yanı sıra intrasitoplazmik musin varlığını belirlemek için periodic acid Schiff (PAS), diastazlı-PAS ve Alcian-Blue (pH 2,5) özel boyaları uygulandı. Ayrıca immünohistokimyasal olarak CEA, c-erbB2, citokeratin-7, S-100 ve

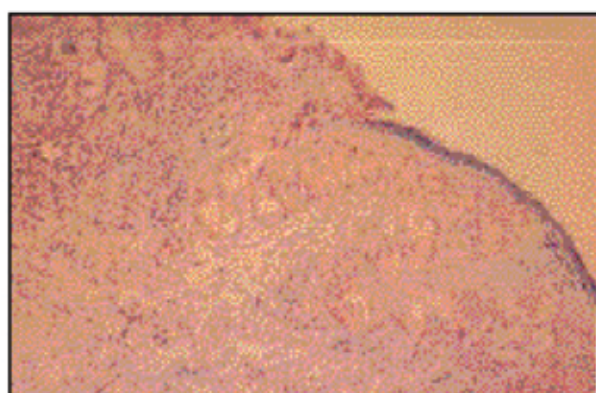
HMB-45 (Dako,Carpinteria) kullanıldı (Resim 2, 3) Standart örneklemle ile elde edilen bu kesitler meme karsinomlarında "prognozu etkileyen histolojik parametreler" esas alınarak incelendi.



Resim 1. Memenin Paget Hastalığı. Epidermisde geniş sitoplazmali Paget hücrelerinin infiltrasyonu (H&Ex50).



Resim 2. Paget hücrelerinde immünohistokimyasal CEA boyanması (anti CEAx100).



Resim 3. Paget hücrelerinde immünohistokimyasal c-erbB2 boyanması (anti c-erbB2x100).

BULGULAR

Olgularımız 38-71 yaşları arasında olup, ortalama yaşı 50'dir. Dört olguda alttaki meme dokusu içinde tümör mevcut iken, bir olguda çok sayıda örneklemeye (86 adet) rağmen alttaki meme dokusu içinde tümör bulunamamıştır. Tümör üç olguda sol meme, iki olguda ise sağ meme yerleşimlidir. Olguların birinde tümör üst-iç santral kadran, birinde alt-iç santral kadran lokalizasyonlu olup, iki olguda tümör çapının büyük olması nedeniyle birden fazla kadranda yaygın tutulum izlendi. En küçük tümör boyutu 2,5 cm, en büyük tümör boyutu 5 cm olarak ölçüldü. Olguların tümünün aksiler bölgelerinden 9 ve üzerinde lenf nodu disseke edildi. Alttağı meme dokusu içinde tümör mevcut olan dört olgudan ikisinde tümör intraduktal komponenti belirgin invazif duktal karsinom, iki olguda ise intraduktal karsinom histolojisindeydi (Tablo 1).

Tümör içeren olguların tamamında mevcut olan intraduktal karsinom, 3 olguda komedo tipte, bir olguda ise kribiform tiptedir.

Olguların tamamında eşlik eden lezyon olarak memenin kistik hastalığı izlenirken, bir olguda ek olarak

granülomatöz yanığı, bir olguda da duktal hiperplaz görüldü.

Aksiller lenf nodu tutulumu izlenen 3 olguda metastatik tümörün görünümü invaziv duktal karsinom histolojisindeydi.

Komedo tipte duktal in situ karsinom içeren 3 olguda nekroz ve kalsifikasyon mevcuttu. Periduktal elastozis 2 olguda izlendi.

Lenfositik immün yanıt 2 olguda hafif derecede, 2 olguda ise orta derecedeydi.

Olguların histolojik özellikleri Tablo 2'de gösterildi. Damar tutulumu izlenen 2 olguda tümör çapı büyük olup, metastatik lenf nodu sayısı yükseldi. Bu olgulardan birinde perinöral invazyon mevcuttu.

Olguların tamamında, meme dokusu içindeki tümör ve meme başı epidermisi içindeki Paget hücrelerinin sitoplazması, musin içeriğini belirlemek için uygulanan PAS, D-PAS ve Alcian-Blue (AB: pH 2,5) özel boyaları ile (+) boyandı. Ayrıca tümör hücrelerinde CEA (+), c-erbB2 (+), citokeratin 7 (+), S-100 (-) HMB-45 (-) di. İmmühistokimya ve histokimya sonuçları topluca Tablo 3'te gösterildi.

Tablo 1. Olguların genel özelliklerini.

Olgu	Yaş	Sağ/Sol meme	Kadran	Çap (cm)	Meme Başı T.	Deri T.	Fasya T.	Lenf nodu T.
1	50	Sol	Yaygın	5	+	-	-	25/33
2	71	Sol	Alt-iç s.	2,8	+	-	-	0/11
3	49	Sağ	Yaygın	5	+	-	-	26/27
4	38	Sağ	-	-	+	-	-	0/9
5	42	Sol	Üst-iç s.	2,5	+	-	-	1/13

T.: Tutulum

Tablo 2. Olguların histolojik özelliklerini.

Olgu	Alttaki Tm.	Kalsifikasiyon	Nekroz	Elastozis	Lenfositik yanıt	Perinöral invazyon	Damar invazyonu	İn situ Tm. Tipi	Eşlik eden lezyon
1	İTK	+	+	+	++	+	+	DK	MKH+Gr. yg
2	İTK+İDK	+	+	+	++	-	-	DK	MKH+D.HİP
3	İTK	+	+	-	+	-	+	DK	MKH
4	-	-	-	-	++*	-	-	-	MKH
5	İTK+İDK	-	-	-	-	-	-	DK	MKH

*Lenfositik yanıt Paget hastalığının altındaki dermisde mevcut. İDK: İnvaziv duktal karsinom. İTK: İtraduktal karsinom. DK:Duktal karsinom. MKH: Memenin kistik hastalığı. Gr. yg.: Granülomatöz yanığı. D. HİP.: Duktal hiperplazi

Tablo 3. Paget Hastalığı ve alttaki meme karsinomunda histokimyasal ve immünhistokimyasal boyama sonuçları.

Olgı	Yer	PAS	DPAS	AB(pH 2,5)	CEA	c-erbB2	Citokeratin 7	S-100	HMB-45
1	Me. B.	++	++	++	+	+	+	-	-
	Tümör	++	++	+		+	+		
2	Me. B.	+++	+++	+	+	+	+	-	-
	Tümör	++	++	+		+	+		
3	Me. B.	++	++	+	+	+	+	-	-
	Tümör	++	++	+		+	+		
4	Me. B.	+++	+++	++	+	+	+	-	-
5	Me. B.	++	++	+	+	+	+	-	-
	Tümör	++	++	+	+	+	+		

Me. B.: Meme başının Paget Hastalığı. Tümör: Altta meme karsinomu.

TARTIŞMA

Meme başının Paget hastalığı tüm meme karsinomlarının yaklaşık %1-2'sini oluşturan, genellikle alttaki meme dokusu içinde insitu yada invazif bir duktal karsinomla birlikte olan meme başı ve areolanın kızarıklık, ülsere ve kurutlu bir lezyonudur (1,3,4). Bizim olgularımız meme karsinomlarının %1.62'sini oluşturmaktadır. Genellikle 50-60 yaş arası kadınlarda görülen Paget hastalığının bizim olgularımızda yaş ortalaması 50'dir.

Hastalarda ilk yakınma, meme başında kaşıntı ve kızarıklıktır. Daha sonra epidermisin Paget hücreleri ile infiltrasyonu sonucu deride kalınlaşma ve kabalaşmaya bağlı portakal kabuğu görünümü oluşur. İleri evrede erozyon ve ülserasyon eklenebilir. Diğer karsinomların meme başı tutulumunda ise meme başı içeri çekilir ve alttaki tümöre fiks olur. Paget hastalığında meme başı dik ve hareketlidir. Ancak ileri evrede bu görünüm kaybolabilir (2-5). Bu seride de, tüm hastalarda başvuru nedeni meme başında kızarıklık ve ek olarak memede kitle şikayeti oldu.

Altta meme dokusu içinde kitle palpe edilen olgularda tümörün hemen daima invaziv olduğu, bu olgularda aksiller lenf nodu tutulumunun fazla olduğu ve прогнозun kötüleştiği belirtilmektedir (1,4,7). Palpal kitlesi olmayan olgularda ise прогнозun çok daha iyi olduğu vurgulanmaktadır (1,2,5,6). Bizde de benzer şekilde kitle yakınması ile başvuran ve tümör çapı büyük olan iki olguda aksiller lenf nodu tutulumu, Tablo 1'de görüldüğü gibi çarpıcı bir

şekilde yüksektir. Ayrıca aynı olgularda damar tutulumu da gözlenmiştir.

Genelde altta tümör bulunduğu, ancak tümör saptanmayan az sayıda olgu ile de karşılaşıldığı belirtilmektedir. Bizim 1 olgumuzda da çok sayıda örneklemeye karşın alttaki meme dokusu içinde tümör bulunamamıştır.

Özellikle alttaki meme dokusu içinde tümör saptanmayan olgularda epidermis içinde Paget hücrelerine benzer görünümde iri, vakuollü sitoplazmalı, hiperkromatik ve atipik nüveli hücrelere sahip olabilen Bowen hastalığı ve Superficial Spreading Malign Melanoma (SSMM)'dan ayırcı tanının yapılması oldukça önemlidir. Bu konuda histolojik özelliklere ek olarak, histokimyasal ve immünohistokimyasal yöntemlerden yararlanılmaktadır (1,5,7). Histolojik olarak Paget Hastalığı, Paget hücresi ile derma arasında salım basal membran ve yassılaşmış basal hücre tabakasının bulunması yanısıra kümelenmiş nükleuslu multinükleer dev hücrelerin ve tek hücre keratinizasyonunun olmaması ile Bowen hastalığından ayrılır.

Rutin Hematoksilen-Eozin boyalı kesitlerde melanin içeren Paget hastalığının SSMM'den ayırmı ise melanomda arada salım basal tabakanın olmaması ve direkt derma invazyonunun olması iledir (1-6,8,9).

Histokimyasal olarak, Paget hücreleri PAS pozitif diastaza dirençli nötral musin yanısıra, Alcian-Blue pozitif asidik musin içerir. PAS pozitif boyanan, glikojen içerebilen Bowen hastalığından ayırmı, Bowen'de diastazlı PA S negatifliği iledir (1-3,10). SSMM'de

ise glikojen ve musin olmaması nedeniyle PAS, D-PAS ve Alcian-Blue negatifdir (4-10). Bizim olgularımızın tamamında, hem Paget hücrelerinde, hem de alttaki tümörde değişik oran ve şiddette PAS, D-PAS ve Alcian-Blue pozitifliği saptanmıştır. Ayrıca melanin içeriği nedeniyle Mason-Fontana ile pozitif boyanan Paget hücrelerinde DOPA reaksiyonu negatifdir (1,2,8,9).

İmmünhistokimyasal olarak, Paget hücrelerinde CEA, C-erbB2, citokeratin 7 pozitiftir. Bowen hastalığında ise sitokeratin pozitifliği mevcuttur. S-100 ve HMB-45 SMM' da pozitif olarak izlenir (1,2,8,9,11).

Toker tarafından tanımlanan, klinik olarak Paget hastalığı ve tümör içermeyen olguların meme başında izlenebilen berrak hücreler, yukarıdaki özellikleri taşımamaları nedeniyle Paget hücrelerinden ayırt edilirler (12,14).

Günümüzde ultrastrüktürel ve immünhistokimyasal çalışmalar sonucu Paget hücrelerinin duktal epitel orijinli olduğu ve glandüler differansiyasyon gösterdiği kabul edilmektedir (2-5,12,13). Alttağı meme dokusu içinde tümör bulunamayan olgularda ise meme duktuslarının intraepidermal hücrelerinin veya basalde lokalize glandüler differansiyasyon gösterme yeteneğine sahip multipotansiyel epitelyal hücrelerin *in situ* malign transformasyona uğradığı görüşü benimsenmektedir (3,4,6,13,16).

KAYNAKLAR

1. Sav A, Ataizi Ç, Aktan Ö, Okboy N, Ekicioğlu G. Memede kitle saptanmayan Paget olgusu (Memenin Paget hastalığı-Malign Melanom-Bowen hastalığı ayrıca tanısında enzim ve konvansiyonel ve immünhistokimya tekniklerinin katkısı) Türk Patoloji Dergisi 1992; 8: 45-47.
2. Kirkham N. Paget's Disease. In: Elder D. Eds. Lever's Histopathology of the skin. 8th ed. Philadelphia: Lippincott. Raven, 1997: 734-736.
3. Millis RR, Hanby AM, Oberman HA. Paget's Disease of the Nipple. In: Sternberg SS. Eds. Diagnostic Surgical Pathology Philadelphia:W&W Lippincott, 1999: 360-361.
4. Haagesen CD. Diseases of The Breast 4th ed. Philadelphia WB Saunders. 1986: 758-773.
5. Rosai J. Paget's Disease. In: Ackerman's Surgical Pathology 8th ed. St Louis: Mosby, 1996: 1617-1618.
6. Lagios MD, Westdahl PR, Rose MR, Concannon S. Page disease of the nipple: alternative management in cases without or with minimal extent of underlying breast carcinoma. Cancer 1984; 54: 545-551.
7. Someren A, Karcioğlu ZA. Paget's disease. In: Someren A & Karcioğlu ZA. Eds. Practical Surgical Pathology. 1st ed. Massachusetts: D.C. Heath and Company 1985: 618-620.
8. Stretch JR, Denton KJ, Millard PR, Horak E. Paget disease of the male breast clinically and histopathologically mimicking melanoma. Histopathology 1991; 19: 470-472.
9. Reed W, Oppedal BR, Larsen T. Immunhistology is valuable in distinguishing between Paget disease, Bowen disease and SSMM. Histopathology 1990; 16: 583-588.
10. Kenichiro I, Yoichiro S. Histochemical analysis of sialomucin in Paget cells of mammary and extramammary Page disease. Actahistochem 1992; 92: 216-223.
11. Keatings L, Sinclair J, Wright C, Corbett IP, Watchorn C. C-erbB2 oncogene expression in mammary and extramammary Paget disease: an immunhistochemical study. Histopathology 1990; 17: 243-247.
12. Tavassoli FA. Paget's Disease. In: Pathology of the Breast 2nd ed. Stamford: Appleton&Lange, 1999: 731-740.
13. Ellis PE, Fong LF, Rolfe KJ, Crow JC, Reid WM, et al. The role of p53 and Ki 67 in Paget's disease of the vulva and the breast. Gynecol Oncol 2002; 86(2): 150-156.
14. Marucci G, Betts CM, Golouh R, Peterse JL, Foschini MP, et al. Toker cells are probably precursors of Paget cell carcinoma: a morphological and ultrastructural description. Virchows Arch 2002; 441(2): 117-123.
15. Requena L, Sangueza M, Sangueza OP, Kutzner H. Pigmented mammary Paget disease and pigmented epidermotropic metastases from breast carcinoma. Am J Dermatopathol 2002 24(3): 189-198.
16. Kothari AS, Beechey- Newman N, Hamed H, Fentiman IS, D'Arrigo C, et al. Paget disease of the nipple: a multifocal manifestation of higher-risk disease. Cancer 2002; 95(1): 1-7.

KLİNİK ÇALIŞMA

İZMİR ATATÜRK EĞİTİM HASTANESİ TIP DERGİSİ 2004, 42 (2): 123-127

Elif SELEK*
Sevil SAYHAN**
Hasan SAYHAN***
Emel SELVİOĞLU****

MEMENİN TAŞLI YÜZÜK HÜCRELİ KARSİNOMU

Signet Ring Cell Carcinoma of the Breast

* SSK İzmir Eğitim Hastanesi
Patoloji Laboratuvarı, İZMİR

** SSK Ege Doğumevi ve Kadın
Hastalıkları Eğitim Hastanesi
Patoloji Laboratuvarı, İZMİR

*** SSK İzmir Eğitim Hastanesi III.
Genel Cerrahi Servisi, İZMİR

**** Çorlu Devlet Hastanesi
Patoloji Laboratuvarı, ÇORLU

ÖZET

Taşlı yüzük hücreli karsinom, meme karsinomları içinde en agressiv davranışlı histolojik tiptir. Değişik araştırmacılar bu nedenle aynı bir patolojik grup olarak tanımlanmasını önermişlerdir.

Bu çalışma da Sosyal Sigortalar Kurumu İzmir Eğitim Hastanesi Patoloji Laboratuvarı'na 1989-2003 yılları arasında gelen 308 mastektomi materyali arasında saptanan 6 taşılı yüzük hücreli karsinom olgusu yeniden değerlendirildi. Olgular yaş dağılımı, tümör çapı, lokalizasyon, kan damarları, lenfatik, perinöral invazyon, lenfoplazmositer yanıt, nekroz, kalsifikasyon, elastozis varlığı, lenf nodu tutulumu yanı sıra periodic acid Schiff (PAS), diastash-PAS ve Alcian-Blue boyanmayı içeren histokimyasal özellikleri açısından incelendi. Karakteristik histopatolojik özellikleri, daha agressiv klinik gelişe sahip olması ve serozal yüzeylere metastaz yapma eğilimi nedeniyle memenin taşılı yüzük hücreli karsinomunun, daha iyi klinik seyir gösteren diğer histolojik tiplerden ayırmının önemi vurgulandı.

SUMMARY

Signet ring cell carcinoma is the most aggressive form among the breast carcinoma. That's why some investigators proposed to classify it as a separate entity.

We reevaluated six signet ring cell carcinomas of the breast diagnosed among 308 mastectomy materials examined by the Pathology Laboratory of SSK İzmir Education Hospital during 1989-2003.

The cases were evaluated according to tumor size, localization, accompanying lesion, vascular and perineural invasion, lenfoplasmasic infiltration, necrosis, calcification, elastosis and all the cases were stained with hematoxilen-eosin (H&E),

Yazışma Adresi: Dr. Sevil SAYHAN

Emlak Bank Evleri 663. Sok. No: 40/3 Gaziemir / İZMİR

Tel: 0 232 449 49 49/164

E-mail: sevilsayhan@yahoo.com

periodic acid-schiff (PAS) with diastase and alcian-blue (AB). The difference between the other histopathologic types and signet ring cell carcinoma of the breast is emphasized as breast signet ring carcinoma tends to make metastasis on serosal surfaces and its histopathologic characteristics show a more aggressive clinical progress.

GİRİŞ

Invasiv meme karsinomlarının en agresif davranışlı histolojik tipi olan taşlı yüzük hücreli karsinom ilk kez 1941'de Saphir tarafından müsinöz karsinomun farklı bir şekli olarak tanımlanmıştır. Aynı yıllarda Foote ve Stewart lobüler karsinomlarda taşlı yüzük hücrelerinden bahsetmişlerdir (1). 1976'da Steinbrecher ve Silverberg 5 yeni taşlı yüzük hücreli olgu bildirmiştir ve bu olguların agresif davranışını vurgulayarak ayrı bir patolojik grup olarak tanımlanması gerektiğini önermişlerdir (2,3). Daha sonraki yıllarda memenin taşlı yüzük hücreli karsinomu ile ilgili klinik ve patolojik özellikler yanı sıra, diğer karsinomlarla birlikte (insitu veya invaziv lobüler ve duktal karsinomun varlığı ya da bunların bir alt tipi olup olmadığı) ve histogenezlerine ilişkin araştırmalar içeren çalışmalar bildirilmiştir (2,4-6).

Histolojik olarak bu tümörler bazofiliye çalan asidofil ya da berrak ve değişen derecelerde müsin içeren sitoplazmaya sahip, ekzantrik yerleşimli, yarımay şeklinde nüve bulunduran epitelyal hücrelerin çoğunlukla stromayı infiltrasyonu ile karakterizedirler. Hücrelerin bu çarpıcı özellikleri nedeni ile kolayca tanımlanabilirler. Tanı için taşlı yüzük hücrelerinin tüm tümör kitlesinin en az %20'sini oluşturma veya her büyük büyütme alanında 20 veya daha fazla sayıda olması koşulu aranmaktadır (4,5,7).

GEREÇ VE YÖNTEM

Patoloji laboratuvarına 1989-2003 yılları arasında gelen 308 mastektomi materyali incelendi ve bunlardan 6'sı (%1.94) taşlı yüzük hücreli karsinom olarak değerlendirildi. İntrasitoplazmik müsin varlığını belirlemek için periodic acid Schiff (PAS), diastazlı-PAS ve Alcian Blue (ph:2.5) özel boyaları uygulandı. Parafin bloklardan elde edilen Hematoksilin-Eosin boyalı kesitler meme başı, deri, fasya, kas ve lenf nodu tutulumu, lenfatik ve/veya kan damarı

invazyonu, lenfositik yanıt, karsinoma insitu varlığı, kalsifikasiyon, elastozis, nekroz, perinöral invazyon ve eşlik eden lezyon açısından ışık mikroskopunda değerlendirildi.

BULGULAR

Ortalama 20 gün ile 2 ay arasında değişen kitle, 2 olguda ek olarak ağrı yakınıması bulunan hastaların tamamına modifiye radikal mastektomi uygulanmıştır. Makroskopik olarak olguların tamamında tümör; düzensiz sınırlı, sert, solid özellikte olup tüm olgularda çap 5 cm ve üzerinde saptandı. Hastalar: 44-73 yaşları arasında olup, ortalama yaşı 59'dur. Her bir olguda aksiller disseksiyon materyalinden en az 4, en fazla 35 adet olmak üzere ortalama 22 lenf nodu ayıklanmıştır. Bir olguda 1 lenf nodu, diğer olgularda ise 4 ve daha fazla sayıda lenf nodu tutulumu saptanmıştır. Metastatik lenf nodlarında normal yapıının silindiği, yerini birbirleriyle gevşek bir çatı oluştururan taşlı yüzük hücrelerinin aldığı görüldü. Olguların genel özellikleri Tablo 1'de belirtildi.

Kan damarı ve lenfatik tutulumu izlenen 3 olguda metastatik lenf nodu sayısı 7 ve üzerindeydi. 3 olguda perinöral invazyon, 3 olguda periduktal elastozis 2 olguda tümör nekrozu izlendi. Lenfositik yanıt 1 olguda görülmezken, 5 olguda zayıf olarak saptandı. Olguların histolojik özellikleri Tablo 2'de gösterildi.

Mikroskopik olarak 4 olguda tek hücre dizisi (indian file) ve trabeküler büyümeye patternine ek olarak targetoid pattern dissosiyeli hücre (Resim 1), ve gevşek alveolar çatı karışımı (Resim 2) izlendi. 1 olguda baskın olan gevşek olan alveolar çatıya tek hücre dizisi, 1 olguda da küçük solid odakların eşlik ettiğini görüldü.

Olguların tamamında değişik şiddette PAS, DPAS ve Alcian Blue pozitifliği saptandı. Eşlik eden duktal karsinoma insitu ve lobüler karsinoma insitu alar

Selek E. ve ark.: Memenin Taşlı Yüzük Hücreli Karsinomu

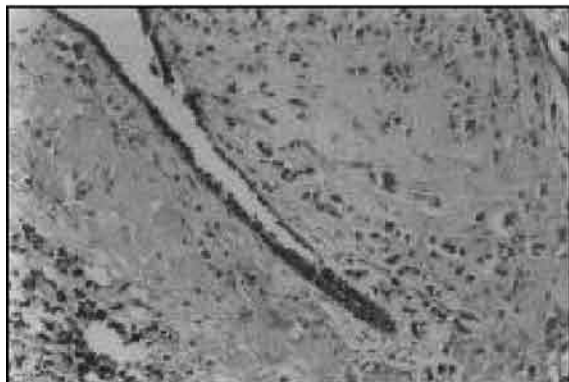
Tablo 1. Olguların genel özelliklerini.

Olgu	Yaş	Meme başı tutulumu	Deri tutulumu	Fasya tutulumu	Sağ/Sol meme	Tümör kadranı	Tümör çapı (cm)	Lenf nodu tulumu
1	65	-	-	+	Sağ	üst/dış alt/dış	6	6/35
2	44	-	-	-	Sağ	Yaygın	9.5	7/29
3	55	-	-	+	Sağ	Yaygın	5	9/21
4	47	-	+	-	Sağ	Yaygın	5.5	15/27
5	70	+	-	-	Sol	Yaygın	6	0/4
6	73	-	-	-	Sol	Yaygın	5.5	1/19

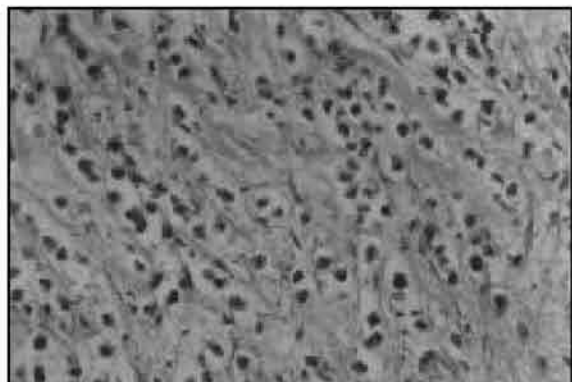
Tablo 2. Olguların histolojik özellikleri.

Olgu	Nekroz	Kalsifikasyon	Elastozis	İmmün Yanıt	İnsitu Karsinom	Damar invazyonu	Nöral invazyon	Eşlik eden lezyon
1	-	+	+	+	Lobuler	-	-	MKH+Duk. Hip.
2	+	+	-	+	Duktal	+	+	MKH
3	+	+	+	-	-	+	+	-
4	-	+	-	+	Lobuler	+	-	MKH+Fib. aae.
5	-	-	+	+	Duktal	-	+	Atip. Duk. Hip
6	-	+	-	+	Duktal	-	-	-

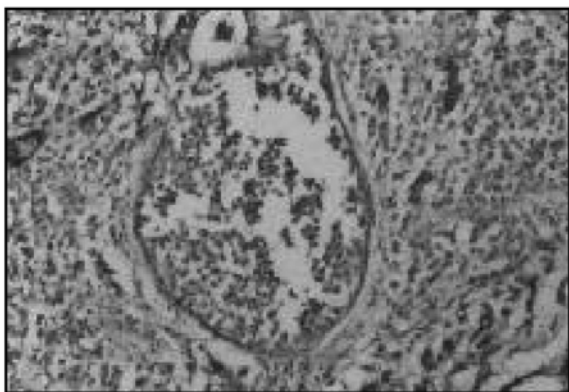
MKH: Memenin kistik hastalığı, Duk.Hip.: Duktal hiperplazi, Fib.ade.: Fibroadenom, Atip.Duk. Hip.: Atipik duktal hiperplazi



Resim 1. Memenin taşlı yüzük hücreli karsinomu, targetoid pattern (H&E, x220).



Resim 2. Memenin taşlı yüzük hücreli karsinomu, gevşek alveolar çatıkı (H&E, x440).



Resim 3. Taşlı yüzük hücreli duktal karsinoma insitu alanı (H&E, x440).

lارındaki hücrelerde benzer şekilde, ancak daha az şiddette boyanma gösterdi. Olguların histokimyasal özellikleri Tablo 3'te belirtildi.

Tablo 3. Olguların histokimyasal boyanma özellikleri.

Olgu	Mik. Dağılım	PAS	DPAS	Alcian-Blue
1	Taşlı y./LCIS	+++/++	+++/++	++/+
2	Taşlı y./DCIS	++/++	++/++	+/-
3	Taşlı yüzük	+++	+++	+++
4	Taşlı y./LCIS	++/+	++/+	+/-
5	Taşlı y./DCIS	+++/+	++/+	++/+
6	Taşlı y./DCIS	+++/+	+++/+	++/+

Mik. Dağılım: Mikroskopik dağılım, Taşlı y.: Taşlı yüzük hücreli karsinom, LCIS: Lobüler karsinoma insitu, DCIS: Duktal karsinoma insitu.

TARTIŞMA

Memenin taşlı yüzük hücreli karsinomu karakteristik klinik ve patolojik özellikleri nede niyle ayrı bir alt grup olarak kabul edilmektedir (2,8). Tümördeki belirleyici taşlı yüzük hücreleri, tümör kitlesinin en az %20'sini oluştururlar ve %99'a kadar değişen oranda bulunabilirler (2,8).

Bazı araştırmacılar bu tümörün histogenetik olarak; histolojik büyümeye patterni, müsin içeriği, dağılımı ve ultrastrüktürel özellikleri açısından memede daha sık görülen duktal karsinomdan ziyade lobüler karsinomla ilişkili olduğunu belirtmektedirler (2,3,9). Bizim olgularımızın da 4'ünde (%66) invaziv lobüler karsinomlar için tanımlanan Indian file, trabeküler, alveo-

lar, targetoid pattern egemendi. Ayrıca lobüler karsinomlara benzer şekilde desmoplastik bir stroma mevcuttu. Merino ve Livolsi serilerinde %46 oranında lobüler karsinoma insitu birlikteliği tanımlarken, bizim çalışmamızda bu oran %33.3 olarak bulundu.

Diğer bazı araştırmacılar tarafından ise taşılı yüzük hücreli karsinomların lobüler karsinomlardan ziyade, in situ ya da invaziv duktal karsinomla ilişkili olduğu belirtilmektedir (4,10,11). Nitekim Hull ve ark. (4)'nın 534 olguluk serisinin %50'sinde duktal karsinomla birliktelik saptanmıştır. Bizim çalışmamızda ise 3 olguda taşılı yüzük hücrelerine duktal karsinoma in situ alanları eşlik etmekteydi. Bu olgulardan birinde duktus içindeki tümör hücreleri taşılı yüzük görünümündeydi (Resim 3). Fisher ve ark. (10) 400 arası meme karsinomu olgusu içinden 12'sinde (%3) intraduktal taşılı yüzük hücreli karsinom saptamışlardır. Bizim 1 olgumuzda infiltratif taşılı yüzük hücreleri arasında az sayıda tubül yapısı izlendi. Ayrıca 1 olguda duktal hiperplazi, 1 olguda da atipik duktal hiperplazi eşlik etmekteydi.

Memenin taşılı yüzük hücreli karsinomlarında yaş ortalamasının alışılmış meme karsinomlarından daha ılıeri olduğu belirtilmektedir (2,4). Hastaların çoğunluğu kitle yakınımasıyla ileri klinik evrede doktor başvurmakta ve daha agressif bir gidiş göstermektedir (2,4,8,12,13-15). Bizim olgularımızda da benzer şekilde yaş ortalaması 59 olup, alışılmış meme karsinomlarından daha ılıeridir. Tümör çapı tüm olgularımızda 5 cm ve üzerinde olup, memede yaygın kitle oluşturmuştur.

Hull ve ark. (4)'nın serisinde pür taşılı yüzük hücrel karsinomlarının tamamında aksiller lenf nodu tutulumu izlenirken, taşılı yüzük+duktal karsinomlarda %75, taşılı yüzük+lobüler karsinomlarda %56.5 oranında aksiller lenf nodu tutulumu belirtilmektedir. Bizim çalışmamızda 4 olguda metastatik lenf nodu 6 ve üzerindedir. Bu olgulardan 1'i deri, 1'i fasya, 1'i fasya ve kas invazyonuna, 3'ü lenfatik ve kan damarı invazyonuna sahipti.

Histogenetik olarak bazı araştırmacılara göre lobüler karsinomla, bazlarına göre duktal karsinomla ilişkili olduğu belirtilen memenin taşılı yüzük hücreli karsinomunun her iki tümör tipi ile ilişkili olabileceği

göründü. Karakteristik histopatolojik özellikleri, daha agressiv klinik gidişe sahip olması ve serozal yüzeylere metastaz yapma eğilimi nedeniyle memenin taşlı yüzük hücreli karsinomları daha iyi klinik seyir gösteren diğer histolojik tiplerden ayrılmalıdır.

KAYNAKLAR

1. Fisher ER, Greporio RM, Fisher B, Redmond C, Vellios F, et al. The Pathology of invasive breast cancer. *Cancer* 1975; 36: 1-85.
2. Maria J, Merino MD, Virginia A, Livolsi MD. Signet ring carcinoma of the female breast: a clinicopathologic analysis of 24 cases. *Cancer* 1981; 48: 1830-1837.
3. Steinbrecher J, Silverbergs S. Signet ring cell carcinoma of breast. The mucinous variant of infiltrating lobular carcinoma. *Cancer* 1976; 37: 828-840.
4. Hull M, Seo I, Battersby J, Csicsko J. Signet ring cell carcinoma of breast: a clinicopathologic study of 24 cases. *Am J clin Pathol* 1980; 73: 31-35.
5. Toit RS, Locker AP, Ellis IO, Elston CW, et al. Invasive lobular carcinomas of the breast-the prognosis of histopathological subtypes. *Br J Cancer* 1989; 60: 605-609.
6. Millis RR, Hanby AM, Oberman HA. Signet ring cell carcinoma. In: Sternberg SS. Eds. *Diagnostic Surgical Pathology*. Philadelphia: W&W Lippincott, 1999: 358.
7. Erhan Y, Çalışır E, Yağcı AS, Yücel S. Kadın memesinin taşılı yüzük hücreli karsinomu. *Ege Üni. Tip Fak. Dergisi* 1987; 26: 981-990.
8. Page DL, Anderson TJ. Diagnostic Histopathology of the Breast. Churchill Livingston. 1987: 253-256.
9. Rosai J. Signet ring carcinoma. In: Ackerman's *Surgical Pathology*. 8 th ed. St Louis: Mosby, 1996: 1619-1620.
10. Fisher ER, Brown R. Intraductal signet ring carcinoma. *Cancer* 1985; 55: 2533-2537.
11. Kamiya M, Mizuguchi K, Yoshimoto M, Tanaka M, Motegi S, Matsushima H, Ishizawa M, Nakamura K. Cytologic diagnosis of signet-ring cell carcinoma of the breast. *Acta Cytol* 1998 42: 650-656.
12. Liu M, Chen DR. Signet-ring cell carcinoma of the breast. *Pathol Int* 2000; 50: 67-70.
13. Ferlicot S, Vincent-Salomon A, Medioni J, Genin P, Rosty C, et al. Wide metastatic spreading in infiltrating lobular carcinoma of the breast. 1. *Eur J Cancer* 2004; 40(3): 336- 41.
14. Zekioglu O, Erhan Y, Ciris M, Bayramoglu H. Neuroendocrine differentiated carcinomas of the breast: a distinct entity. *Breast* 2003; 12(4): 251-7.
15. Chehal A, Seoud M, Taher A, Salem N, Khalil A, Shamseddin A. Endometrial metastasis from signet-ring breast carcinoma case report. *Eur J Gynaecol Oncol* 2002; 23(6): 563-4.

KLİNİK ÇALIŞMA

İZMİR ATATÜRK EĞİTİM HASTANESİ TIP DERGİSİ 2004, 42 (2): 129-133

Atilla KESKİN*
Mustafa KARACA*
Canan KUŞ**
Yusuf ALTINKAYNAK*
Murat YEŞİL*
Oktay ERGENE*

Atatürk Eğitim ve Araştırma
Hastanesi, İZMİR

* Kardiyoloji Kliniği
** Dahiliye Kliniği

HİPERTANSİF HASTALARDA VERAPAMILİN MİYOKARD PERFORMANS İNDİXİNE ETKİSİ

The Effect of Verapamil on Myocard Performance
Index in Hypertensive Patients

ÖZET

Hipertansiyon yaşlı populasyonda yaklaşık olarak %20-35 arasında görülen ve yüksek morbidite ve mortaliteye sahip ciddi bir sağlık problemidir.

Çalışmamızda sol ventrikül disfonksiyonu olan hastalarda kullanımı önerilmeyen ancak koroner arter hastalığı, supraventriküler taşkardı gibi patolojilerin eşlik ettiği durumlarda ise özellikle tercih edilebilen Verapamil'in sol ventrikül sistolik fonksiyonları normal olan hastalarda yeni tanımlanmış olan ve invaziv ölçümlerde hem sistolik hemde diastolik parametrelerle arasında önemli korelasyon tespit edilmiş olan sol ventrikülün sistolik ve diastolik fonksiyonlarının belirleyici olarak önerilen MPI'yi (myokardial performans indexi) üzerine olan kısa dönemdeki etkisi incelenmiştir.

Sınırlı sayıda vaka olmasına rağmen çalışmamız sonucunda görülmüştür ki Verapamil MPI'de ortalama değerlere bakıldığından olumlu etki göstermesine rağmen bu istatistiksel açıdan anlamlı değildir. Ancak seçilmiş olan hastaların MPI'lerinin tedavi öncesi değerlerinin yüksek olduğu dikkati çekmiş olup sonuçlar, hipertansiyon gelişcek olan pre-hiptertansif dönemdeki normotensif hastalarda MPI'de bozulma olabileceğini ve tespit edildiği takdirde prediktif değeri olabileceği düşündürmüştür.

SUMMARY

Hypertension is a serious health problem and it affects 20-25 % of elder population. It has great mortality and morbidity. Patients with high blood pressures has increase in:

- Stroke risk 7 fold
- CHF risk 4 fold
- CAD risk 3 fold
- Periferic artery disease 2 fold

The first step in hypertension treatment must be non pharmacologic approach, because it is enough to treat most of patients with mild to moderate hypertension. There are several drugs to treat hypertensive patients and the therapy must individualized for comorbid diseases.

Yazışma Adresi: Dr. Atilla KESKİN

Atatürk Eğitim ve Araştırma Hastanesi Kardiyoloji Kliniği, İZMİR
E-mail: atikes@hotmail.com

Myocardial performance index is newly described, noninvasive method and it is well correlated with invasive measures. It is an indicator of LV systolic and diastolic functions. We studied the effects of verapamil which is not recommended in LV dysfunction but in CAD and supraventricular arrhythmias on MPI.

Although case number is limited, our study has showed that verapamil has same positive effects on MPI, but this is statistically not important. As the study patients had high MPI values before the treatment, it can be considered that in pre-hypertensive normotensive period a change in MPI may occur and can have a predictive value if diagnosed.

GİRİŞ

Sol Ventrikül Disfonksiyonu

Hipertansiyonlu hastalarda kalp ve arteriyel damarlar öncelikli hedef organ durumundadırlar ve hipertansiyonun bir çok diğer organ komplikasyonları küçük arter ve arteriyollerdeki dejeneratif değişiklikler üzerinden gelişmektedir (Hipertansiyon iyi tedavi edilmediği takdirde kalp en fazla ölüm nedeni olan hedef organdır). Yetersiz tedavi edilen hipertansif hastaların yaklaşık %50'sinde ölüm nedeni koroner kalp hastalığı veya konjestif kalp yetmezliğidir.

Hipertansiyonun başlangıç dönemlerinde ve hafif hipertansiyonda kalp debisinde artma, kalp hızında ve sol ventrikül kontraktilitesinde artma ve periferik vasküler dirence yükselse görülebilir. Bu dönemde hastalarda hiperkinetik olarak adlandırılabilir hemodinami söz konusudur. Yıllar geçtikçe ve özellikle hipertansiyon tedavi edilmediği takdirde periferik vasküler dirence yükselse, kalp debisinde azalma ortaya çıkar. Yani hiperdinamik tablo yavaş yavaş geriler.

Yapılan çalışmalar kalp yetersizliğinin sadece sol ventrikül sistolik fonksiyonlarına değil, aynı zamanda sol ventrikül diyastolik fonksiyon bozukluğuna da bağlı olduğunu göstermiştir.

Hipertansif hastalarda henüz sol ventrikül hipertrofisi gelişmeden önceki dönemlerde bile hem sistolik hem de diyastolik fonksiyonlarda değişiklikler başlayabildiği gösterilmiştir (1,2). Erken dönemde sistolik fonksiyonda yani kontraktilitede artışa karşın izovolumetrik relaksasyonda uzama yani diastolik fonksiyonda bozulma gelişmeye başlar. Uzun süre devam

eden sol ventrikül hipertrofisi, sonunda, sistolik fonksiyonda bozulmaya sonuçlanır. Sol ventrikülde progressiv olarak gelişen dilatasyon, pompa fonksiyonunun giderek azalması ve hipertansif kalp hastalığının son evresi olan konjestif kalp yetmezliği ile sonuçlanır. Öte yandan sol ventrikül duvar kalınlığının artması kompliyansta azalmaya neden olur. Bu da sol ventrikülde pasif geç dolu bozukluğu yaratır. Bundan önce erken dönemde aktif ve enerji gerektiren yanı ATP ve kalsiyum kullanılan erken diyastolik dolu fazında bozukluk gelişmiştir. Sol ventrikül diyastolik fonksiyon bozukluğuna ilişkin bulgular hipertansif kişilerin henüz hipertansiyon başlamamış olan çocuklarınında bile gözlenmiştir (3). Bu bulgu doğrudan kan basıncının dışında bazı etkenlerin de ventrikül fonksiyonunu etkilediğini düşündürmektedir. Hipertansiyon sistolik disfonksiyona neden olmadan, diyastolik fonksiyonlarda bozulmaya neden olarak, hastada klinik ve hemodinamik olarak sol kalp yetersizliğine neden olmaktadır. Diyastolik disfonksiyon ventriküler kompliyansı düzeltlen ve diyastolik dolumu kolaylaştıran ajanlarla tedavi edilmelidir. Verapamil gibi kalsiyum kanal blokerleri' antihipertansif tedavi sağlarlar ve muhtemelen negatif inotropik etkileri ile diyastolik performansı düzeltirler. Ancak sistolik fonksiyon bozukluğu varsa bu etkiler zararlı olabilir.

Myokard Performans İndeksi

Sol ventrikül disfonksiyonunu saptamakta kullanılan en önemli yöntem ekokardiografidir. İki boyutlu ekokardiografi ile sol ventrikül sistolik fonksiyonları ve Doppler ekokardiografi ile sol ventrikül diastolik fonksiyonları hakkında noninvaziv olarak çok önemli bilgiler elde edilmektedir. Antihipertansif tedavi düzenlenirken ve özellikle ilaç seçiminde sol ventrikül

fonksiyonlarında gözlenen bu değişikliklerin de göz önünde bulundurulması gereklidir.

Sistolik ve diyastolik fonksiyon bozuklukları genellikle birlikte görülmelerine rağmen, sistolik ve diyastolik ölçümleri birleştiren çok az Doppler ekokardiografik değişken vardır. Son zamanlarda sistolik ve diyastolik performansı birleştiren yeni bir Doppler ekokardiografik index üzerinde durulmuştur (4,5). Sol ventrikül Myokardiyal Performans İndeksi (MPI), sol ventrikülün hem diyastolik ve hemde sistolik fonksiyonunu gösteren yeni bir index olarak önerilmiştir. İlk defa Tei ve arkadaşları tarafından kullanılmış ve sistolik ve diyastolik sol ventrikül fonksiyonları noninvaziv olarak tahmin edilmeye çalışılmıştır (6,7). Tei indexi olarak tanımlanmış MPI, izovolumetrik relaksasyon zamanı (IVRT) ile izovolumetrik kontraksiyon zamanının (IVCT) toplamının ejeksiyon zamanına (ET) oranı olarak tanımlanmıştır (8,9). Hem ekokardiografik olarak elde edilmesi kolay ve tekrarlanabilir, hem de gözlemciler arası değişkenliği düşük olduğu için herkes tarafından kullanılabilen bir parametredir. Sol ventrikülün, doppler ile diastolik doluş paterni ve sol ventrikül sistolik ejeksiyon paterni ile gerekli değerler kolaylıkla elde edilir (Şekil 1).

İnvaziv ölçümlerde hem sistolik ve hemde diastolik parametrelerle Tei indexi arasında önemli korelasyon tespit edilmiş, ayrıca kalp hızı ve sol ventrikül geometrisinden bağımsız olduğu gösterilmiştir. Akut myokard infarktüsünde yapılan yeni bir çalışmada, bu indexin ejeksiyon fraksiyonu ile ilişkili olduğu da bildirilmektedir (10,11). Daha sonra Moller ve arkadaşları, normal sağlıklı kişilerde MPI'ni 0.34 ± 0.04

olarak tespit etmiş ve sol ventrikül disfonksiyon gelişmiş olan hastalarda normalere göre daha yüksek olduğunu göstermişlerdir (12,13).

GEREÇ VE YÖNTEM

Burada hipertansiyon tedavisinde kullanılan Verapamil'in Myokard Performans İndeksi'ne olan etkisi araştırılmıştır. Hipertansiyon tedavisi ile arteriel kan basıncında meydana gelen düzelmenin kardiyak performastaki bir kayıba yol açmadığı incelenmiştir.

Bu amaçla:

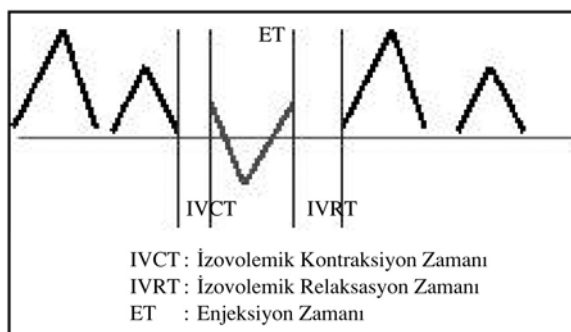
1. Aşamada çalışmaya dahil edilecek hastaların özellikleri belirlendi;
- Esansiyel hipertansiyon tespit edilmiş (en az 3 ölçüde sistolik 140 mmHg ve diastolik 90 mmHg ve üzerinde bulunan hastalar),
- Herhangi alta yatan başka bir hastalık gösterilememiş hastalar,
- Daha önce hiç antihipertansif tedavi almamış yada son 1 aydır hiçbir antihipertansif ilaç kullanmamış hastalar,
- Koroner angiografi yapılmış ve ciddi bir koroner hastalığı olmadığı gösterilmiş hastalar,
- Hipertansiyon dışında başka bir hastalığı bulunan hastalar (diet ve oral antidiabetikle regüle edilen Diabetes Mellitus'u tespit edilmiş başka herhangi bir kardiovasküler patolojisi olmayan 8 hasta çalışmanın sonucunu etkilemeyeceği düşünülerek çalışmaya alındı)
2. Aşamada; Hastaların hepsine Ekokardiografik tetik yapıldı ve Ejeksiyon fraksiyonu %50 ve üzerinde olan (M-Mod ile hesaplandı), diastolik disfonksiyonu olan (E/A: 1 ve altında) 36 olgu (24 erkek, ort. yaşı: 47 ± 14 ve 12 bayan, ort. yaşı 45 ± 9) çalışmaya dahil edildi. Myokardial Performans İndeks'in hesaplanması için Pulse Wave Doppler ile **a** ve Continue Wave Doppler ile **b** hesaplandı (Şekil 2, Şekil 3).

$$\text{IVCT} + \text{IVRT} + \text{ET} = \mathbf{a}$$

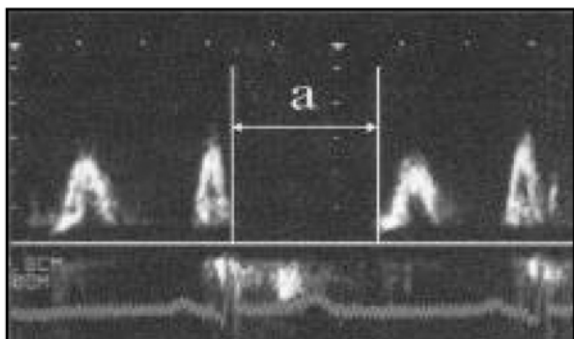
$$\text{ET} = \mathbf{b}$$

3. Aşamada; Tei index'leri ayrı ayrı hesaplandı. Bu neden için:

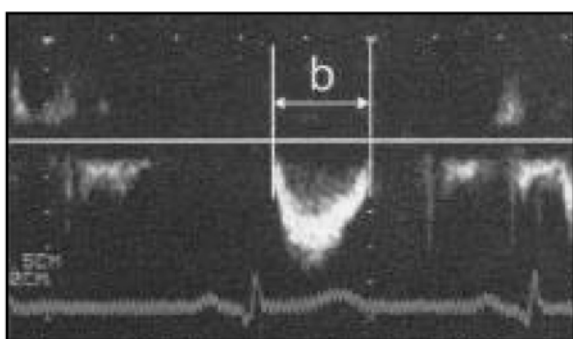
Tei İndeksi = $a - b / b$ formülleri kullanıldı.



Şekil 1. Sol ventrikül doppler diastolik doluş ve ejeksiyon paternleri.



Şekil 2. a = IVCT+IVRT+ET



Şekil 3. b = ET

4. Aşamada hastalara Verapamil 120 mg başlandı ve 15 gün sonra kontrole çağrıldı. Kontrolde doz ayarlaması yapıldı ve 30 gün sonra tekrar kontrole çağrıldı.

5. Aşamada hastalar tekrar ekokardiografik tetkike alındı ve Tei indexleri tekrar hesaplandı.

6. Aşamada; Verapamile bağlı olarak Arteryel kan basincının etkin tedavisi sağlandığında, Verapamilin Myokard Performans İndexi'nde yaptığı değişiklik analiz edildi.

BULGULAR

Toplam 36 hasta çalışmaya dahil edildi 14 hastada Verapamil 240 mg 1x1 dozu ile 4 hastada Verapamil 120 1x1 dozu ile toplam 18 hastada TA regülasyonu sağlandı. Kalan 6 hasta TA regülasyonu sağlanamadığı için çalışmadan çıkarıldı ve kombinasyon tedavisine geçilerek tedavilerine çalışma dışında devam edildi.

Verapamilin etkin antihipertansif etkinlik gösterdiği; tedavi öncesi ortalama İVRT (0.111) ile karşılaşı-

tıldığında tedavi sonrası ortalama İVRT'de (0.085) kısalma, tedavi öncesi ortalama İVCT ile (0.046) karşılaştırıldığında tedavi sonrası ortalama İVCT 'de (0.057) uzama, tedavi öncesi ortalama ET ile (0.258) karşılaştırıldığında tedavi sonrası ET'da (0.241) kısalma tespit edildi. Tedavi öncesi ortalama Myokard Performans İndeksi (0.611) ile karşılaştırıldığında tedavi sonrası ortalama Myokard Performans İndeksi'nde (0.595) kısalma yaptığı, yani kardiyak performansla olumlu yönde değişiklik yaptığı ancak bunun istatistiksel açıdan anlamlı olmadığı sonucuna varıldı ($p=0.549$). Verapamilin sol ventrikül sistolik fonksiyonları normal olan hastalarda güvenle kullanılabilmesinin ötesinde yeni tanımlanmış olan MPI'de istatistiksel olarak anlamlı değişikliğe neden olmadığını görüldü. Bunun klinik önemini ancak uzur dönem izlemleri ve diğer antihipertansif ilaçlarla karşılaştırıldıkten sonra anlaşılabileceği sonucuna varıldı.

Bu hastalarda MPI'nin ilaç tedavisine başlamadarı önce de yüksek olması, myokard performansının hipertansiyon öncesi normotansif dönemde de bozuk olabileceğini ve bunun hipertansiyon gelişenek hastaların önceden belirlenmesinde ya da güçlü aile hikayesi olan ancak normotansif pre-hipertansif dönemde hastalarda tedaviye başlama zamanını belirlemek açısından prediktif değeri ileri çalışmalarla belirlenebilir (Normal = 0.34 ± 0.04 , Hasta populasyonu ortalama değer = 0.61 ± 0.06).

TARTIŞMA

Burada sol ventrikül sistolik fonksiyonları normal diyastolik disfonksiyonu olan hipertansif hastalar incelenmiştir. Verapamilin sistolik disfonksiyonu olan hastalarda MPI'ne olan etkisi bilinmemektedir antihipertansif tedavide sol ventrikül sistolik disfonksiyonlu hastalar problem oluşturmaktır olup Verapamilin olumsuz etkileri bir çok çalışmada gösterilmiştir.

Verapamil d iğer antihipertansif ajanlarla karşılaştı rılmamıştır. Yapılacak karşılaştırılmalı çalışmalarla diğer grup ilaçların MPI'e olumsuz etkisi gösterilirse yada MPI'ne olan olumlu etkinin üstün olduğu gösterilirse ancak o zaman Verapamilin MPI'ne olar olumlu etkisi antihipertansif ilaç seçimi açısından bir kriter olarak kullanılabilir (yada MPI'ne olumlu etkisi en yüksek olan ilaç tedavide tercih edilebilir).

Verapamilin MPİ'ne uzun dönemdeki etkileri tetkik edilmemiştir. Uzun dönem izlem sonrası Verapamil MPİ'e olumsuz yönde etki ediyor olabilir.

Hipertansiyon gelişmesi yüksek olasılık olan normotensif hastalarda diastolik disfonksiyon başlamadan önce MPİ'i değerlendirmemiş olup pre-hipertansif dönemde normal olduğu gösterilmemiştir.

KAYNAKLAR

1. Simone G, D evereux GB, Roman MJ. Assessment of left ventricular function by midwall fractional shortening/end-systolic stress relation in human hypertension. *J Am Coll Cardiol* 1994; 23: 1444-49.
2. Ren JF, Pancholy SB, Iskandrian AS. Doppler echocardiographic evaluation of the spectrum of left ventricular diastolic dysfunction in essential hypertension. *Am Heart J* 1994; 127: 906-10.
3. Xie GY, Berk MR, Smith MD, De Maria AN. Relation of Doppler transmitral flow patterns to functional status in congestive heart failure. *Am Heart J* 1996;131: 766-71.
4. Pinamonti B, Leonardo AD, Sinagra G, Camerini F. Restrictive left ventricular filling pattern in dilated cardiomyopathy assessed by Doppler echocardiography: clinical, echocardiographic and hemodynamic correlations and prognostic implications. *J Am Coll Cardiol* 1993; 22: 808-15.
5. Lewis RP, Boudoulas H, Welch TG, Forester WF. Usefulness of systolic time intervals in coronary arter disease. *Am J Cardiol* 1976; 37: 787-96.
6. Williamson JS, Bauman DJ, Tsagaris TJ. A comparison of hemodynamic and angiographic indices of left ventricular performance in patients with coronary artery disease. *Cardiology* 1978; 63: 220-36.
7. Graettinger WF, Neutel JM, Smith DHG. Left ventricular diastolic filling alterations in normotensive adolescent with a family history of hypertension. *Am J Cardiol* 1991; 68: 51-6.
8. Nishimura RA, Abel MD, Hatle LK, Tajik AJ. Relation of pulmonary vein to mitral flow velocities by transesophageal Doppler echocardiography. Effect of different loading conditions. *Circulation* 1990; 81: 1449-97.
9. Moller JE, Poulsen SH, Egstrup K. Effect of preload alterations on a new Doppler echocardiographic index of combined systolic and diastolic performance. *J Am Soc Echocardiography* 1999; 12: 1065-72.
10. Tei C, Nishimura RA, Seward JB, Tajik AJ. Noninvasive Doppler-derived myocardial performance index: correlation with simultaneous measurements. *J Am Soc Echocardiography* 1997; 10: 169-78.
11. Tei C, Ling LH, Hodge DO, et al. New index of combined systolic and diastolic myocardial performance:a simple and reproducible measure of cardiac function-a study in normals and dilated cardiomyopathy. *J Cardiol* 1995; 26: 357-66.
12. Tei C. New non-invasive index for combined systolic and diastolic ventricular function. *J Cardiol* 1995; 26: 135-6.
13. Chetlin MD, Sokolow M, McIlroy MB. Systemic hypertension. *Clinical Cardiology*. Prentice-hall International Inc & Lange Medical Book 1993: 247.

OLGU SUNUMU

İZMİR ATATÜRK EĞİTİM HASTANESİ TIP DERGİSİ 2004, 42 (2): 135-138

Aybige PİLANCI*
Dilek SOYSAL*
Bahriye PAYZİN**
Mehmet Ali ÖZCAN***

* Atatürk Eğitim ve Araştırma Hastanesi, 1. Dahiliye Kliniği, İZMİR

** Atatürk Eğitim ve Araştırma Hastanesi, Hematoloji Birimi, İZMİR

*** Dokuz Eylül Üniversitesi
Hematoloji-Onkoloji Anabilim Dalı, İZMİR

AKKİZ KANAMA DİYATEZLİ BİR OLGU SUNUMU

The Presentation of an Acquired Bleeding Diathesis Case

ÖZET

Anahtar Sözcükler:

Akkiz izole faktör X eksikliği

Akkiz gelişen koagülasyon bozuklukları herediter koagülasyon bozukluklarına göre klinik açıdan oldukça karmaşıktır ve etyolojisi genellikle birden çok faktöre bağlıdır. Akkiz izole faktör X eksikliği nadir görülen bir tablodur. Akkiz izole faktör X eksikliğinin enfeksiyon hastalıklarıyla, akut karaciğer yetmezliğiyle ve tümörlerle birlikte rapor edilmiştir. Kronik karaciğer hastalığı olan kanama diyatezli olgumuz, izole faktör X eksikliği saptanması nedeni ile değerlendirilmeye alınmıştır.

SUMMARY

Key Words:

Acquired isolated factor X deficiency

Acquired coagulation disorders have more complex mechanisms than hereditary coagulation disorders from clinical point of view and their etiology based on numerous factors. The acquired isolated factor X deficiency is an unusual and has been reported with infectious diseases, acute hepatic failure and malignancies. We evaluated a case of chronic liver disease and acquired factor X deficiency with hemorrhagic diathesis as it was unusual.

GİRİŞ

Akkiz gelişen koagülasyon bozuklukları herediter koagülasyon bozukluklarına göre klinik açıdan oldukça karmaşıktır ve etyolojisi genellikle birden çok faktöre bağlıdır. Akkiz koagülasyon bozukluğu olan hastalarda kanama şiddeti herediter formlara göre daha hafifdir ancak eşlik eden hastalığa ve koagülasyon bozukluğunun tipine göre kanama şiddeti değişebilmektedir. Akkiz koagülasyon bozukluğunun nedenleri vitamin K bağımlı koagülasyon eksiklikleri

Yazışma Adresi: Dr. Aybige PİLANCI

Atatürk Eğitim ve Araştırma Hastanesi,

1. Dahiliye Kliniği Basın Sitesi / İZMİR

Tel: 0 232 244 44 44 / 2688 E-mail: pilanci@yahoo.com

(vitamin K malabsorbsiyonu, ilaçlar, karaciğer hastalıkları), koagülasyon faktörlerinin artmış yükimi (dissemine intravasküler koagülasyon, tümörler, cerrahi sonrası), koagülasyon faktörlerine karşı oluşan antikorlar ve diğer nedenler (masif transfüzyon, anti-neoplastik ajanlar, amiloidoz, nefrotik sendrom gibi sistemik hastalıklar) olarak sıralanabilir. Bu nedenlerin dışında oldukça nadir görülen bir diğer grup da izole faktör eksiklikleridir (1). Akkiz izole faktör X eksikliği özellikle amiloidoz ve tümörlerle birlikte görülmektedir, bazı vakalarda solunum yolu enfeksiyonları ve pnömoni sonrası saptanmıştır (2,3).

Kanama diyatezi tablosunun sadece kronik karaciğer hastlığı ile açıklanamayacak boyutta olması ve beraberinde izole faktör X eksikliği bulunması üzerine olgu değerlendirilmeye alındı.

OLGU

Elialtı yaşında erkek hasta dişeti kanaması, sağ bacakta ağrı ve kanlı idrar şikayeti ile acil dahiliye polikliniğimize başvurdu. Daha önce benzer şikayetleri olmayan hasta hurdacılık yapıyor ve 25 senedir 50 gr/gün alkol kullanıyordu. Özgeçmişinde kanamaya eğilim, sünnet hikayesi ve küçük cerrahi girişimler ayrıntılı olarak sorgulandı, özellik saptanmadı. Fizik muayenesinde sağ ve sol anteküital bölge ile sağ uyluk medialinde ekimotik alanlar mevcuttu, diğer muayene bulguları olağandi. Laboratuvar tetkiklerinden tam kan sayımı, kan şekeri, böbrek fonksiyon testleri normaldi. İdrar tetkikinde mikroskopide silme eritrosit mevcuttu, dansitesi normaldi, proteinüri yoktu. Karaciğer fonksiyon testleri yükseltti (takip sırasında en yüksek değerler AST: 48 IU/L, ALT: 111 IU/L, GGT: 900 IU/L, ALP: 990 IU/L, total bilirubin: 2.0 mg/dl, direkt bilirubin: 1.0 mg/dl), PTZ ve aPTT takiplerde normal değerin on katına kadar yükseldi. Diğer koagülasyon parametrelerinden vWF, fibrinojen, D-Dimer, Protein S ve Protein C, Faktör V, Faktör VII, Faktör VIII, Faktör IX düzeyleri normal, faktör inhibitörleri negatifti. Faktör X düzeyi %1'in altındaydı. Kanama zamanı uzun, AT III düzeyi düşüktü (Tablo 1). Trombosit fonksiyon testleri normaldi. Protein elektroforezinde gamma bölgesinde artış mevcuttu. Serum immunfiksasyon elektroforezinde ise monoklonal gammopati

Tablo 1. Olgunun koagülasyon parametreleri.

Koagülasyon testleri	Yatış sırasındaki değer	İzlem sırasındaki değer (en düşük-en yüksek)	Normal değer
PTZ (saniye)	107	55-200	11-15
aPTT (saniye)	89	70-117	25-35
Faktör V (%)	150	69-150	50-150
Faktör VII (%)	60	37-67	50-150
Faktör VIII (%)	134	106-139	50-150
Faktör IX (%)	69	31-66	50-150
Faktör X (%)	<1	<1	50-150
vWF (%)	120	120-140	50-160
Protein C (%)	70.6	70	70-130
Protein S (%)	78	78	70-130
AT III (%)	28	28-45	80-120
D-Dimer (ng/ml)	250	250	250
Fibrinojen (mg/dl)	246	246-400	200-400
Fibrin yüküm ürünlerini (µg/ml)	0.5	0.5	<5
Kanama zamanı (dakika)	17	12-17	2-7
Trombin zamanı (saniye)	13	13	12-20

PTZ: Protrombin zamanı, aPTT: Aktive tromboplastin zamanı, vWF: von Willebrand Faktör, AT III: Antitrombin III.

yoktu. K araciğer fonksiyon testlerindeki yükseklik nedeni ile karaciğer parankimini ve vasküler yapısını değerlendirmek için batın USG ve portal sistem döpler USG yapıldı. Karaciğer boyutu 155 mm, parankimi minimal granüler paternde, paraumblikal ve açık ve 6 mm, portal ven çapı 12 mm olarak saptandı. Hepatit serolojisinde AntiHbs, AntiHbc IgG ve AntiHAV IgG pozitif bulundu. Brucella tüp aglütinasyonu, Coombs'lu Brucella, grup aglutinasyon testleri, HIV testi negatifti. Otoimmun hepatit açısından antimikrozomal antikor (AMA), düz kas antikoru (SMA), karaciğer-böbrek mikrozomal antikoru (anti-LKM), karaciğer-pankreas protein antikoru (anti-LP) antinükleer antikor (ANA), antifosfolipid antikor, antikardiyolipin antikor (ACA) negatif bulundu. Sağ uyluktaki ekimoz ve ağrı nedeniyle yapılan pelvik USG'de pelvik fossa sağ kesiminde 7x8 cm boyutlarında lobule kontürlü heterojen görünümlü lezyon saptanması üzerine abdominal BT ve MRI yapıldı ve lezyon hematom olarak değerlendirildi. Servisimizde

1.5 ay tetkik edilen, bu süre içerisinde tedavi olarak 44 ünite taze donmuş plazma ve K vitamini verilen hastanın kliniğinde düzelse olmaması nedeni ile kronik karaciğer hastalığı ve izole faktör X eksikliği tanıları düşünürlerek Dokuz Eylül Tıp Fakültesi (D.E.Ü.T.F) Dahiliye Kliniği'ne sevkedildi. D.E.Ü.T.F'de pelvik fossadaki hematomun abselesiği tesbit edildi, uygun antibioteriği başlandı. Kan ve kan ürünleri ile K vitaminine yanıt alınamaması sebebiyle hastaya steroid tedavisi (3 gün 1 gr. i.v yüksek doz metilprednizolon, daha sonra günlük 1 mg/kg/gün oral metilprednizolon) başlandı, tedaviye kısmen yanıt alındı, PTZ 55 sn ve aPTT 70 sn değerine kadar düştü. İzlem sırasında sağ dizde düşme sonrası hematoma oluştu, atele alınıp 21 günde rezorbe oldu. Endoskopı yapılan hastanın multipl odaktan kanamalı gastriti işlem sırasında tesbit edildi. İzole faktör X eksikliği ile amiloidozun birlikte sık görülmemesi nedeni ile hastaya rektal biyopsi yapıldı, sonuç negatif geldi. Hastada kronik karaciğer hastalığı düşünülmeli ve kanama diyatezi olması nedeni ile transjuguler karaciğer biyopsisi planlandı. Ancak hasta hayatı riski anlatılmasına rağmen yarışından bir ay sonra kendi isteği ile D.E.Ü.T.F'den ayrıldı ve karaciğer biyopsisi yapılamadı.

TARTIŞMA

Akkiz izole faktör X eksikliği olan hastalarda kanama diyatezi mikroskopik hematüriden ciddi gastrointestinal kanamalara ya da intratorasik hematomlara kadar değişen klinikle görülebilmektedir. Akkiz izole faktör X eksikliğinin patogenezi bilinmemektedir. Faktör X'un yabancı maddelerce bağlanıp inaktive edilmesi, artmış yıkım ve yüksek affiniteli antikor oluşumu patogenezde düşünülen olası mekanizmalardır. Bu hasta grubunda genellikle karaciğer hastalığı olmamakla birlikte Hosker ve ark. alt solunum yolu enfeksiyonu nedeni ile eritromisinle tedavi edilen bir hastada akut karaciğer yetmezliği ve izole faktör X eksikliği olgusu rapor etmişlerdir (4). Bu hastalarda koagülasyon problemine yönelik birçok tedavi denenmiştir. Vitamin K ve taze donmuş plazma tedavisi klinik olarak düzelse ve PTZ düzeylerinde yükselme sağlamamıştır (2-6). Edgin ve ark. prednizon tedavisi sonrası koagülopatide

düzelse saptamışlardır (6). Smith ve ark. plazmaferez, intravenöz immunglobulin (IVIG) ve steroid ile Henson ve ark. aktive protrombin kompleks (Autoplex T) ile tedavi uygulamışlar ve koagülopatiyi kontrol altına almışlardır (2,5).

Hastamızda PTZ ve aPTT değerlerinin çok yüksek olması problemin koagülasyon ortak yolunda veya multifaktöryel olabileceğini düşündürmektedir. Hastamızın kronik alkol kullanımının olması ve hurdaçılık mesleği nedeni ile birçok kimyasal maddeye maruz kalması bizi kronik karaciğer hastalığına yönlendirmiştir. Karaciğer fonksiyon testlerinde yükseklik, serum elektroforezinde hipergamaglobulinemi olması ile batın ultrasonografisinde kronik karaciğer hastalığı lehine bulgular olması tanımızı desteklemektedir. Etyoloji açısından bakılan tüm otoimmun serolojinin negatif olması ve otoimmun hepatit skorlama sistemi ile değerlendirildiğinde düşük puan alması nedeni ile otoimmun hepatitten uzaklaşılmıştır (7). Hastamızın kronik karaciğer hastalığı alkol kullanımına bağlanmıştır, fakat izole faktör X eksikliği ile birlikte vitamin K bağımlı diğer koagülasyon faktörlerinin normal sınırlarda olması, hastanın tedavide taze donmuş plazmaya yanıt vermemesi koagülasyon hasarının sadece karaciğer hastalığına bağlı olmadığını düşündürmektedir. Hastamızda faktör XIII düzeyi bakılamamakla birlikte kliniği de faktör XIII eksikliğine uymamaktadır (Faktör XIII eksikliğinde kanama zamanı, PTZ, aPTT ve trombin zamanı genellikle normal sınırlardadır ve fibrin stabilizasyonunda problem olduğu için cerrahi sonrası geç kanamalarla kendini göstermektedir, ayrıca tedavide taze donmuş plazma ile tedaviye cevap vermektedir). Hastamızın sadece bir ay süre ile uygulanılan steroid tedavisine kısmi yanıt vermesi de izole faktör X eksikliğini desteklemektedir. Ayırıcı tanı açısından transjuguler karaciğer biyopsisi, tedavi için ise plazmaferez planlanan hasta kendi isteği ile hastanede ayrılmıştır.

KAYNAKLAR

1. Bithell TC. Acquired coagulation disorders. In: Lee GR, Bithell TC, Foerster J, Athens JW, Lukens JN, eds. Wintrobe's clinical hematology. Philadelphia: Lea & Febiger, 1993: 1500-1.
2. Smith SV, Liles DK, White GC, Brecher ME. Successful treatment of transient acquired factor X deficiency by plasmapheresis.

- resis with concomitant intravenous immunoglobulin and steroid therapy. Am J Hem 1998; 57: 245-52.
3. Currie MS, Stein AM, Rustagi PG, Behrens AR, Logue GL. Transient acquired factor X deficiency associated with pneumonia. NY State J Med 1984; 84: 572-3.
4. Hosker JP, Jewell DP. Transient selective factor X deficiency and acut liver failure following chest infection treated with erythromycin. BP Postgrad Med J 1983; 59: 514-5.
5. Henson K, Files JC, Morrison FS. Transient acquired factor X deficiency: Report of the use of activated clotting concentrate to control a life-threatening hemorrhage. Am J Med 1989; 87: 583-5.
6. Edgin RA, Metz EN, Fromkes JJ, Beman FM. Acquired factor X deficiency with associated defects in platelet aggregation. A response to corticosteroid therapy. Am J Med 1980; 69: 137-9.
7. Czaja AJ. Validation of scoring system for diagnosis of autoimmun hepatitis. Dig Dis Sci 1996; 41: 305.

OLGU SUNUMU

İZMİR ATATÜRK EĞİTİM HASTANESİ TIP DERGİSİ 2004, 42 (2): 139-141

Ömer TETİK
Haydar YAŞA
Türkan DEMİR
Ali GÜRBÜZ

İzmir Atatürk Eğitim ve Araştırma
Hastanesi, Kalp ve Damar Cerrahisi
Kliniği, İZMİR

SUBKLAVYAN STEAL SENDROMU: 3 Olgı Nedeniyle

Subclavian Steal Syndrome: Three Cases Reports

ÖZET

Subklavyan arterin cerrahi tedavi gerektiren lezyonları nadirdir. Fakat innominet ve ana karotis arter lezyonlarından daha sık olup üst ekstremité ve serebral iskemi şikayetlerine neden olabilirler.

Senkop, sol kol ağrısı şikayetleri ile klinigimize başvuran üç olgunun fizik muayenelerinde üst ekstremité sistolik kan basıncı farkı tespit edilmesi nedeniyle çekilen anjiyografilerde iki olguda proksimal subklavyan arterde total olüyon ve bir olguda %90 darlık tespit edildi. Renkli doppler ultrasonografide sol vertebral arterde retrograd akım izlendi. Tüm hastalar cerrahi olarak tedavi edildiler. Bir olguya karotid-subklavyan ve iki olguya subklavia-subklavyan bypass yapıldı. Postoperatif dönemde her üç olgunun da semptomları ve anlamlı üst ekstremité sistolik kan basıncı farklı kayboldu. Postoperatif dönemde hiçbir olguda komplikasyon gelişmedi.

SUMMARY

Leisons of the subclavian artery requiring arterial reconstruction are relatively uncommon but they are encountered more frequently than lesions of the innominate arter or common carotid artery. These lesions may give rise to ischemia of either the upper extremity or the cerebral circulation.

Three cases admitted to our clinic for syncope, left upper extremity claudication and exercise-induced vertigo. In physical examination, upper extremity brachial systolic blood pressure difference was detected. Aortic arch angiography demonstrated left subclavian artery occlusion in two cases, 90% stenosis in one case. Color doppler ultrasonography demonstrated retrograde flow in left vertebral artery. All patients were treated surgically. Subclavian-subclavian bypass was performed in two cases and carotid-subclavian bypass was performed in one case with polytetrafluorethylene graft. Postoperatively symptomatic improvement paralleled an increase in brachial systolic arterial blood pressure readings. No complications observed in postoperative period.

Yazışma Adresi: Dr. Ömer TETİK

Atatürk Eğitim ve Araştırma Hastanesi

Kalp ve Damar Cerrahisi Kliniği

Yeşilyurt / İZMİR

Tel : +90 0 232 243 43 43

Faks: +90 0 232 243 48 48

E-mail: omer_tetik@hotmail.com

GİRİŞ

Proksimal subklavyan arterin tıkanıklığı nedeniyle vertebral arterden subklavyan artere olan geri akımı subklavyan steal sendromu olarak ilk kez 1960 yılında Contorni tarafından tanımlanmıştır. Baş, boyun ve omuzun zengin kollateral dolaşımından dolayı subklavyan arterin izole oklusiv lezyonları genellikle asemptomatiktir. Çoğu olguda şikayetlerin belirsiz olması sebebi ile tanı konulamamaktadır. Bu sendromda en sık görülen şikayetler baş ağrısı, geçici serebral iskemi bulguları ve üst ekstremitelerde klokitasyon intermitanstr (1,2). Bu çalışmada subklavyan steal sendromu olan üç olgu incelendi.

OLGU SUNUMU

OLGU 1

6 7 yaşında erkek hasta. Son dört aydır baş dönmesi, bayılma ve sol kol ağrısı şikayetleri hastaneye başvurdu. Fizik muayenede sol kol radial ve brakial arter pulsasyonunda ileri derecede zayıflama ve her iki kol sistolik kan basınçları arasında 60 mmHg basınç farkı saptandı. Karotis ve vertebral arter sisteminin renkli doppler ultrasonografisinde sol vertebral arterde retrograd akım ve karotis arterlerde aterosklerotik plaklar izlendi. Yapılan anjiografide koroner arterler normal ve proksimal sol subklavyan arterde total oklüzyon tespit edildi. Rutin laboratuvar tetkikleri normal idi.



Resim 1. Olgu 1'in anjiografik görünümü: Oklar sol proksimal subklavyan arter ve vertebral arteri göstermektedir.

klavyan arterde total oklüzyon tespit edildi (Resim 1). Rutin laboratuvar tetkikleri normal idi.

OLGU 2

5 8 yaşında bayan hasta. Son altı aydır baş dönmesi ve sol kolda ağrı şikayetleri ile hastaneye başvurdu. Fizik muayenede sol kol radial ve brakial arter pulsasyonunda zayıflama ve her iki kol sistolik kan basınçları arasında 40 mmHg basınç farkı saptandı. Karotis ve vertebral arter sisteminin renkli doppler ultrasonografisinde anlamlı hemodinamik değişiklik oluşturacak darlık tespit edilmedi. Yapılan anjiografide koroner arterler normal ve proksimal sol subklavyan arterde %90 darlık tespit edildi. Rutin laboratuvar tetkikleri normal idi.

OLGU 3

5 5 yaşında erkek hasta. Son bir yıldır baş dönmesi, bayılma, sol kolda uyuşma ve ağrı şikayetleri ile hastaneye geldi. Fizik muayenede sol kol radial ve brakial arter pulsasyonunda zayıflama ve her iki kol sistolik kan basınçları arasında 55 mmHg basınç farkı saptandı. Karotis ve vertebral arter sisteminin renkli doppler ultrasonografisinde vertebral arterle normal ve karotis arterlerde aterosklerotik plaklar tespit edildi. Yapılan anjiografide sol anterior desen- dan koroner arterde %80 darlık ve proksimal sol subklavyan arterde total oklüzyon tespit edildi. Darlık tespit edilen koroner arterin revaskülarizasyonu balon anjioplasti ile sağlandı. Rutin laboratuvar tetkikleri normal idi.

Cerrahi teknik: Tüm hastalar genel anestezi altında operasyona alındı. İki hastada bilateral supraklaviküler insizyon ve 8 mm ringli politetraforetilen greftle subklavia-subklavyan bypass, bir hasta da ise 6 mm politetraforetilen greftle carotid-subklavyan bypass yapıldı. Cerrahi katlar anatomisine uygun bir şekilde kapatıldı. Postoperatif dönemde tüm hastaların iskeletik şikayetlerinin ve anlamlı brakial arter sistolik kan basıncı farkının kaybolduğu gözlandı.

TARTIŞMA

Subklavyan steal sendromu, proksimal subklavyan arter veya brakiosefalik arterin daralması veya tamamen tıkanması sebebiyle vertebral arterdeki kan

akımının geriye dönmesi sonucu oluşur. Subklavyan steal sendromu genellikle ileri yaşlarda ortaya çıkar ve bu hastalarda hipertansiyon, koroner arter hastalığı ve sigara içme gibi aterosklerozla ilişkili faktörler yaygın olarak saptanır (1-3).

Subklavyan steal sendromundaki en önemli etyolojik faktör aterosklerozdur. Preduktal aort koarktasyonu ile beraber patent duktus arteriosus, subklavyan arter atrezisi, kink yapmış sol subklavyan arter ile beraber aortanın psödokoarktasyonu gibi konjenital lezyonlar, travmatik zedelenmeler, emboliler ve arteritler subklavyan steal sendromuna neden olabilirler (1,3,4). Üç olgumuzda da esas patoloji aterosklerotik oklüzyondur. Bu sendromda en sık görülen şikayetler baş ağrısı, geçici serebral iskemi bulguları ile üst ekstremitelerde kladikasyo intermittenstir. Üst ekstremit ve serebral iskemi şikayetleri olan hastalarda her iki taraflı subklavyan arter oskültasyonu ve kan basıncı ölçümleri mutlaka yapılmalıdır. Eğer oskültasyonda üfürüm duyulur yada iki kol arasında 20 mmHg daha fazla basınç farkı elde edilirse, bu subklavyan steal lehine değerlendirilmeli ve anjiyografi çekilmelidir. Anjiografi subklavyan steal sendromunda en önemli tanı metodudur (1-3,5). Üç olgumuzda da üst ekstremit ve serebral iskemi şikayetleri mevcuttu. Fizik muayenelerinde iki kol arasında anlamlı derecede sistolik kan basıncı saplandı ve çekilen anjiyografide subklavyan steal sendromu tespit edildi.

Günümüzde subklavyan steal sendromu tedavisinde perkutantransluminal anjiyoplasti ve stent uygulamalarına artan bir ilgi mevcuttur (6). Fakat bypass greftlerin uzun dönem açıklıklarının anjiyoplasti ve stent uygulamalarından daha üstün olduğu tespit edilmiştir (3). Subklavyan steal sendromunun cerrahi tedavisi intratorasik yada ekstratorasik yaklaşımla olabilir. Intratorasik yaklaşımın mortalitesi ve mor-

biditesi daha yüksek bir cerrahi girişimdir. Subklavia-subklavyan ve karotid-subklavyan bypass gibi ekstratorasik yaklaşımalar daha düşük morbidite ve mortalite ile gerçekleştirilebilir (2). Subkalvia-subklavyan bypassın önemli bir avantajı geçici karotis arter oklüzyonunu gerektirmemesidir. Özellikle karotis arterlerinde aterosklerotik plak bulunan olgularda bu arterlere klemp konması esnasında serebral komplikasyonların gelişme insidansı bir hayli yüksektir (2,3). Biz iki olguya karotis arterlerinde atherosklerotik plaklar olması nedenle subklavia-subklavyan, karotis arteri normal olan bir olguya ise karotid-subklavyan bypassı tercih ettik. Sonuç olarak subklavyan steal sendromunun tedavisinde bir çok cerrahi seçenek vardır ve her seçenekin üstünlükleri ve dezavantajı mevcut olup teknığın tercihi hastanın özellikleri ve cerrahın tercihine bağlı olarak değişmektedir.

KAYNAKLAR

1. Gürer O, Yapıcı F, Çınar B, Kösem M, Enç Y, Sezerman Ö Karotiko-aksiller/subklavyan bypass greft uygulanan subklavyan steal sendromu olgularımızda orta dönem sonuçlarımız Türk Göğüs Kalp Damar Cerrahisi Dergisi 2002; 10: 106-109.
2. Sanisoğlu İ, Akpinar B, Güden M, Sağbaş E, Karaman K. Koroner-subklavian steal sendromu: 3 olgu nedeniyle. Türk Göğüs Kalp Damar Cerrahisi Dergisi 1999; 7: 341-43.
3. Redmond KC, Barry MC, Kavanagh E, Dundon S, O'Malley MK. Bilateral subclavian steal syndrome. Ir J Med Sci 2002; 171: 44-5.
4. Koch S, Romano JG, Forteza A. Subclavian steal and a persistent trigeminal artery. J Neuroimaging 2002; 12: 190-2.
5. Tan TY, Schminke U, Lien LM, Tegeler CH. Subclavian steal syndrome: can the blood pressure difference between arms predict the severity of steal? J Neuroimaging 2002; 12: 131-5.
6. Motarjeme A, Gordon GI, Percutaneous transluminal angioplasty of the brachiocephalic vessels: Guidelines for therapy. Int Angiol 1993; 12: 260-9.